

Projekt grijanja stambene zgrade sustavom s dizalicom topline

Hunić, Domagoj

Undergraduate thesis / Završni rad

2015

Degree Grantor / Ustanova koja je dodijelila akademski / stručni stupanj: **University of Zagreb, Faculty of Mechanical Engineering and Naval Architecture / Sveučilište u Zagrebu, Fakultet strojarstva i brodogradnje**

Permanent link / Trajna poveznica: <https://urn.nsk.hr/urn:nbn:hr:235:702959>

Rights / Prava: [In copyright/Zaštićeno autorskim pravom.](#)

Download date / Datum preuzimanja: **2024-04-25**

Repository / Repozitorij:

[Repository of Faculty of Mechanical Engineering and Naval Architecture University of Zagreb](#)



SVEUČILIŠTE U ZAGREBU
FAKULTET STROJARSTVA I BRODOGRADNJE

ZAVRŠNI RAD

Domagoj Hunić

Zagreb, 2015.

SVEUČILIŠTE U ZAGREBU
FAKULTET STROJARSTVA I BRODOGRADNJE

ZAVRŠNI RAD

Mentor:

Prof. dr. sc. Igor Balen, dipl. ing.

Student:

Domagoj Hunić

Zagreb, 2015.

Izjavljujem da sam ovaj rad izradio samostalno koristeći stečena znanja tijekom studija i navedenu literaturu.

Zahvaljujem se svojem mentoru prof. dr. sc. Igoru Balenu na pruženoj pomoći i podršci tijekom izrade rada.

Domagoj Hunić



SVEUČILIŠTE U ZAGREBU
FAKULTET STROJARSTVA I BRODOGRADNJE

Središnje povjerenstvo za završne i diplomske ispite



Povjerenstvo za završne ispite studija strojarstva za smjerove:

procesno-energetski, konstrukcijski, brodostrojarski i inženjersko modeliranje i računalne simulacije

Sveučilište u Zagrebu	
Fakultet strojarstva i brodogradnje	
Datum	Prilog
Klasa:	
Ur.broj:	

ZAVRŠNI ZADATAK

Student:

Domagoj HUNIĆ

Mat. br.: 0035181696

Naslov rada na hrvatskom jeziku:

PROJEKT GRIJANJA STAMBENE ZGRADE SUSTAVOM S DIZALICOM TOPLINE

Naslov rada na engleskom jeziku:

DESIGN OF HEATING SYSTEM WITH HEAT PUMP FOR RESIDENTIAL BUILDING

Opis zadatka:

Potrebno je proračunati i projektirati sustav grijanja za potrebe višestambene zgrade s 6 stanova površine 500 m² na 5 etaža (Po+Pr+1K+2K+Pk), prema zadanoj arhitektonskoj podlozi. Rad uključuje proračun potrebne toplinske energije za grijanje tijekom jedne godine uz određivanje energetskog razreda zgrade prema Pravilniku o energetskom pregledu zgrade i energetskom certificiranju (NN 48/14).

Za potrebe grijanja treba predvidjeti niskotemperaturni sustav s dizalicom topline tlo-voda i s podnim grijanjem temperaturnog režima 35/30 °C. Predvidjeti sustav mjerena potrošnje toplinske energije za svaku vlasničku cjelinu.

Potrebno je riješiti pripremu potrošne tople vode u izvedbi akumulacijskog sustava, pri čemu treba koristiti instalaciju sa sunčevim kolektorima. Zgrada se nalazi na području grada Supetra na otoku Braču.

Na raspolaganju su energetski izvori:

- elektro-priklučak 220/380V; 50Hz
- vodovodni priključak tlaka 5 bar

Rad treba sadržavati:

- analizu sustava grijanja za stambene zgrade s osnovnim shemama
- toplinsku bilancu za zimsko razdoblje
- godišnju toplinsku bilancu potrebne energije za grijanje
- tehničke proračune koji definiraju izbor opreme
- tehnički opis sustava
- funkcionalnu shemu spajanja i shemu automatske regulacije za potpuno automatski rad postrojenja
- crteže kojima se definira raspored i montaža opreme.

U radu navesti korištenu literaturu i eventualno dobivenu pomoć.

Zadatak zadan:

25. studenog 2014.

Rok predaje rada:

1. rok: 26. veljače 2015.

2. rok: 17. rujna 2015.

Predviđeni datumi obrane:

1. rok: 2., 3., i 4. ožujka 2015.

2. rok: 21., 22., i 23. rujna 2015.

Zadatak zadao:

Prof. dr. sc. Igor Balen

Predsjednik Povjerenstva:

Prof. dr. sc. Igor Balen

SADRŽAJ

SADRŽAJ	I
POPIS SLIKA	III
POPIS TABLICA.....	IV
POPIS TEHNIČKE DOKUMENTACIJE	V
POPIS OZNAKA	VI
SAŽETAK.....	XVII
SUMMARY	XVIII
1. SUSTAVI GRIJANJA ZA STAMBENE ZGRADE.....	1
1.1. Toplinska ugodnost	1
1.2. Toplinski gubici.....	2
1.3. Sustavi grijanja	6
2. TOPLINSKA BILANCA ZGRADE	9
2.1. Opis zgrade.....	9
2.2. Proračun toplinskih gubitaka.....	9
2.3. Proračun godišnje potrebne toplinske energije za grijanje $Q_{h,nd}$	13
2.3.1. Pregled osnovnih formula algoritma	14
2.3.2. Rezultati proračuna	17
3. DIMENZIONIRANJE SUSTAVA GRIJANJA	19
3.1. Podno grijanje	19
3.2. Odabir cijevnih kupaonskih grijaća.....	25
4. ODABIR DIZALICE TOPLINE TLO - VODA	27
5. DIMENZIONIRANJE VODORAVNOG KOLEKTORSKOG POLJA.....	29
6. DIMENZIONIRANJE SPREMNIKA PTV-a I SOLARNIH KOLEKTORA	32
7. DIMENZIONIRANJE I ODABIR KOMPONENTA SUSTAVA	38
7.1. Odabir međuspremnika	38
7.2. Dimenzioniranje cijevnog razvoda primarnog kruga grijanja.....	39
7.4. Odabir recirkulacijske pumpe PTV-a.....	40
7.5. Dimenzioniranje cijevnog razvoda solarnog kruga.....	42
7.6. Dimenzioniranje ekspanzijske posude za sustav grijanja	44
7.7. Dimenzioniranje ekspanzijske posude za solarni sustav	45
8. PREGLED ODABRANIH KOMPONENTA SUSTAVA	46
9. TEHNIČKI OPIS SUSTAVA	48
9.1. Sustav grijanja	48
9.2. Zagrijavanje potrošne tople vode	49
9.3. Regulacija sustava	50
10. ZAKLJUČAK.....	52
LITERATURA.....	53

PRILOZI.....	55
Prilog 1 - Proračun toplinskih gubitaka prema HRN EN 12831	56
Prilog 2 - Crteži	117

POPIS SLIKA

Slika 1.	Usporedba radijatorskog i površinskog grijanja	1
Slika 2.	Toplinski gubici zgrade.....	3
Slika 3.	Centralno grijanje i priprema PTV-a sa plinskim kotlom	6
Slika 4.	Sustav daljinskog grijanja	7
Slika 5.	Dizalica topline sa tlom kao izvorom topline	8
Slika 6.	Solarno zagrijavanje potrošne tople vode	8
Slika 7.	Pregled potrebne mjesecne toplinske energije za grijanje	17
Slika 8.	Dijagram za proračun sustava: Uponor Tecto ploča, PE-Xa cijevi $\Phi 14 \times 2$ mm	19
Slika 9.	Dijagram pada tlaka za Uponor PE-Xa cijevi	20
Slika 10.	Razdjelnik i sabirnik „FHF“	24
Slika 11.	Zidni ormarić „UHF2“	25
Slika 12.	Kupaonski cijevni grijач „MONDO BND“	26
Slika 13.	Dizalica topline „geoTHERM VWS 171/2“	28
Slika 14.	„RAUGEO razdjeljni šaht“	31
Slika 15.	„RAUGEO collect PE-Xa“ površinski kolektori	31
Slika 16.	Spremnik za PTV „Omega Plus 750“	33
Slika 17.	Pločasti kolektor „auroTHERM VFK 145 V“	34
Slika 18.	Prikaz potrebne i isporučene sunčeve energije po mjesecima	35
Slika 19.	Međuspremnik „VPS 500“	38
Slika 20.	Pumpa „ALPHA2 25-60“	40
Slika 21.	Recirkulacijska pumpa „UP 15-14 B (UT)“	41
Slika 22.	Pad tlaka u bakrenoj cijevi 60 % voda, 40 % glikol	42
Slika 23.	Dvocijevna solarna pumpna stanica „S2 Solar 3“	43
Slika 24.	Ekspanzijska posuda kruga grijanja „LR 18“	44
Slika 25.	Ekspanzijska posuda solarnog kruga „LR S 40“	45

POPIS TABLICA

Tablica 1. Unutarnje projektne temperature prostorija	9
Tablica 2. Koeficijenti prolaza topline	10
Tablica 3. Minimalni broj izmjena zraka po satu	10
Tablica 4. Faktor smanjenja temperaturne razlike	10
Tablica 5. Korekcijski faktor za stambene zgrade	10
Tablica 6. Toplinski gubici po prostorijama	11
Tablica 7. Ukupni toplinski gubici	12
Tablica 8. Ulagani podaci za proračun	13
Tablica 9. Ostali podaci za proračun	13
Tablica 10. Proračun godišnje potrebne toplinske energije za grijanje	18
Tablica 11. Proračun podnog grijanja	21
Tablica 12. Instalirana snaga podnog grijanja	23
Tablica 13. Ukupni rezultati po stanovima	24
Tablica 14. Rezultati proračuna cijevnih grijaća	25
Tablica 15. Tehničke karakteristike dizalice topline „geoTHERM VWS 171/2“	27
Tablica 16. Tehničke karakteristike spremnika za PTV „Omega Plus 750“	33
Tablica 17. Tehničke karakteristike pločastog kolektora „auroTHERM VFK 145 V“	34
Tablica 18. Proračun potrebne površine solarnih kolektora prema HRN EN 15316-4-3	36
Tablica 19. Usporedba potrošnje električne energije svih podsustava za pripremu PTV-a	37
Tablica 20. Tehničke karakteristike međuspremnika „VPS 500“	38
Tablica 21. Pad tlaka primarnog kruga grijanja	39
Tablica 22. Pad tlaka kroz cjevovod sekundarnog kruga grijanja	39

POPIS TEHNIČKE DOKUMENTACIJE

1. Funkcionalna shema spajanja i automatske regulacije
2. Tlocrt podruma - dispozicija opreme
3. Tlocrt prizemlja - dispozicija opreme
4. Tlocrt 1. kata - dispozicija opreme
5. Tlocrt 2. kata - dispozicija opreme
6. Tlocrt krovišta - dispozicija opreme

POPIS OZNAKA

Oznaka	Jedinica	Opis
$\Phi_{T,i}$	[W]	- projektni transmisijski toplinski gubici grijane prostorije
$H_{T,ie}$	[W/K]	- koeficijent transmisijskog gubitka od grijanog prostora prema vanjskom okolišu
$H_{T,iue}$	[W/K]	- koeficijent transmisijskog gubitka od grijanog prostora kroz negrijani prostor prema vanjskom okolišu
$H_{T,ig}$	[W/K]	- stacionarni koeficijent transmisijskog gubitka od grijanog prostora prema tlu
$H_{T,ij}$	[W/K]	- koeficijent transmisijskog gubitka od grijanog prostora prema susjednom grijanom prostoru različite temperature
θ_i	[°C]	- unutarnja projektna temperatura grijanog prostora
θ_e	[°C]	- vanjska projektna temperatura
$\Phi_{V,i}$	[W]	- ventilacijski toplinski gubici grijane prostorije
$H_{V,i}$	[W/K]	- koeficijent ventilacijskih toplinskih gubitaka
$\Phi_{RH,i}$	[W]	- toplina za zagrijavanje zbog prekida grijanja
A_i	[m ²]	- površina poda grijanog prostora
f_{RH}	[W/m ²]	- korekcijski faktor ovisan o vremenu zagrijavanja i prepostavljenom padu temperature za vrijeme prekida
$\Phi_{HL,i}$	[W]	- ukupno projektno toplinsko opterećenje prostorije
Φ_{HL}	[W]	- ukupno projektno toplinsko opterećenje zgrade
$\Sigma\Phi_{T,i}$	[W]	- suma transmisijskih gubitaka svih prostora bez topline koja se izmjenjuje između dijelova zgrade ili prostorija

$\Sigma\Phi_{V,i}$	[W]	- suma ventilacijskih gubitaka svih prostora bez toplinu koja se izmjenjuje između dijelova zgrade ili prostorija
$\Sigma\Phi_{RH,i}$	[W]	- suma toplina za zagrijavanje svih prostorija zbog prekida grijanja
U	[W/m ² K]	- koeficijent prolaza topline
n_{min}	[h ⁻¹]	- minimalan broj izmjena zraka po satu
b_u	[-]	- faktor smanjenja temperaturne razlike koji uzima u obzir temperaturu negrijanog prostora i vanjsku projektnu temperaturu
θ_i	[°C]	- unutarnja projektna temperatura
A	[m ²]	- površina grijane prostorije
ϕ_T	[W]	- transmisijski toplinski gubici
ϕ_V	[W]	- ventilacijski toplinski gubici
ϕ_{RH}	[W]	- dodatna toplina zbog prekida grijanja
ϕ_{UK}	[W]	- ukupni projektni toplinski gubici
ϕ_{uk}/A	[W/m ²]	- ukupni projektni toplinski gubici svedeni na jedinicu površine prostorije
$Q_{H,nd,cont}$	[kWh]	- potrebna toplinska energija za grijanje pri kontinuiranom radu
$Q_{H,ht}$	[kWh]	- ukupno izmjenjena toplinska energija u periodu grijanja
$Q_{H,gn}$	[kWh]	- ukupni toplinski dobici zgrade u periodu grijanja
$\eta_{H,gn}$	[-]	- faktor iskorištenja toplinskih dobitaka
Q_{Tr}	[kWh]	- izmjenjena toplinska energija transmisijom za proračunsku zonu

Q_{ve}	[kWh]	- potrebna toplinska energija za ventilaciju/klimatizaciju za proračunsku zonu
Q_{int}	[kWh]	- unutarnji toplinski dobici zgrade
Q_{sol}	[kWh]	- toplinski dobici od Sunčeva zračenja
H_{Tr}	[W/K]	- koeficijent transmisijske izmjene topline proračunske zone
H_{Ve}	[W/K]	- koeficijent ventilacijske izmjene topline proračunske zone
$\theta_{int,H}$	[°C]	- unutarnja postavna temperatura grijane zone
$\theta_{e,m}$	[°C]	- srednja vanjska temperatura za proračunski period (sat ili mjesec)
t	[h]	- trajanje proračunskog razdoblja
q_{spec}	[W/m ²]	- specifični unutarnji dobitak po m ² korisne površine
A_k	[m ²]	- korisna površina
$\Phi_{sol,mn,k}$	[W]	- srednji toplinski tok od sunčeva izvora kroz k-ti građevni dio u grijani prostor
$\Phi_{sol,mn,u,l}$	[W]	- srednji toplinski tok od sunčeva izvora kroz l-ti građevni dio u susjedni negrijani prostor
$b_{tr,l}$	[\cdot]	- faktor smanjenja za susjedni negrijani prostor s unutarnjim toplinskim izvorom
$\Phi_{sol,k}$	[W]	- srednji toplinski tok od sunčeva zračenja kroz građevni dio zgrade k
$F_{sh,ob}$	[\cdot]	- faktor zasjenjenja od vanjskih prepreka direktnom upadu sunčevog zračenja

$I_{S,K}$	[W/m ²]	- srednji toplinski tok od sunčevog zračenja na površinu građevnog dijela k za mjesecni proračun
$A_{sol,k}$	[m ²]	- efektivna površina otvora k na koju upada sunčev zračenje
$F_{r,k}$	[-]	- faktor oblika između otvora k i neba
$\Phi_{r,k}$	[W]	- toplinski tok zračenjem od površine otvora k prema nebu
a_H	[-]	- bezdimenzijski parametar ovisan o vremenskoj konstanti zgrade τ
y_H	[-]	- omjer toplinskih dobitaka i ukupne izmjenjene topline transmisijom i ventilacijom u režimu grijanja
$Q_{H,nd}$	[kWh/a]	- godišnja vrijednost potrebne toplinske energije za grijanje proračunske zone
$Q''_{H,nd}$	[kWh/m ² a]	- godišnja potrebna toplinska energija za grijanje stambene zgrade, svedena na jedinicu korisne površine
P_r	[-]	- prostorija
K_r	[-]	- krug podnog grijanja
A_{kr}	[m ²]	- površina kruga
R_t	[m ² K/W]	- toplinski otpor podne obloge
T	[cm]	- razmak cijevi
L_k	[m]	- duljina kruga
Q_{kr}	[W]	- toplinski učin kruga
q_m	[kg/h]	- maseni protok vode
v	[m/s]	- brzina strujanja vode

R	[mbar/m]	- jedinični pad tlaka
Δp_{kr}	[mbar]	- ukupni pad tlaka kroz krug
T_i	[°C]	- unutarnja projektna temperatura
A_{pr}	[m ²]	- površina prostorije
ΔT_m	[°C]	- srednja temperaturna razlika ogrijevnog tijela i zraka u prostoriji
Q_n	[W]	- projektni toplinski gubici
Q_{pr}	[W]	- pročišćeni toplinski gubici
Q_p	[W]	- potrebna snaga podnog grijanja
$Q_{inst,p}$	[W]	- instalirana snaga podnog grijanja
A_{uk}	[m ²]	- ukupna površina stana
$Q_{n,uk}$	[W]	- ukupni projektni toplinski gubici po stanu
$Q_{pr,uk}$	[W]	- ukupni pročišćeni toplinski gubici po stanu
$Q_{p,uk}$	[W]	- ukupna potrebna snaga podnog grijanja po stanu
$Q_{inst,p,uk}$	[W]	- ukupna instalirana snaga podnog grijanja po stanu
$Q_{h,p}$	[W]	- potrebna snaga cijevnog grijača
$Q_{h,n}$	[W]	- snaga cijevnog grijača od proizvođača
Δp_c	[mbar]	- pad tlaka kroz cijevni grijač
$A_{zem,kol,uk}$	[m ²]	- ukupna površina zemljišta za polaganje vodoravnog kolektorskog polja
Φ_{DT}	[W]	- toplinski učin dizalice topline
ε_{DT}	[-]	- faktor grijanja dizalice topline
q_{tlo}	[W/m ²]	- specifično površinsko odavanje topline tla
$L_{uk,min}$	[m]	- minimalna ukupna duljina cijevi vodoravnog kolektorskog polja

s	[m]	- međusobni razmak cijevi
X_p	[-]	- potreban broj petlji vodoravnog kolektorskog polja
L_{uk}	[m]	- ukupna duljina vodoravnog kolektorskog polja
V_{PM}	[l]	- ukupni volumen posrednog medija
$V'_{L,K}$	[l/m]	- specifični volumen posrednog medija u cijevima vodoravnog kolektorskog polja
L_{sp}	[m]	- duljina spojnih cijevi
$V'_{L,sp'}$	[l/m]	- specifični volumen posrednog medija u spojnim cijevima
$L_{uk,kr}$	[m]	- ukupna duljina kruga vodoravnog kolektorskog polja
$L_{uk,kr,d}$	[m]	- ukupna duljina cijevi koja povezuje krugove sa razdjelnikom
$d_{u,k}$	[mm]	- unutarnji promjer cijevi kolektorskog polja
$d_{u,sp}$	[mm]	- unutarnji promjer spojnih cijevi
V_P	[l/s]	- protok posrednog medija
$\Phi_{DT,r}$	[kW]	- rashladni učin dizalice topline (isparivača)
ρ_{PM}	[kg/m ³]	- gustoća posrednog medija
c_{PM}	[J/kgK]	- specifični toplinski kapacitet posrednog medija
$\Delta\theta_{PM}$	[°C]	- razlika temperatura posrednog medija na ulazu i izlazu iz kolektora
$\Delta p_{uk,vkp}$	[Pa]	- ukupni pad tlaka u vodoravnom kolektorskom polju
Δp_{pet}	[Pa]	- pad tlaka u jednoj petlji
$\Delta p'_{pet}$	[Pa/m]	- pad tlaka po duljini petlje

L_{pet}	[m]	- duljina jedne petlje vodoravnog kolektorskog polja
Δp_{sp}	[Pa]	- pad tlaka u spojnim cijevima
$\Delta p'_{sp}$	[Pa/m]	- pad tlaka po duljini spojne cijevi
Φ	[kW]	- potreban toplinski tok za zagrijavanje PTV-a
V_w	[l]	- volumen vode najvećeg trošila
ρ_w	[kg/m ³]	- gustoća vode
c_w	[kJ/kgK]	- specifični toplinski kapacitet vode
θ_{tw}	[°C]	- temperaturna tople vode
θ_{hw}	[°C]	- temperaturna hladne vode
n	[-]	- broj stanova
φ	[-]	- faktor istovremenosti
Φ_{DT}	[kW]	- potreban kapacitet izvora topline
Z_b	[h]	- broj sati potrošnje
Z_a	[h]	- broj sati zagrijavanja
Q_{spr}	[kWh]	- toplinska energija akumulirana u spremniku
b	[-]	- dodatak zbog „mrtvog“ prostora ispod grijane površine spremnika
k	[-]	- dodatak zbog taloženja kamenca u spremniku
θ_s	[°C]	- temperaturna tople vode u spremniku
$\vartheta_{e,m,avg}$	[°C]	- prosječna vanjska temperatura u promatranom periodu
$Q_{w,sol,us,m}$	[kWh]	- mjesечно toplinsko opterećenje sunčanog sustava u dijelu koji se odnosi na potrebnu energiju za pripremu PTV-a

ϑ_{ref}	[°C]	- referentna temperatura
ΔT	[K]	- referentna razlika temperatura
X	[-]	- bezdimenzijski faktor
I_m	[W/m ²]	- prosječno sunčev zračenje
Y	[-]	- bezdimenzijski faktor
$Q_{w,sol,out,m}$	[kWh]	- isporučena sunčeva energija u sustav
p	[-]	- omjer isporučene sunčeve energije i toplinskog opterećenja sunčanog sustava
p_{kor}	[-]	- korigirani omjer isporučene sunčeve energije i toplinskog opterećenja sunčanog sustava
$Q_{w,sol,out,m,kor}$	[kWh]	- korigirana isporučena sunčeva energija u sustav
$E_{sol,in,m}$	[kWh/m ²]	- mjesечно sunčev ozračenje na plohu kolektora
$t_{aux,m}$	[h]	- mjesечно vrijeme rada pumpe
$W_{col,aux,m}$	[kWh]	- pomoćna energija za pogon pumpi kruga kolektora
L	[m]	- duljina dionice cjevovoda
Q_{inst}	[W]	- instalirana toplinska snaga
mc_p	[W/°C]	- vodena vrijednost
R	[Pa/m]	- pad tlaka po duljini cjevovoda
$R \cdot L$	[Pa]	- linijski pad tlaka u cjevovodu
$\Sigma \xi$	[-]	- suma koeficijenata lokalnih otpora strujanja
Z	[Pa]	- lokalni pad tlaka u cjevovodu
$R \cdot L + Z$	[Pa]	- ukupni pad tlaka u cjevovodu

$l_{w,k}$	[m]	- dužina svih vodova tople vode u podrumu
$q_{w,k}$	[W/m]	- toplinski gubici vodova tople vode smještenih u podrumu
$l_{w,s}$	[m]	- dužina svih vertikalnih vodova tople vode
$q_{w,s}$	[W/m]	- toplinski gubici vertikalnih vodova tople vode
Q_w	[W]	- toplinski gubici svih vodova
Δp_p	[Pa]	- potrebna dobava recirkulacijske pumpe
$\Sigma l \cdot R$	[Pa]	- ukupni linijski pad tlaka cjevovoda
Δp_{RV}	[Pa]	- pad tlaka u nepovratnom ventilu
Δp_{TH}	[Pa]	- pad tlaka termostatskog ventila
L_{sk}	[m]	- ukupna duljina cjevovoda od spremnika do kolektora i nazad do spremnika
$w_{gl,s}$	[m/s]	- brzina strujanja glikolne smjese
f	[-]	- faktor povećanja linijskih gubitaka cjevovoda zbog lokalnih gubitaka cjevovoda
Δp_{kol}	[mbar]	- pad tlaka u jednom kolektoru
Δp_{spr}	[mbar]	- pad tlaka u izmjenjivaču topline spremnika
Δp_{cj}	[mbar]	- pad tlaka u cjevovodu solarnog kruga
Δp_{uk}	[mbar]	- ukupni potreban tlak dobave pumpe solarnog kruga
$V_{n,min}$	[l]	- minimalni volumen zatvorene ekspanzijske posude

V_e	[l]	- volumen širenja vode izazvan povišenjem temperature vode od 10 °C do maksimalne temperature polaznog voda
n	[%]	- postotak širenja vode od 10 °C do 40 °C
V_A	[l]	- volumen vode u instalaciji
V_V	[l]	- dodatni volumen vode
p_e	[bar]	- projektni krajnji tlak (0,5 bar ispod tlaka sigurnosnog ventila)
p_0	[bar]	- primarni tlak ekspanzijske posude (prilikom isporuke)
ΔV	[l]	- promjena volumena posrednog medija s promjenom temperature
V_D	[l]	- volumen preuzetog sadržaja pare iz kolektora
n	[%]	- postotak širenja vode
V_{SUS}	[l]	- volumen posrednog medija u sustavu
A_k	[m ²]	- površina plohe „k“ kroz koju prolazi toplina
U_k	[W/m ² K]	- koeficijent prolaza topline elementa građevine „k“
e_k	[-]	- korekcijski faktor izloženosti koji uzima u obzir klimatske utjecaje
l_k	[m]	- dužina linijskog toplinskog mosta između vanjskog okoliša i prostorije
Ψ_k	[W/mK]	- linearni koeficijent prolaza topline linearног toplinskog mosta „l“

f_{ij}	[-]	- faktor smanjenja temperaturne razlike koji uzima u obzir razliku između temperature susjednog prostora i vanjske projektne temperature
V_{int}	[m ³]	- volumen prostorije
$V_{min,i}$	[m ³ /h]	- minimalni higijenski protok zraka
V_i	[m ³ /s]	- protok zraka u grijani prostor
$V_{inf,i}$	[m ³ /h]	- maksimalni protok zraka u prostoriju uslijed infiltracije kroz zazore
n_{50}	[h ⁻¹]	- broj izmjena zraka u prostoriji pri razlici tlaka 50 Pa
e_i	[-]	- koeficijent zaštićenosti
ε_i	[-]	- korekcijski faktor za visinu
ρ_{zr}	[kg/m ³]	- gustoća zraka
$c_{p,zr}$	[J/kgK]	- specifični toplinski kapacitet zraka

SAŽETAK

U ovom završnom radu je proračunat i projektiran sustav grijanja i pripreme potrošne tople vode stambene zgrade. Sustav grijanja predviđen je kao niskotemperaturni s dizalicom topline tlo-voda i s podnim grijanjem temperaturnog režima 35/30 °C. Proračun projektnih toplinskih gubitaka proveden je prema normi HRN EN 12831. Proračun godišnje potrebne toplinske energije za grijanje je proveden prema „Algoritam za proračun potrebne energije za grijanje i hlađenje prostora zgrade prema HRN EN ISO 13790“ na temelju kojeg je ova zgrada svrstana u pripadajući energetski razred.

Podno grijanje je dimenzionirano prema dijagramima proizvođača na temelju izračunatih toplinskih gubitaka svake prostorije. Za pripremu potrošne tople vode predviđen je akumulacijski sustav sa bivalentnim spremnikom koji se zagrijava sa solarnim kolektorima, uz podršku dizalice topline i električnog grijaća. Na temelju proračuna prema normi HRN EN 15316-4-3 preuzetoj iz „Algoritam za određivanje energijskih zahtjeva i učinkovitosti termotehničkih sustava u zgradama - Sustavi grijanja prostora i pripreme potrošne tople vode“, ukupna površina solarnih kolektora od je dovoljna za pokrivanje potrebne toplinske energije za pripremu potrošne tople vode od lipnja do kolovoza. Sustav grijanja i pripreme potrošne tople vode je opremljen sa svom armaturom i regulacijskim elementima potrebnim za potpuno automatski rad. U prilogu se nalaze crteži kojima se definira raspored opreme te funkcionalna shema spajanja i automatske regulacije.

Ključne riječi: podno grijanje, dizalica topline, potrošna topla voda, solarni kolektori

SUMMARY

In this final work is calculated and designed the heating and domestic hot water systems of the residential building. The heating system is designed as a low-temperature with heat pump ground-water and with floor heating temperature regime 35/30 °C. Calculation of project heat losses was carried out according to standard HRN EN 12831. Calculation of annual heat energy use for heating is carried out according to "The algorithm for calculation of the necessary energy for heating and cooling the building according to EN ISO 13790" on the basis of which the building was classified in the corresponding energy class. Floor heating is dimensioned according to the manufacturer's diagrams on the basis of the calculated heat loss in each room.

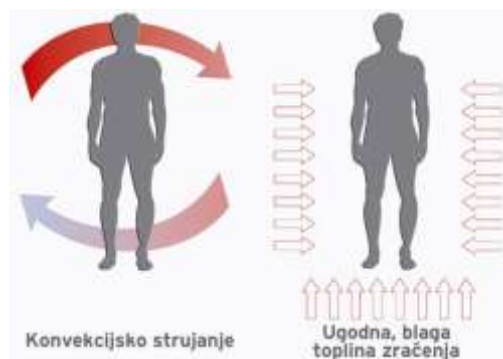
Floor heating is dimensioned according to the manufacturer's diagrams on the basis of the calculated heat loss in each room. Storage system for domestic hot water is designed as an accumulation system with bivalent tank which is heated with solar collectors, with the support of heat pump and electric heater. On the basis of calculations according to standard EN 15316-4-3 taken from "The algorithm for determining the energy requirements and efficiency of HVAC systems in buildings - Systems of heating and domestic hot water ", the total area of solar collectors is sufficient to cover the required heat for domestic hot water from June to August. The heating system and the system of domestic hot water is equipped with all the fittings and the regulatory elements necessary for fully automatic operation. Attached are drawings that define the layout of equipment, with functional scheme of merger and automatic regulation.

Key words: floor heating, heat pump, domestic hot water, solar collectors

1. SUSTAVI GRIJANJA ZA STAMBENE ZGRADE

1.1. Toplinska ugodnost

Ugodnost je svijest jedne ili više osoba o ugodnoj okolini i njezino je postizanje temeljni zadatak svakog sustava grijanja, ventilacije i klimatizacije. Ona je subjektivan i individualan osjećaj, odnosno nemjerljiva veličina. Kada je riječ o sustavima grijanja uglavnom se misli na toplinsku ugodnost. Prema normi ISO 7730 toplinska ugodnost je stanje svijesti koje izražava zadovoljstvo sa toplinskim stanjem okoliša. Osnovni faktori koji utječu na toplinsku ugodnost su temperatura zraka u prostoriji, temperatura ploha u prostoriji, vlažnost zraka, brzina strujanja zraka, razina odjevenosti, razina fizičke aktivnosti, kvaliteta zraka, namjena prostora, itd. Toplinska ugodnost je rezultat zajedničkog djelovanja navedenih faktora. Temperatura zraka je jedan od najvažnijih čimbenika ugodnosti pri čemu se neke njezine vrijednosti mogu opisati kao ugodne, a druge kao neugodne ili nepodnošljive. Preporučljive vrijednosti temperature zraka u prostoriji mogu se pronaći u normama. Temperatura u prostoriji raspodijeljena je po slojevima. Kako bi se osigurali uvjeti za postizanje ugodnosti, određena je najveća i preporučena vrijednost prirasta temperature po metru visine prostorije. Najveći dopušteni prirast iznosi $2\text{ }^{\circ}\text{C}/\text{m}$, a preporučuju se vrijednosti najviše do $1,5\text{ }^{\circ}\text{C}/\text{m}$ počevši od visine 10 cm iznad poda pri najmanjoj temperaturi zraka $21\text{ }^{\circ}\text{C}$. Temperatura zraka u prostoriji treba također za postizanje ugodnosti po iznosu biti bliska srednjoj temperaturi ploha prostorije. Strujanje i raspodjela zraka po prostoriji važni su čimbenici osjećaja ugodnosti.

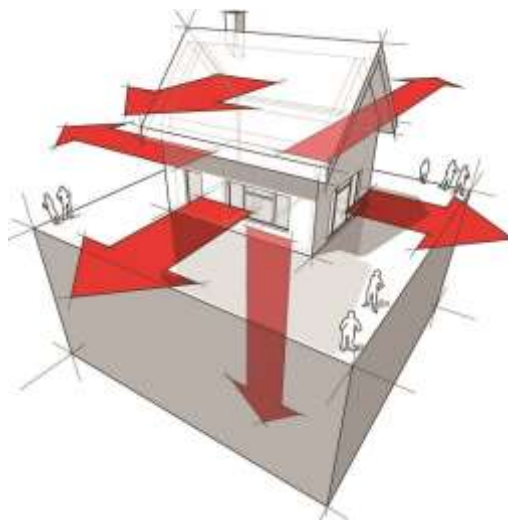


Slika 1. Usporedba radijatorskog i površinskog grijanja [1]

Vlažnost zraka je također jedan od osnovnih faktora ugodnosti i ovisi o namjeni i vrsti prostorije te temperaturi zraka u prostoriji. Pod pojmom kvalitete zraka misli se ponajprije na njegov sastav, odnosno na postojanje raznih tvari koje ga onečišćuju, a neke mogu i uzrokovati alergije kod čovjeka. Razina odjevenosti i razina fizičke aktivnosti su nefizikalni faktori, a koji imaju veliki utjecaj na osjećaj ugodnosti. Fizička aktivnost osobe uzrokuje odavanje topline. Uz razinu fizičke aktivnosti veliki utjecaj na odavanje topline ima i odjeća odnosno njezini toplinski otpori. Toplinski otpori odjeće se uz jedinicu m^2K/W može izraziti i „jedinicom“ clo, pri čemu vrijedi $1\text{ clo} = 0,155\text{ m}^2K/W$. Ukupna toplina koja se s osobe predaje njezinoj okolini, odnosno zraku u prostoriji dijeli se na osjetnu i latentnu. Osobe nisu samo izvori topline već i vlažnosti, mirisa i ostalih čestica što također utječe na ugodnost [2].

1.2. Toplinski gubici

Za dimenzioniranje sustava grijanja stambene zgrade potrebno je proračunati toplinske gubitke zgrade. Proračun se provodi prema normi HRN EN 12831. Postupak se temelji na sljedećim pretpostavkama: raspodjela temperature zraka u prostoriji i projektne temperature se smatra jednolikom te se toplinski gubici promatraju u stacionarnom stanju i uz konstantne vrijednosti temperature i građevinsko-fizikalnih značajki. Osnovni cilj proračuna je određivanje projektnih toplinskih gubitaka koji se zatim koriste za određivanje projektnog toplinskog opterećenja prostorije odnosno zgrade. Proračunom se dobiva potreban toplinski učin za održavanje unutarnje projektne temperature prostorije pri vanjskim projektnim uvjetima. Postupak proračuna toplinskih gubitaka zgrade ili njezinog dijela važan je i za dimenzioniranje izvora topline te se temelji se na podacima dobivenim proračunom toplinskih gubitaka za pojedinu prostoriju. Za proračun projektnih toplinskih gubitaka grijane prostorije razmatraju se transmisijski toplinski gubici kao posljedica provođenja topline kroz okolne plohe prema okolišu i tlu te prema okolnim prostorima s različitim temperaturama i ventilacijski toplinski gubici kao posljedica strujanja zraka kroz ovojnicu zgrade [2].



Slika 2. Toplinski gubici zgrade [3]

Projektni transmisijski toplinski gubici nastaju:

- iz grijane prostorije izravno prema vanjskom okolišu zbog provođenja topline kroz građevinske elemente i toplinske mostove koji prostoriju povezuju s okolišem kao što su zidovi, stropovi, podovi itd.
- iz grijane prostorije prema okolišu i zbog provođenja topline kroz negrijane prostore koji se nalaze između prostorije i okoliša
- iz grijane prostorije prema tlu zbog provođenja topline kroz pod, odnosno podumske zidove u okolno tlo
- provođenjem topline prema susjednim prostorijama grijanim na različitu temperaturu

Projektni transmisijski toplinski gubici grijane prostorije određuju se prema sljedećoj formuli [4]:

$$\Phi_{T,i} = (H_{T,ie} + H_{T,iue} + H_{T,ig} + H_{T,ij}) \cdot (\theta_i - \theta_e) \quad [W] \quad (1)$$

gdje su:

$H_{T,ie}$ - koeficijent transmisijskog gubitka od grijanog prostora prema vanjskom okolišu
[W/K]

$H_{T,iue}$ - koeficijent transmisijskog gubitka od grijanog prostora kroz negrijani prostor prema vanjskom okolišu [W/K]

$H_{T,ig}$ - stacionarni koeficijent transmisijskog gubitka od grijanog prostora prema tlu [W/K]

$H_{T,ij}$ - koeficijent transmisijskog gubitka od grijanog prostora prema susjednom grijanom prostoru različite temperature [W/K]

θ_i - unutarnja projektna temperatura grijanog prostora [°C]

θ_e - vanjska projektna temperatura [°C]

Ventilacijski toplinski gubici računaju se množenjem vrijednosti koeficijenta ventilacijskih toplinskih gubitaka i razlike projektnih temperatura odnosno prema sljedećoj formuli:

$$\Phi_{V,i} = H_{V,i} \cdot (\theta_i - \theta_e) \quad [W] \quad (2)$$

gdje su:

$H_{V,i}$ - koeficijent ventilacijskih toplinskih gubitaka [W/K]

θ_i - unutarnja projektna temperatura grijanog prostora [°C]

θ_e - vanjska projektna temperatura [°C]

U slučaju grijanja s prekidima, potrebno je i izračunavanje dodatnog kapaciteta za zagrijavanje prostorije. Ta dodatna toplina za zagrijavanje ovisi o toplinskom kapacitetu elemenata građevine, vremenu zagrijavanja, temperaturnom padu tijekom prekida te svojstvima sustava regulacije.

Dodatna toplina za prostore sa prekidom grijanja računa se prema sljedećoj formuli:

$$\Phi_{RH,i} = A_i \cdot f_{RH} \quad [W] \quad (3)$$

gdje su:

A_i - površina poda grijanog prostora [m^2]

f_{RH} - korekcijski faktor ovisan o vremenu zagrijavanja i prepostavljenom padu temperature za vrijeme prekida [W/m²]

Izračunavanje ukupnog projektnog toplinskog opterećenja dobiva se zbrajanjem transmisijskih i ventilacijskih gubitaka te dodatnog kapaciteta za ponovno zagrijavanje prema sljedećoj formuli za prostoriju odnosno zgradu:

prostorija:

$$\Phi_{HL,i} = \Phi_{T,i} + \Phi_{V,i} + \Phi_{RH,i} \quad [W] \quad (4)$$

gdje su:

$\Phi_{T,i}$ - transmisijski gubici topline prostorije [W]

$\Phi_{V,i}$ - ventilacijski gubici topline prostorije [W]

$\Phi_{RH,i}$ - toplina za zagrijavanje zbog prekida grijanja [W]

zgrada:

$$\Phi_{HL} = \Sigma \Phi_{T,i} + \Sigma \Phi_{V,i} + \Sigma \Phi_{RH,i} \quad [W] \quad (5)$$

gdje su:

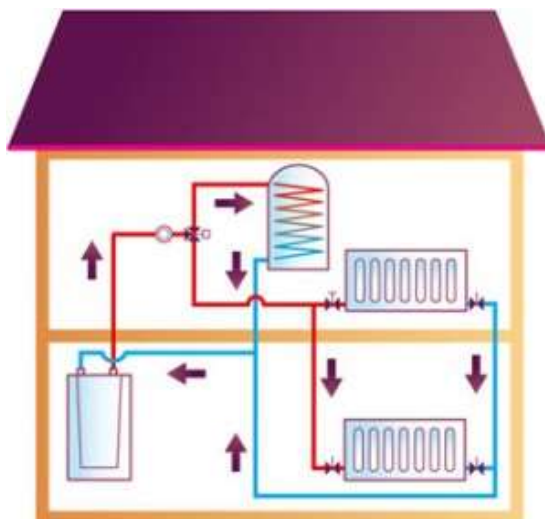
$\Sigma \Phi_{T,i}$ - suma transmisijskih gubitaka svih prostora isključujući toplinu koja se izmjenjuje između dijelova zgrade ili prostorija [W]

$\Sigma \Phi_{V,i}$ - suma ventilacijskih gubitaka svih prostora isključujući toplinu koja se izmjenjuje između dijelova zgrade ili prostorija [W]

$\Sigma \Phi_{RH,i}$ - suma toplina za zagrijavanje svih prostorija zbog prekida grijanja [W]

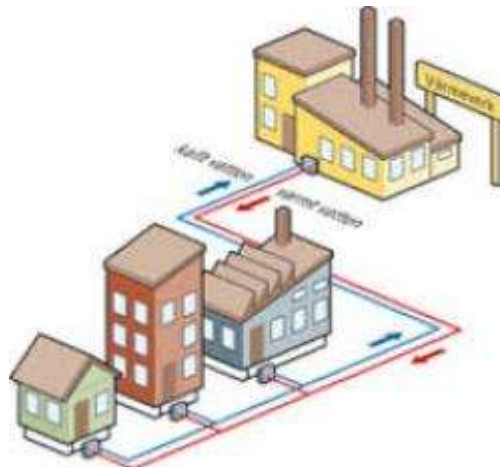
1.3. Sustavi grijanja

Pri odluci o tome koji sustav grijanja odabrati treba voditi računa o građevinsko-fizikalnim svojstvima i arhitektonskim značajkama građevine, raspoloživosti energetika, zahtjevima korisnika te brojnim drugim faktorima. Sustavi centralnog grijanja omogućuju zagrijavanje prostorije pomoću ogrjevnih tijela kroz koje struji ogrjevni medij koji se zagrijava u izvoru topline smještenom na jednom mjestu u građevini. Kotlovi su neizravni izvori topline za sustave grijanja u kojima na jednom mjestu dolazi do pretvorbe kemijske energije sadržane u gorivu u toplinu koja se zatim preko ogrjevnog medija dovodi do ogrjevnih tijela te se preko njih predaje u grijane prostorije. Osnovni tipovi toplovodnih kotlova su klasični kotao, niskotemperaturni kotao i kondenzacijski kotao.



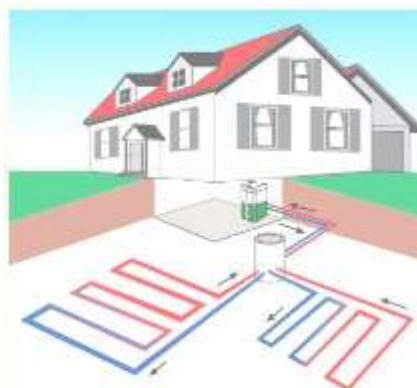
Slika 3. Centralno grijanje i priprema PTV-a sa plinskim kotлом [5]

Kod sustava daljinskog grijanja, umjesto da se toplinska energija proizvodi u svakoj zgradi zasebno, koristi se jedan izvor topline za više zgrade te se toplinska energija prenosi distribucijskim medijem. Daljinsko grijanje ima veću efikasnost i bolju kontrolu zagađenja od lokaliziranih sustava grijanja. Postrojenje daljinskog grijanja često je kombinacija toplane i elektrane odnosno kogeneracijsko postrojenje. Budući da se istovremeno proizvode toplina i struja u istom procesu, koristi se toplina koja bi se inače rasipala pri proizvodnji električne energije.



Slika 4. Sustav daljinskog grijanja [6]

Obnovljivi izvori energije (dizalice topline, geotermalni izvori, sunčeva energija) sve više dobivaju prednost pred konvencionalnim sustavima ponajviše zbog sve većih cijena fosilnih goriva i svijesti o zaštiti okoliša. Najveći razlog koji za sada sprječava veće proširenje sustava sa obnovljivim izvorima energije su visoki investicijski troškovi. Sustavi sa dizalicama topline su jedan od najčešće korištenih takvih sustava. Po definiciji dizalica topline su uređaji koji prenose toplinu sa niže temperaturne razine na višu temperaturnu razinu s ciljem korisne primjene toplinske energije. Princip rada dizalica topline se temelji na ljevokretnom kružnom procesu. Dizalice topline najčešće koriste električnu energiju za pogon kompresora, a kao izvor topline koriste energiju okoliša. Kao toplinski izvori mogu se koristiti okolišnji zrak, podzemne vode, površinske vode i tlo. U ovome radu koristi se dizalica topline sa tlom kao izvorom topline. Podjela takvih dizalica topline prema načinu postavljanja izmjenjivača topline je na okomiti i vodoravni izmjenjivač topline. Vodoravni izmjenjivač topline zahtjeva niže investicijske troškove, ali potrebna je velika površina za polaganje izmjenjivača topline u tlo. Okomiti izmjenjivač topline zahtjeva puno manje površine, ali je skuplja varijanta zbog potrebnih bušotina.



Slika 5. Dizalica topline sa tлом као извором topline [7]

S ciljem iskoriščavanja dozračene energije od Sunca danas se sve više koriste solarni sustavi za zagrijavanje potrošne tople vode. Osnovni dijelovi tih sustava su kolektori, spremnik tople vode sa izmjenjivačem topline, solarna stanica sa crpkom i regulacijom te razvod s odgovarajućim radnim medijem. Sustavi mogu biti izvedeni sa prirodnom ili prisilnom cirkulacijom. Kod prirodne cirkulacije strujanje se uspostavlja uslijed razlike gustoća vode u spremniku i kolektoru te nije potrebna pumpa niti regulacija. Kod sustava sa prisilnom cirkulacijom, koji se najčešće koriste, pumpa osigurava cirkulaciju fluida kroz kolektore. Regulacija upravlja radom pumpe te je za uključenje potrebna određena razlika temperature između spremnika i kolektora. U ovome radu solarni kolektori će biti postavljeni na krov stambene zgrade u sklopu akumulacijskog sustava za pripremu potrošne tople vodu uz podršku dodatnog izvora topline.



Slika 6. Solarno zagrijavanje potrošne tople vode [8]

2. TOPLINSKA BILANCA ZGRADE

2.1. Opis zgrade

Zgrada se sastoji od podruma, šest stanova i potkrovlja. Stanovi su raspoređeni na prizemlje i dva kata. Sastoje se od hodnika, dnevne sobe sa kuhinjom, kupaonom i dvije spavaće sobe. Svaki stan ima izlaz na terasu sa jugozapadne strane te izlaz na balkon sa sjeverozapadne strane. Podrum i potkrovje smatraju se zajedničkim prostorima te služe eventualno kao spremišta i kao prostor za smještaj opreme. Stanovi su simetrični i jednake površine. Stanovi u prizemlju su nešto viši od stanova na prvom i drugom katu. U ovome projektu za potrebe grijanja predviđen je niskotemperaturni sustav s dizalicom topline tlo-voda i s podnim grijanjem temperaturnog režima 35/30 °C.

2.2. Proračun toplinskih gubitaka

Proračun toplinskih gubitaka proveden je prema normi HRN EN 12831 za stambeni kompleks u gradu Supetar na otoku Braču. Potrebni podaci korišteni u proračunu uzeti su za grad Split zbog nedostatka podataka za grad Supetar. Vanjska projektna temperatura iznosi -4 °C. Unutarnje projektne temperature prema normi dane su u tablici 1 u zavisnosti o namjeni prostorije za koju se proračunavaju toplinski gubici. Proračun je napravljen u MS Excelu. Rezultati proračuna po prostorijama dati su u tablici 6 dok je rekapitulacija za svaki stan i ukupno za cijelu zgradu dana u tablici 7. Detaljan proračun dan je u prilogu 1.

namjena prostorije	unutarnja projektna temperatura, $\theta_{int,i}$ [°C]
dnevna, spavaća soba, kuhinja, zahod	20
kupaonica	24
hodnici i pomoćne grijane prostorije	15

Tablica 1. Unutarnje projektne temperature prostorija

Vrijednosti koeficijenata prolaza topline U [W/m²K] u ovome projektu nisu bili definirani već su prepostavljeni tako da mogu omogućiti primjenu podnog odnosno površinskog grijanja. U tablici 2 su dane njihove vrijednosti.

Oznaka	Građevinski element	koef. prolaza topline , U [W/m ² K]
VZ	Vanjski zid	0,25
UZT	Unutarnji tanki zid	1
MK	Međukatna konstrukcija	0,25
ZS	Zid prema stubištu	0,35
VV	Vanjska vrata	1
UV	Unutarnja vrata	1,2
PR	Prozor	0,9
MBV	Mala balkonska vrata	0,9
VBV	Velika balkonska vrata	0,9
UZD	Unutarnji debeli zid	0,7
K	Krov	0,25

Tablica 2. Koeficijenti prolaza topline

Minimalan broj izmjena zraka po satu n_{min} [h⁻¹] definiran je prema normi i njegove vrijednosti su dane u tablici 3.

tip prostorije	n_{min} [h ⁻¹]
prostor za boravak	0,5
kuhinja ili kupaona sa prozorom	1,5

Tablica 3. Minimalni broj izmjena zraka po satu

Norma definira i faktore smanjenja temperaturne razlike kako bi se mogli odrediti transmisijski gubici grijanog prostora kroz negrijani prostor prema vanjskom okolišu. Ako je temperatura negrijanog prostora nepoznata onda se uzimaju preporučene vrijednosti navedene u tablici 4.

Negrijani prostor	b_u
stubište sa 1 vanjskim zidom	0,4
podrum sa prozorima	0,8
potkrovље sa izoliranim krovom	0,7

Tablica 4. Faktor smanjenja temperaturne razlike

Transmisijskim i ventilacijskim gubicima treba dodati i dodatnu toplinu za zagrijavanje do projektne temperature prostorije nakon što ona u periodu grijanja padne. U tablici 5 su dane vrijednosti korištene u ovome projektu.

vrijeme zagrijavanja , [h]	prepostavljeni pad temperature, K	f_{RH} [W/m ²]
2	1	6

Tablica 5. Korekcijski faktor za stambene zgrade

Prostorija	θ_i	ϕ_T	ϕ_V	ϕ_{RH}	ϕ_{UK}	A	ϕ_{uk}/A	
-	-	°C	W	W	W	m ²	W/m ²	
1,1	Ulazni prostor	20	60,24	64,63	42,9	167,77	5,91	28,38
1,2	Dnevni boravak	20	306,6	276,33	125,1	708,03	18,54	38,18
1,4	Kupaonica	24	151,25	57,69	31,68	240,62	4,5	53,47
1,5	Spavaća soba 1	20	131,14	92,49	57,66	281,29	8,44	33,32
1,6	Spavaća soba 2	20	233,98	102,68	64,44	401,1	9,36	42,85
2,1	Ulazni prostor	20	60,24	64,63	42,9	167,77	5,91	28,38
2,2	Dnevni boravak	20	306,6	276,33	125,1	708,03	18,54	38,18
2,4	Kupaonica	24	151,25	57,69	31,68	240,62	4,5	53,47
2,5	Spavaća soba 1	20	131,14	92,49	57,66	281,29	8,44	33,32
2,6	Spavaća soba 2	20	233,98	102,68	64,44	401,1	9,36	42,85
3,1	Ulazni prostor	20	31,54	63,7	42,9	138,14	5,91	23,37
3,2	Dnevni boravak	20	214,85	271,97	125,1	611,92	18,54	33,05
3,4	Kupaonica	24	124,17	56,67	31,68	212,52	4,5	47,22
3,5	Spavaća soba 1	20	89,34	90,75	57,66	237,75	8,44	28,17
3,6	Spavaća soba 2	20	186,55	100,93	64,44	351,92	9,36	37,59
4,1	Ulazni prostor	20	31,54	63,7	42,9	138,14	5,91	23,37
4,2	Dnevni boravak	20	214,85	271,97	125,1	611,92	18,54	33,05
4,4	Kupaonica	24	124,17	56,67	31,68	212,52	4,5	47,22
4,5	Spavaća soba 1	20	89,34	90,75	57,66	237,75	8,44	28,17
4,6	Spavaća soba 2	20	186,55	100,93	64,44	351,92	9,36	37,59
5,1	Ulazni prostor	20	56,36	63,7	42,9	162,96	5,91	27,57
5,2	Dnevni boravak	20	292,72	271,97	125,1	689,79	18,54	37,21
5,4	Kupaonica	24	146,22	56,67	31,68	234,57	4,5	52,12
5,5	Spavaća soba 1	20	124,79	90,75	57,66	273,21	8,44	32,37
5,6	Spavaća soba 2	20	225,86	100,93	64,44	391,23	9,36	41,79
6,1	Ulazni prostor	20	56,36	63,7	42,9	162,96	5,91	27,57
6,2	Dnevni boravak	20	292,72	271,97	125,1	689,79	18,54	37,21
6,4	Kupaonica	24	146,22	56,67	31,68	234,57	4,5	52,12
6,5	Spavaća soba 1	20	124,79	90,75	57,66	273,21	8,44	32,37
6,6	Spavaća soba 2	20	225,86	100,93	64,44	391,23	9,36	41,79

Tablica 6. Toplinski gubici po prostorijama

Stanovi	ϕ_T	ϕ_V	ϕ_{RH}	ϕ_{UK}
-	W	W	W	W
Stan 1	883,22	593,82	321,78	1798,82
Stan 2	883,22	593,82	321,78	1798,82
Stan 3	646,46	584,02	321,78	1552,26
Stan 4	646,46	584,02	321,78	1552,26
Stan 5	845,96	584,02	321,78	1751,76
Stan 6	845,96	584,02	321,78	1751,76
UKUPNO	4751,32	3523,72	1930,68	10205,73

Tablica 7. Ukupni toplinski gubici

Oznake u tablicama 6 i 7:

θ_i - unutarnja projektna temperatura, A - površina grijane prostorije, ϕ_T - transmisijski toplinski gubici, ϕ_V - ventilacijski toplinski gubici, ϕ_{RH} - dodatna toplina zbog prekida grijanja, ϕ_{UK} - ukupni projektni toplinski gubici, ϕ_{uk}/A - ukupni projektni toplinski gubici svedeni na jedinicu površine prostorije

2.3. Proračun godišnje potrebne toplinske energije za grijanje $Q_{h,nd}$

Godišnja potrebna toplinska energija za grijanje $Q_{H,nd}$ jest računski određena količina topline koju sustavom grijanja treba tijekom jedne godine dovesti u zgradu za održavanje unutarnje projektne temperature u zgradi tijekom razdoblja grijanja zgrade. Proračun se provodi prema „Algoritam za proračun potrebne energije za grijanje i hlađenje prostora zgrade prema HRN EN ISO 13790“ i koristi se mjesecna metoda. Ulazni podaci za proračun dani su u tablici 8 za referentnu postaju Split-Marjan.

mjesec	broj dana	broj sati (h)	$\theta_{e,m}$ (°C)
siječanj	31	744	7,6
veljača	28	672	8,2
ožujak	31	744	10,5
travanj	30	720	13,9
svibanj	31	744	18,7
lipanj	30	720	22,5
srpanj	31	744	25,4
kolovoz	31	744	24,9
rujan	30	720	21,4
listopad	31	744	16,9
studen	30	720	12,3
prosinac	31	744	8,9

Tablica 8. Ulazni podaci za proračun

Za proračun su također potrebni površina i koeficijenti prolaza topline pojedinih dijelova zgrade te srednji toplinski tok od sunčeva zračenja za proračunski period. Ostali potrebni podaci dani su u tablici 9.

unutarnja postavna temperatura zone za grijanje	$\theta_{int,H}$	20,4	°C
koeficijent transmisijske izmjene topline proračunske zone	H_{tr}	245,13	W/K
koeficijent ventilacijske izmjene topline proračunske zone	H_{ve}	128,1	W/K
specifični unutarnji dobitak po m^2 korisne površine	q_{spec}	5	W/m ²
korisna površina zgrade	A_k	280,5	m^2

Tablica 9. Ostali podaci za proračun

2.3.1. Pregled osnovnih formula algoritma

Potrebna toplinska energija za grijanje [9]:

$$Q_{H,nd,cont} = Q_{H,ht} - \eta_{H,gn} \cdot Q_{H,gn} = Q_{Tr} + Q_{Ve} - \eta_{H,gn} \cdot (Q_{int} + Q_{sol}) \quad [\text{kWh}] \quad (6)$$

gdje su:

$Q_{H,nd,cont}$ - potrebna toplinska energija za grijanje pri kontinuiranom radu [kWh]

$Q_{H,ht}$ - ukupno izmjenjena toplinska energija u periodu grijanja [kWh]

$Q_{H,gn}$ - ukupni toplinski dobici zgrade u periodu grijanja [kWh]

$\eta_{H,gn}$ - faktor iskorištenja toplinskih dobitaka [-]

Q_{Tr} - izmjenjena toplinska energija transmisijom za proračunsku zonu [kWh]

Q_{Ve} - potrebna toplinska energija za ventilaciju/klimatizaciju za proračunsku zonu [kWh]

Q_{int} - unutarnji toplinski dobici zgrade [kWh]

Q_{sol} - toplinski dobici od Sunčeva zračenja [kWh]

Izmjenjena toplinska energija transmisijom i ventilacijom proračunske zone za promatrani period računa se pomoću koeficijenta toplinske izmjene topline H [W/K]:

$$Q_{Tr} = \frac{H_{Tr}}{1000} \cdot (\theta_{int,H} - \theta_e) \cdot t \quad [\text{kWh}] \quad (7)$$

$$Q_{Ve} = \frac{H_{Ve}}{1000} \cdot (\theta_{int,H} - \theta_e) \cdot t \quad [\text{kWh}] \quad (8)$$

gdje su:

H_{Tr} - koeficijent transmisijske izmjene topline proračunske zone [W/K]

H_{Ve} - koeficijent ventilacijske izmjene topline proračunske zone [W/K]

$\theta_{int,H}$ - unutarnja postavna temperatura grijane zone [°C]

$\theta_{e,m}$ - srednja vanjska temperatura za proračunski period (sat ili mjesec) [°C]

t - trajanje proračunskog razdoblja [h]

Unutarnji toplinski dobici od ljudi i uređaja računaju se sa vrijednošću 5 W/m^2 ploštine korisne površine za stambene prostore:

$$Q_{int} = \frac{q_{spec} \cdot A_k \cdot t}{1000} \quad [\text{kWh}] \quad (9)$$

gdje su:

q_{spec} - specifični unutarnji dobitak po m^2 korisne površine [W/m^2]

A_k - korisna površina [m^2]

t - proračunsko vrijeme [h]

Solarni toplinski dobici za promatrani vremenski period:

$$Q_{sol} = \left[\sum_k \Phi_{sol,mn,k} \right] \cdot t + \left[\sum_k (1 - b_{tr,l}) \cdot \Phi_{sol,mn,u,l} \right] \cdot t \quad [\text{Wh}] \quad (10)$$

gdje su:

$\Phi_{sol,mn,k}$ - srednji toplinski tok od sunčeva izvora kroz k-ti građevni dio u grijani prostor [W]

$\Phi_{sol,mn,u,l}$ - srednji toplinski tok od sunčeva izvora kroz l-ti građevni dio u susjedni negrijani prostor [W]

$b_{tr,l}$ - faktor smanjenja za susjedni negrijani prostor s unutarnjim toplinskim izvorom [-]

Srednji toplinski tok od sunčeva zračenja kroz građevni dio zgrade k:

$$\Phi_{sol,k} = F_{sh,ob} \cdot I_{S,K} \cdot A_{sol,k} - F_{r,k} \cdot \Phi_{r,k} \quad [\text{W}] \quad (11)$$

gdje su:

$F_{sh,ob}$ - faktor zasjenjenja od vanjskih prepreka direktnom upadu sunčevog zračenja [-]

$I_{S,K}$ - srednji toplinski tok od sunčevog zračenja na površinu građevnog dijela k za mjesecni proračun [W/m^2]

$A_{sol,k}$ - efektivna površina otvora k na koju upada sunčev zračenje [m^2]

$F_{r,k}$ - faktor oblika između otvora k i neba [-]

$\Phi_{r,k}$ - toplinski tok zračenjem od površine otvora k prema nebnu [W]

Faktor iskorištenja toplinskih dobitaka:

$$\eta_{H,gn} = \frac{1 - y_H^{a_H}}{1 - y_H^{a_H+1}} \quad \text{za } y_H > 0 \text{ i } y_H \neq 0 \quad (12)$$

$$\eta_{H,gn} = \frac{a_H}{a_H + 1} \quad \text{za } y_H = 0 \quad (13)$$

$$\eta_{H,gn} = \frac{1}{y_H} \quad \text{za } y_H < 0 \quad (14)$$

gdje su:

a_H - bezdimenzijski parametar ovisan o vremenskoj konstanti zgrade τ [-]

y_H - omjer toplinskih dobitaka i ukupne izmjenjene topline transmisijom i ventilacijom u režimu grijanja [-]

$$y_H = \frac{Q_{H,gn}}{Q_{H,ht}} \quad [-] \quad (15)$$

Godišnja vrijednost potrebne toplinske energije za grijanje proračunske zone izračunava se kao suma pozitivnih mjesecnih vrijednosti:

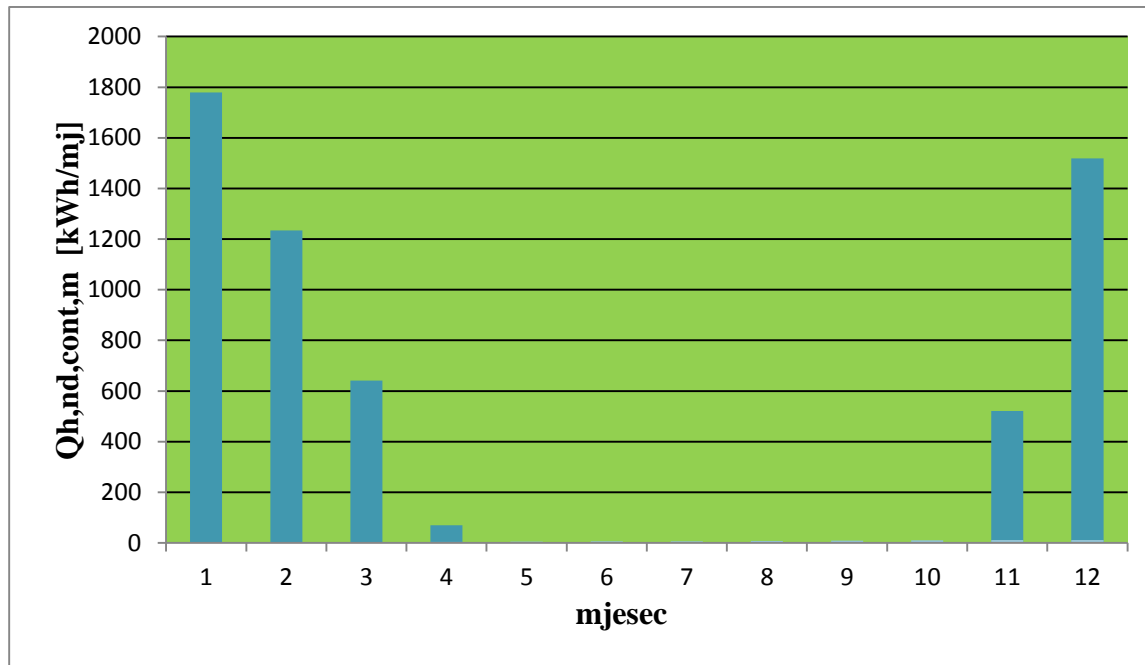
$$Q_{H,nd} = \sum_{m=1}^{12} Q_{H,nd,m} \quad [\text{kWh/a}] \quad (16)$$

Zahtjevana vrijednost godišnje potrebne toplinske energije za grijanje stambene zgrade, svedena na jedinicu korisne površine izračunava se:

$$Q''_{H,nd} = \frac{Q_{H,nd}}{A_k} \quad [\text{kWh/m}^2 \text{a}] \quad (17)$$

2.3.2. Rezultati proračuna

Proračun je proveden u MS Excelu i dobivene su mjesečne vrijednosti potrebne toplinske energije za grijanje.



Slika 7. Pregled potrebne mjesečne toplinske energije za grijanje

Godišnja vrijednost potrebne toplinske energije za grijanje proračunske zone izračunava se kao suma pozitivnih mjesečnih vrijednosti te iznosi 5765,381 kWh/a.

Zahtjevana vrijednost godišnje potrebne toplinske energije za grijanje stambene zgrade, svedena na jedinicu korisne površine iznosi 20,55 kWh/m²a.

Prema važećem pravilniku o energetskim pregledima građevina i energetskom certificiraju zgrada ova stambena zgrada spada u energetski razred A.

Detaljan proračun proveden u programu MS Excel dan je u tablici 10.

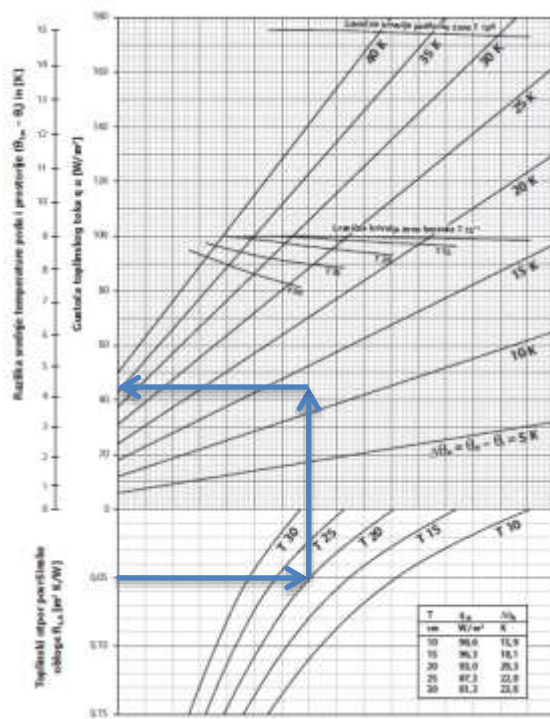
mjesec	-	1	2	3	4	5	6	7	8	9	10	11	12
broj dana	-	31	28	31	30	31	30	31	31	30	31	30	31
t	h	744	672	744	720	744	720	744	744	720	744	720	744
$\vartheta_{\text{e},m}$	°C	7,6	8,2	10,5	13,9	18,7	22,5	25,4	24,9	21,4	16,9	12,3	8,9
$Q_{x,m}$	kWh/mj	2334,4	2009,6	1805,5	1147,2	310	-370,6	-911,8	-820,7	-176,5	638,3	1429,6	2097,3
$Q_{vs,m}$	kWh/mj	1219,9	1050,2	943,5	599,5	162	-193,7	-476,5	-428,8	-92,2	333,5	747	1096
Q_{ht}	kWh/mj	3554,3	3059,8	2749	1746,7	472	-564,3	-1388,4	-1249,6	-268,7	971,8	2176,6	3193,3
$Q_{int,m}$	kWh/mj	1043,4	942,4	1043,4	1009,8	1043,4	1009,8	1043,4	1043,4	1009,8	1043,4	1009,8	1043,4
$Q_{sol,m}$	kWh/mj	749,2	927,1	1254,6	1517,2	2022,8	2249,4	2302,3	1894,9	1392,8	1212,8	788,3	652,3
$Q_{h,gn}$	kWh/mj	1792,6	1869,6	2298	2527	3066,2	3259,2	3345,7	2938,4	2402,6	2256,2	1798,1	1695,7
γ_h	-	0,5043	0,611	0,8359	1,4467	6,4954	-5,775	-2,4098	-2,3515	-8,941	2,3215	0,8261	0,531
$\eta_{H,gn}$	-	0,9905	0,9767	0,9174	0,6638	0,1539	-0,1732	-0,415	-0,4253	-0,1119	0,4288	0,9208	0,9878
$Q_{h,nad.com,m}$	kWh/mj	1778,6	1233,7	640,6	69,1	0	0	0	0	0	4,2	520,7	1518,2

Tablica 10. Proračun godišnje potrebine topilske energije za grijanje

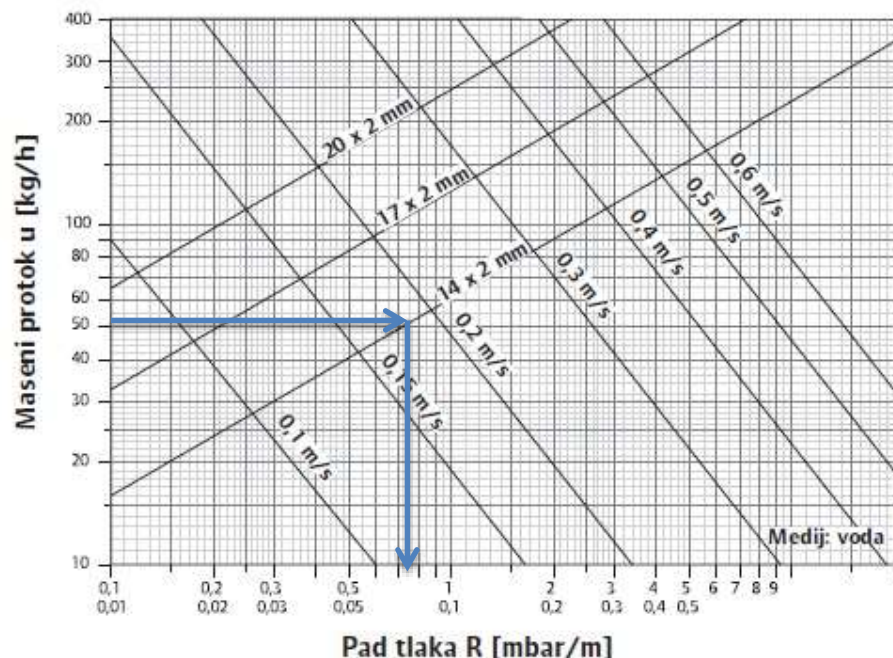
3. DIMENZIONIRANJE SUSTAVA GRIJANJA

3.1. Podno grijanje

Sustav grijanja u ovoj zgradi je projektiran tako da je u svim grijanim prostorijama korišteno podno grijanje, dok se u kupaonicama zbog nedostatne površine uz podno grijanje koriste i cijevni kupaonski grijaci. Dimenzioniranje sustava podnog grijanja je provedeno prema dijagramima proizvodača Uponor. Toplinski gubici prostorije kroz elemente odnosno pod u koji je ugrađeno podno grijanje se odbiju od projektnih toplinskih gubitaka prostorije te se tako dobiva potreban toplinski učin. Toplinski učin ovisi o temperaturnom režimu medija, razmaku polaganja cijevi, otporu podne obloge i temperaturi zraka u prostoriji. Pri projektiranju krugova podnog grijanja poštivala su se ograničenja o maksimalnoj dužini cijevi, površini zone te maksimalnom padu tlaka kroz jedan krug. Korištena je Tecto ploča za pozicioniranje cijevi koja se pokriva sa cementnim estrihom debljine 45 mm i toplinske vodljivosti $1,2 \text{ W/mK}$. Korištene su cijevi PE-Xa $\Phi 14 \times 2$. Na slikama 8 i 9 je prikazan postupak projektiranja te je kao primjer korišten krug 1,5p.



Slika 8. Dijagram za proračun sustava: Uponor Tecto ploča, PE-Xa cijevi $\Phi 14 \times 2 \text{ mm}$ [10]



Slika 9. Dijagram pada tlaka za Uponor PE-Xa cijevi [10]

U nastavku su prikazani rezultati proračuna u tablicama 11, 12 i 13.

P_r	K_r	A_{kr}	R_t	T	L_k	Q_{kr}	q_m	v	R	Δp_{kr}
-	-	m^2	$m^2 K/W$	cm	m	W	kg/h	m/s	mbar/m	mbar
stan 1										
1,1	1,1p	2,6	0,03	10	26	169	28,97	0,108	0,29	7,54
1,2	1,2pa	12,32	0,03	20	61,6	591,4	101,4	0,37	2,4	147,8
	1,2pb	2,5	0,03	20	12,5	120	20,6	0,073	0,17	2,13
1,4	1,4p	1,16	0,01	10	11,6	56,84	9,74	0,034	0,13	1,51
1,5	1,5p	6,82	0,05	20	34,1	300,1	51,44	0,18	0,75	25,6
1,6	1,6p	8,09	0,04	15	53,9	428,8	73,5	0,27	1,35	72,76
stan 2										
2,1	2,1p	2,6	0,03	10	26	169	28,97	0,108	0,29	7,54
2,2	2,2pa	12,32	0,03	20	61,6	591,4	101,4	0,37	2,4	147,8
	2,2pb	2,5	0,03	20	12,5	120	20,6	0,073	0,17	2,13
2,4	2,4p	1,69	0,01	10	16,9	82,81	14,2	0,05	0,15	2,54
2,5	2,5p	6,82	0,05	20	34,1	300,1	51,44	0,18	0,75	25,6
2,6	2,6p	8,09	0,04	15	53,9	428,8	73,5	0,27	1,35	72,76
stan 3										
3,1	3,1p	2,6	0,03	10	26	169	28,97	0,108	0,29	7,54
3,2	3,2pa	12,32	0,03	20	61,6	591,4	101,4	0,37	2,4	147,8
	3,2pb	2,5	0,03	20	12,5	120	20,6	0,073	0,17	2,13
3,4	3,4p	1,16	0,01	10	11,6	56,84	9,74	0,034	0,13	1,51
3,5	3,5p	6,82	0,05	20	34,1	300,1	51,44	0,18	0,75	25,6
3,6	3,6p	8,09	0,04	15	53,9	428,8	73,5	0,27	1,35	72,76
stan 4										
4,1	4,1p	2,6	0,03	10	26	169	28,97	0,108	0,29	7,54
4,2	4,2pa	12,32	0,03	20	61,6	591,4	101,4	0,37	2,4	147,8
	4,2pb	2,5	0,03	20	12,5	120	20,6	0,073	0,17	2,13
4,4	4,4p	1,69	0,01	10	16,9	82,81	14,2	0,05	0,15	2,54
4,5	4,5p	6,82	0,05	20	34,1	300,1	51,44	0,18	0,75	25,6
4,6	4,6p	8,09	0,04	15	53,9	428,8	73,5	0,27	1,35	72,76
stan 5										
5,1	5,1p	2,6	0,03	10	26	169	28,97	0,108	0,29	7,54
5,2	5,2pa	12,32	0,03	20	61,6	591,4	101,4	0,37	2,4	147,8
	5,2pb	2,5	0,03	20	12,5	120	20,6	0,073	0,17	2,13
5,4	5,4p	1,16	0,01	10	11,6	56,84	9,74	0,034	0,13	1,51
5,5	5,5p	6,82	0,05	20	34,1	300,1	51,44	0,18	0,75	25,6
5,6	5,6p	8,09	0,04	15	53,9	428,8	73,5	0,27	1,35	72,76
stan 6										
6,1	6,1p	2,6	0,03	10	26	169	28,97	0,108	0,29	7,54
6,2	6,2pa	12,32	0,03	20	61,6	591,4	101,4	0,37	2,4	147,8
	6,2pb	2,5	0,03	20	12,5	120	20,6	0,073	0,17	2,13
6,4	6,4p	1,69	0,01	10	16,9	82,81	14,2	0,05	0,15	2,54
6,5	6,5p	6,82	0,05	20	34,1	300,1	51,44	0,18	0,75	25,6
6,6	6,6p	8,09	0,04	15	53,9	428,8	73,5	0,27	1,35	72,76

Tablica 11. Proračun podnog grijanja

Oznake u tablici 11:

P_r - prostorija, K_r - krug podnog grijanja, A_{kr} - površina kruga, R_t - toplinski otpor podne obloge, T - razmak cijevi, L_k - duljina kruga, Q_{kr} - toplinski učin kruga, q_m - maseni protok vode kroz krug, v - brzina strujanja vode, R - jedinični pad tlaka, Δp_{kr} - ukupni pad tlaka kroz krug

P_r	T_i	A_{pr}	ΔT_m	Q_n	Q_{pr}	Q_p	$Q_{inst,p}$
-	°C	m ²	°C	W	W	W	W
stan 1							
1,1	20	5,91	12,33	167,78	12,48	155,29	169
1,2	20	18,54	12,33	708,03	71,13	636,89	711,36
1,4	24	4,5	8,25	240,62	6,49	234,12	56,84
1,5	20	8,44	12,33	281,29	32,73	248,56	300,08
1,6	20	9,36	12,33	401,1	38,83	362,27	428,77
stan 2							
2,1	20	5,91	12,33	167,78	12,48	155,29	169
2,2	20	18,54	12,33	708,03	71,13	636,89	711,36
2,4	24	4,5	8,25	240,62	9,46	231,15	82,81
2,5	20	8,44	12,33	281,29	32,73	248,56	300,08
2,6	20	9,36	12,33	401,1	38,83	362,27	428,77
stan 3							
3,1	20	5,91	12,33	138,14	-	138,14	169
3,2	20	18,54	12,33	611,92	-	611,92	711,36
3,4	24	4,5	8,25	212,52	-	212,52	56,84
3,5	20	8,44	12,33	237,75	-	237,75	300,08
3,6	20	9,36	12,33	351,92	-	351,92	428,77
stan 4							
4,1	20	5,91	12,33	138,14	-	138,14	169
4,2	20	18,54	12,33	611,92	-	611,92	711,36
4,4	24	4,5	8,25	212,52	-	212,52	82,81
4,5	20	8,44	12,33	237,75	-	237,75	300,08
4,6	20	9,36	12,33	351,92	-	351,92	428,77
stan 5							
5,1	20	5,91	12,33	162,96	-	162,96	169
5,2	20	18,54	12,33	689,79	-	689,79	711,36
5,4	24	4,5	8,25	234,57	-	234,57	56,84
5,5	20	8,44	12,33	273,2	-	273,2	300,08
5,6	20	9,36	12,33	391,23	-	391,23	428,77
stan 6							
6,1	20	5,91	12,33	162,96	-	162,96	169
6,2	20	18,54	12,33	689,79	-	689,79	711,36
6,4	24	4,5	8,25	234,57	-	234,57	82,81
6,5	20	8,44	12,33	273,2	-	273,2	300,08
6,6	20	9,36	12,33	391,23	-	391,23	428,77

Tablica 12. Instalirana snaga podnog grijanja

Oznake u tablici 12:

P_r - prostorija, T_i - unutarnja projektna temperatura, A_{pr} - površina prostorije, ΔT_m - srednja temperaturna razlika ogrijevnog tijela i zraka u prostoriji, Q_n - projektni toplinski gubici, Q_{pr} - pročišćeni toplinski gubici, Q_p - potrebna snaga podnog grijanja, $Q_{inst,p}$ - instalirana snaga podnog grijanja

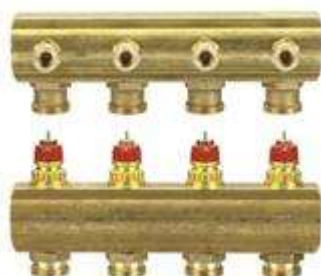
P_r	A_{uk}	$Q_{n,uk}$	$Q_{pr,uk}$	$Q_{p,uk}$	$Q_{inst,p,uk}$
-	m^2	W	W	W	W
stan 1					
ukupno	46,75	1798,83	161,67	1637,15	1666,05
stan 2					
ukupno	46,75	1798,83	164,64	1634,18	1692,02
stan 3					
ukupno	46,75	1552,27	-	1552,27	1666,05
stan 4					
ukupno	46,75	1552,27	-	1552,27	1692,02
stan 5					
ukupno	46,75	1751,77	-	1751,77	1666,05
stan 6					
ukupno	46,75	1751,77	-	1751,77	1692,02
zgrada					
ukupno	280,5	10205,7	-	9879,4	10074,2

Tablica 13. Ukupni rezultati po stanovima

Oznake u tablici 13:

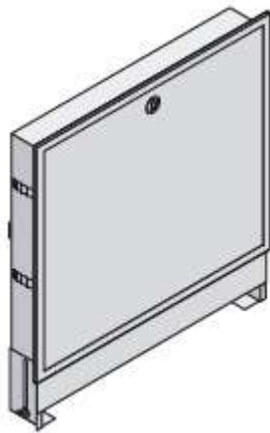
P_r - prostorija, A_{uk} - ukupna površina stana, $Q_{n,uk}$ - ukupni projektni toplinski gubici po stanu, $Q_{pr,uk}$ - ukupni pročišćeni toplinski gubici po stanu, $Q_{p,uk}$ - ukupna potrebna snaga podnog grijanja po stanu, $Q_{inst,p,uk}$ - ukupna instalirana snaga podnog grijanja po stanu

Krugove podnog grijanja potrebno je povezati na razdjeljike te je za sve stanove odabran model: „FHF-7F“ razdjeljnik i sabirnik za priključak 7 krugova grijanja proizvođača Danfoss.



Slika 10. Razdjeljnik i sabirnik „FHF“ [11]

Također su odabrani zidni ormarići za sve stanove „UHF2“ proizvodača Uponor, visine 820 mm, širine 710 mm i dubine 120 mm.



Slika 11. Zidni ormarić „UHF2“ [10]

3.2. Odabir cijevnih kupaonskih grijača

Budući da podno grijanje u kupaonicama svih stanova ne može do kraja pokriti toplinske gubitke dodaju se kupaonski cijevni grijači proizvođača Očenašek priključeni na razdjelnik podnog grijanja. Odabrana su tri kupaonska radijatora „MONDO BND 750x1850 (1620 W)“ za kupaonice u stanovima 1, 3 i 5 te tri kupaonska radijatora „MONDO BND 750x1650 (1439 W)“ za kupaonice u stanovima 2, 4 i 6. Toplinski učini od proizvođača su dani za temperaturni režim 75/65/20 °C. Preračunato na temperaturni režim u ovome projektu 35/30/24 °C dobije se 171 W toplinskog učina za „MONDO BND 750x1850“ te 152 W toplinskog učina za „MONDO BND 750x1650“. Cijevni grijači u kupaonicama 1,4 i 5,4 ne ostvaruju dovoljan toplinski učin te se koriste u kombinaciji sa „elektro grijačem GT 600 W za kupaonski radijator“. Rezultati proračuna cijevnih grijača prikazani su u tablici 14.

Pr	T_i	A_{pr}	$Q_{h,p}$	$Q_{h,n}$	q_m	v	Δp_c
-	°C	m^2	W	W	kg/h	m/s	mbar
1,4	24	4,5	177,3	171	29,31	0,04	2
2,4	24	4,5	148,3	152	26,06	0,036	1,62
3,4	24	4,5	155,7	171	29,31	0,04	2
4,4	24	4,5	129,7	152	26,06	0,036	1,62
5,4	24	4,5	177,7	171	26,06	0,04	2
6,4	24	4,5	151,8	152	29,31	0,036	1,62

Tablica 14. Rezultati proračuna cijevnih grijača

Oznake u tablici 12:

P_r - prostorija, T_i - unutarnja projektna temperatura, A_{pr} - površina prostorije, $Q_{h,p}$ - potrebna snaga cijevnog grijajućeg uređaja, $Q_{h,n}$ - snaga cijevnog grijajućeg uređaja od proizvođača pri temperaturnom režimu 35/30/24 °C, q_m - maseni protok vode, v - brzina strujanja vode, Δp_c - pad tlaka kroz cijevni grijajući element



Slika 12. Kupaonski cijevni grijajući element „MONDO BND“ [12]

4. ODABIR DIZALICE TOPLINE TLO - VODA

Potreban toplinski učin dizalice topline određuje se prema izračunatoj potrebnoj instaliranoj snazi sustava grijanja od 11,04 kW i potrebnoj toplini za zagrijavanje PTV-a od 13,72 kW. Dobiva se ukupni potrebni učin dizalice topline od 24,76 kW. Odabrana je dizalica topline „geoTHERM VWS 171/2“ proizvođača Vaillant. Odabrana dizalica topline ima ogrijevni učin od 16,1 kW i faktor grijanja 2,9 pri temperaturi polaza 55 °C u primarnom krugu prema spremniku PTV-a i međuspremniku te pri temperaturnoj razlici od 5 °C između polaznog i povratnog voda. Električni grijач „VWZ EA 6“ proizvođača Vaillant snage 6 kW koristi se za dogrijavanje PTV-a na konačnu temperaturu od 60 °C. Tehničke karakteristike odabrane dizalice topline dane su u tablici 15.

Veličina	M. jedinica	Vrijednost
Grijanje, učin (BO/W55 ΔT5K)	kW	16,1
Dovedena električna energija	kW	5,6
Učinski koeficijent (COP)	-	2,9
Nazivni volumni protok kruga grijanja	l/h	2973
Preostala visina dobave - krug grijanja, $\Delta T = 5K$	mbar	313
Nazivni volumni protok kruga izvora topline	l/h	3939
Preostala visina dobave - krug izvora topline, $\Delta T = 3K$	mbar	277
Temperatura kruga grijanja (min./maks.)	°C	25/62
Temperatura kruga izvora topline (min./maks.)	°C	-10/20
Maksimalan radni tlak - krug grijanja	bar	3
Maksimalan radni tlak - krug izvora topline	bar	3
Priklučak polazni/povratni vod grijanja	DN	G 5/4 Φ 28 mm
Priklučak polazni/povratni vod kruga izvora topline	DN	G 5/4 Φ 28 mm
Rashladno sredstvo:		
Tip	-	R407 C
Količina	kg	3,05
Dopušteni radni tlak	MPa	2,9
Kompresor:		
Tip	-	Scroll
Ulje	-	Ester
Količina ulja	l	1,89
Dizalica topline - dimenzije:		
Visina	mm	1200
Širina	mm	600
Dubina	mm	835
Dubina bez prednjeg upravljačkog dijela	mm	650
Težina	kg	179

Tablica 15. Tehničke karakteristike dizalice topline „geoTHERM VWS 171/2“



Slika 13. Dizalica topline „geoTHERM VWS 171/2“ [13]

Oprema koja se isporučuje sa dizalicom topline:

- atmosferski regulator s prikazom energetske bilance
- cirkulacijska pumpa grijanja
- motorni troputni ventil za zagrijavanje PTV
- fleksibilne cijevi
- elektro - dodatno grijanje 6 kW
- sustav Pro E
- osjetnik temperature spremnika PTV-a
- osjetnik temperature polaznog voda i osjetnik temperature povratnog voda
- cirkulacijska pumpa - glikolna smjesa
- kompenzacijnska posuda s rasolinom (6 l) i sigurnosnim ventilom (3 bar)

5. DIMENZIONIRANJE VODORAVNOG KOLEKTORSKOG POLJA

Proračun se provodi prema „Osnove primjene dizalica topline“ [14]:

Vrijednost ukupne površine zemljišta za polaganje vodoravnog kolektorskog polja određuje se jednadžbom:

$$A_{zem,kol,uk} = \frac{\Phi_{DT}}{q_{tlo}} \cdot \left(1 - \frac{1}{\varepsilon_{DT}}\right) = \frac{16100}{20} \cdot \left(1 - \frac{1}{2,9}\right) = 527,4 \quad [\text{m}^2] \quad (18)$$

gdje su:

Φ_{DT} - toplinski učin dizalice topline [W]

ε_{DT} - faktor grijanja dizalice topline [-]

q_{tlo} - specifično površinsko odavanje topline tla [W/m^2]

Minimalna ukupna duljina cijevi vodoravnog kolektorskog polja određena je jednadžbom:

$$L_{uk,min} = \frac{A_{zem,kol,uk}}{s} = \frac{527,4}{0,8} = 659,26 \quad [\text{m}] \quad (19)$$

gdje je:

s - međusobni razmak cijevi [m]

Potreban broj petlji vodoravnog kolektorskog polja za polietilenske cijevi dimenzija $\Phi 32 \times 2,9$ mm i duljinu petlje 90 m:

$$X_p = \frac{L_{uk,min}}{90} = \frac{659,6}{90} = 7,3 (8) \quad (20)$$

Ukupna duljina vodoravnog kolektorskog polja:

$$L_{uk} = 90 \cdot X_p = 90 \cdot 8 = 720 \quad [\text{m}] \quad (21)$$

Ukupni volumen posrednog medija odnosno smjese vode i propilen-glikola sa masenim udjelom propilen glikola 30 % u cijevima vodoravnog kolektorskog polja i spojnim cijevima za povezivanje s razdjelnikom i sabirnikom određuje se jednadžbom:

$$V_{PM} = X \cdot L_{uk,kr} \cdot V'_{L,K} + L_{uk,kr,d} \cdot V'_{L,K} + L_{sp} \cdot V'_{L,sp} \quad [\text{l}] \quad (22)$$

$$V_{PM} = 8 \cdot 90 \cdot 0,539 + 195,5 \cdot 0,539 + 9,8 \cdot 1,3 = 506,2 \quad [\text{l}] \quad (23)$$

gdje su:

$L_{uk,kr}$ - ukupna duljina kruga vodoravnog kolektorskog polja [m]

$L_{uk,kr,d}$ - ukupna duljina cijevi koja povezuje krugove sa razdjelnikom [m]

$V'_{L,sp'}$ - specifični volumen posrednog medija u spojnim cijevima [l/m]

$V'_{L,K}$ - specifični volumen posrednog medija u cijevima vodoravnog kolektorskog polja [l/m]

L_{sp} - duljina spojnih cijevi [m]

$$V'_{L,K} = \frac{d_{u,k}^2 \cdot 3,14}{4000} = \frac{26,2^2 \cdot 3,14}{4000} = 0,539 \text{ [l/m]} \quad (24)$$

$$V'_{L,sp'} = \frac{d_{u,sp}^2 \cdot 3,14}{4000} = \frac{40,8^2 \cdot 3,14}{4000} = 1,3 \text{ [l/m]} \quad (25)$$

Protok posrednog medija se određuje jednadžbom:

$$V_p = \frac{\Phi_{DT,r}}{\rho_{PM} \cdot c_{PM} \cdot \Delta\theta_{PM}} = \frac{10548 \cdot 1000}{1035 \cdot 3800 \cdot 3} = 0,89 \text{ [l/s]} \quad (26)$$

gdje su:

$\Phi_{DT,r}$ - rashladni učin dizalice topline (isparivača) [kW]

$$\Phi_{DT,r} = \Phi_{DT} \cdot \left(1 - \frac{1}{\varepsilon_{DT}}\right) = 16100 \cdot \left(1 - \frac{1}{2,9}\right) = 10,548 \text{ [kW]} \quad (27)$$

ρ_{PM} - gustoća posrednog medija [kg/m³], [15]

c_{PM} - specifični toplinski kapacitet posrednog medija [J/kgK], [15]

$\Delta\theta_{PM}$ - razlika temperaturna posrednog medija na ulazu i izlazu iz kolektora [°C]

Ukupni pad tlaka u vodoravnom kolektorskem polju određuje se jednadžbom:

$$\Delta p_{uk,vkp} = \Delta p_{pet} + \Delta p_{sp} = 7470 + 2058 = 9528 \text{ [Pa]} \quad (28)$$

gdje su:

Δp_{pet} - pad tlaka u jednoj petlji [Pa]

Δp_{sp} - pad tlaka u spojnim cijevima [Pa]

$$\Delta p_{pet} = \Delta p'_{pet} \cdot L_{pet} = 60 \cdot (90 + 34,5) = 7470 \text{ [Pa]} \quad (29)$$

gdje su:

$\Delta p'_{pet}$ - pad tlaka po duljini petlje [Pa/m], [16]

L_{pet} - duljina jedne petlje vodoravnog kolektorskog polja [m]

$$\Delta p_{sp} = \Delta p'_{sp} \cdot L_{sp} = 210 \cdot 9,8 = 2058 \text{ [Pa]} \quad (30)$$

gdje je:

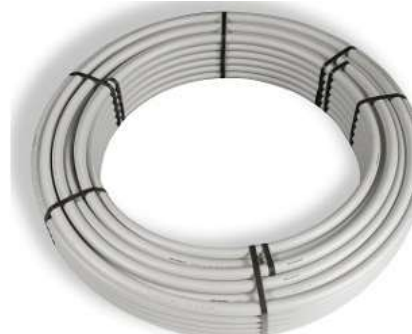
$\Delta p'_{sp}$ - pad tlaka po duljini spojne cijevi [Pa/m], [16]

Potrebno je povezati petlje vodoravnog kolektorskog polja na razdjelnik i sabirnik. Odabran je „RAUGEO razdjelni šaht“ proizvođača Rehau. Izrađen je od polietilena dimenzija 1000 x 800 x 1150 mm (duljina x širina x visina) i ima priključke za 8 petlji.



Slika 14. „RAUGEO razdjelni šaht“ [17]

Preko vodoravno položenog kolektorskog polja koristi se toplinska energija tla na dubini od 1,5 m, područje bez opasnosti od smrzavanja. Odabrani su „RAUGEO collect PE-Xa“ površinski kolektori dimenzija $\Phi 32 \times 2,9$ mm. Isporučuju se u kolutu. Program isporuke obuhvaća i ostale neophodne komponente kao što su pomoćna sredstva za polaganje, priključni vodovi i dr. Spojne cijevi su dimenzija $\Phi 50 \times 4,6$ mm.



Slika 15. „RAUGEO collect PE-Xa“ površinski kolektori [17]

6. DIMENZIONIRANJE SPREMNIKA PTV-a I SOLARNIH KOLEKTORA

Potreban toplinski tok za zagrijavanje PTV-a [18]:

$$\Phi = V_w \cdot \rho_w \cdot c_w \cdot (\theta_{tw} - \theta_{hw}) \cdot n \cdot \varphi \quad [\text{W}] \quad (31)$$

$$\Phi = \frac{200 \cdot 10^{-3}}{3600} \cdot 1000 \cdot 4,2 \cdot (45 - 10) \cdot 6 \cdot 0,56 = 27,44 \quad [\text{kW}] \quad (32)$$

gdje su:

V_w - volumen vode najvećeg trošila (kada 200 l) [l]

ρ_w - gustoća vode [kg/m^3]

c_w - specifični toplinski kapacitet vode [kJ/kgK]

θ_{tw} - temperatuta tople vode [$^\circ\text{C}$]

θ_{hw} - temperatuta hladne vode [$^\circ\text{C}$]

n - broj stanova [-]

φ - faktor istovremenosti [-]

Potreban kapacitet izvora topline (dizalice topline):

$$\Phi_{DT} = \frac{\Phi \cdot Z_b}{Z_a \cdot Z_b} = \frac{27,44 \cdot 2}{2 + 2} = 13,72 \quad [\text{kW}] \quad (33)$$

gdje su:

Z_b - broj sati potrošnje [h]

Z_a - broj sati zagrijavanja [h]

Toplinska energija akumulirana u spremniku:

$$Q_{spr} = Z_a \cdot \Phi_{DT} = 2 \cdot 13,72 = 27,44 \quad [\text{kWh}] \quad (34)$$

Minimalni potrebnii volumen spremnika:

$$V_{spr} = \frac{Q_{spr} \cdot b \cdot k}{\rho_w \cdot c_w \cdot (\theta_s - \theta_{hw})} = \frac{27,44 \cdot 3600 \cdot 1000 \cdot 1,1 \cdot 1,2}{1000 \cdot 4,2 \cdot (60 - 10)} = 620,92 \quad [\text{l}] \quad (35)$$

gdje su:

b - dodatak zbog „mrvog“ prostora ispod grijane površine spremnika [-]

k - dodatak zbog položenja kamenca u spremniku [-]

θ_s - temperatura tople vode u spremniku [°C]

Odobran je akumulacijski spremnik potrošne tople vode „Omega Plus 750“ proizvođača Evinox Energy. Ima dvije izmjenjivačke površine. Donja izmjenjivačka površina je za solarni sustav. Gornja izmjenjivačka površina je za dogrijavanje primarnim izvorom topline iz sustava grijanja za slučaj kada solarni sustav nije dovoljan za zagrijavanje PTV-a. Za slučaj grijanja PTV-a sa dizalicom topline predviđen je i električni grijач za dogrijavanje na konačnu temperaturu. Tehničke karakteristike spremnika dane su u tablici 16.



Slika 16. Spremnik za PTV „Omega Plus 750“ [19]

Veličina	Mjerna jedinica	Vrijednost
Volumen spremnika	l	750
Visina spremnika	mm	2075
Promjer spremnika	mm	950
Maksimalni radni tlak	bar	10
Gornji izmjenjivač		
Volumen vode	l	21
Površina	m ²	5,26
Pad tlaka pri naziv. protoku	mbar	88,25
Donji izmjenjivač (solarni)		
Volumen vode	l	14,5
Površina	m ²	2,2
Pad tlaka pri naziv. protoku	mbar	34,3

Tablica 16. Tehničke karakteristike spremnika za PTV „Omega Plus 750“

Odabran je pločasti kolektor „auroTHERM VFK 145 V“ proizvođača Vaillant. Tehničke karakteristike dane su u tablici 17.

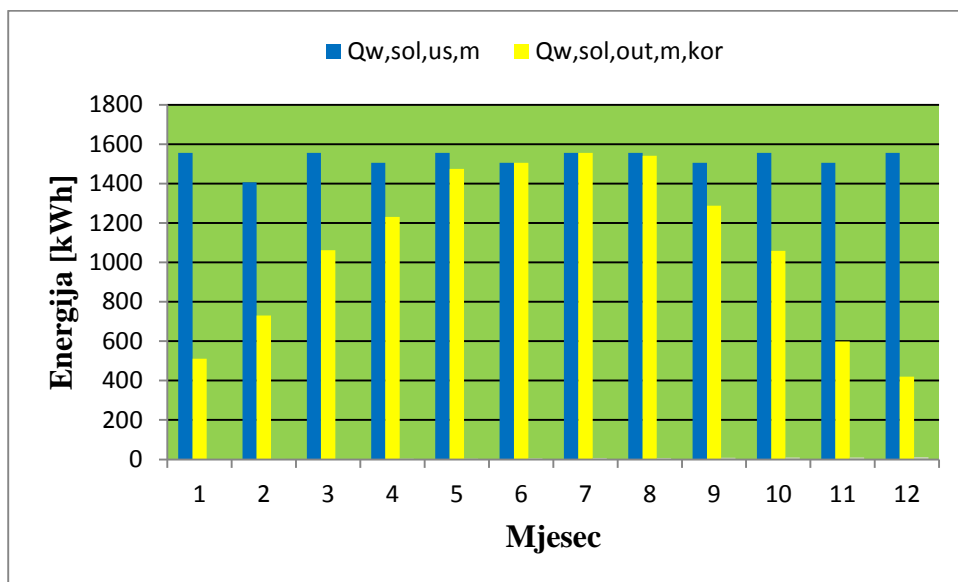


Slika 17. Pločasti kolektor „auroTHERM VFK 145 V“ [13]

Veličina	Mjerna jedinica	Vrijednost
Površina (bruto, neto)	m ²	2,51/2,35
Sadržaj apsorbera	l	1,85
Bakreni cijevni priključak	mm	16
Debljina izolacije	mm	40
Maksimalni radni tlak	bar	10
Apsorpcija apsorbera	%	95
Emisija apsorbera	%	5
Uvodnica solarnoga osjetnika	mm	6
Stagnacijska temperatura	°C	171
Dimenzije kolektora		
Visina	mm	2033
Širina	mm	1233
Dubina	mm	80
Težina	kg	38

Tablica 17. Tehničke karakteristike pločastog kolektora „auroTHERM VFK 145 V“

Potrebna površina kolektorskog polja sa kojom želimo dobiti određenu solarnu pokrivenost određuje se prema normi HRN EN 15316-4-3. Norma je preuzeta iz „Algoritam za određivanje energijskih zahtjeva i učinkovitosti termotehničkih sustava u zgradama - Sustavi grijanja prostora i pripreme potrošne tople vode“ [20]. Proračun je proveden u programu MS Excel prema klimatskim podacima za grad Split i ostalim podacima definiranim u normi. Odabran je cjelogodišnji nagib kolektora od 22° prema jugozapadu. Cilj je pokrivanje cjelokupne potrošnje u ljetnim mjesecima, a u ostalim mjesecima će solarni sustav raditi uz potporu dodatnog izvora topline.



Slika 18. Prikaz potrebne i isporučene sunčeve energije po mjesecima

Prema rezultatima proračuna 8 kolektora ukupne površine $18,8 \text{ m}^2$ su dovoljna za pokrivanje potrebne toplinske energije za pripremu PTV-a od lipnja do kolovoza. Potrebna godišnja toplinska energija za pripremu PTV-a iznosi $18.322,24 \text{ kWh}$, a solarnim sustavom je moguće prikupiti godišnje $12.975,15 \text{ kWh}$. Solarni sustav pokriva 71% godišnje potrebne toplinske energije za zagrijavanje potrošne tople vode. Godišnja potrošnja energije za pogon pumpe kruga kolektora iznosi $125,2 \text{ kWh}$. Detaljan proračun proveden u MS Excelu dan je u tablici 18.

mjesec	-	1	2	3	4	5	6	7	8	9	10	11	12
broj dana	dan	31	28	31	30	31	30	31	31	30	31	30	31
broj sati t_m	h	744	672	744	720	744	720	744	744	720	744	720	744
$\vartheta_{e,m,avg}$	°C	7,6	8,2	10,5	13,9	18,7	22,5	25,4	24,9	21,4	16,9	12,3	8,9
$Q_{w,sol,out,m}$	kWh	1556,1	1405,5	1556,1	1505,9	1556,1	1505,9	1556,1	1505,9	1556,1	1505,9	1556,1	1556,1
ϑ_{ref}	°C	87,368	86,576	83,54	79,052	72,716	67,7	63,872	64,532	69,152	75,092	81,164	85,652
ΔT	K	79,768	78,376	73,04	65,152	54,016	45,2	38,472	39,632	47,752	58,192	68,864	76,752
X	-	3,0998	3,0457	2,8383	2,5318	2,0990	1,7564	1,4950	1,5401	1,8556	2,2613	2,6760	2,9826
I_m	W/m ²	94,15	137,2	177,3	213,5	250,6	280,44	284,74	254,69	213,24	167,76	104	80,6
Y	-	0,5727	0,8346	1,0785	1,2987	1,5244	1,7060	1,7321	1,5493	1,2972	1,0205	0,6326	0,4903
$Q_{w,sol,out,m}$	kWh	511,71	730,03	1061,0	1230,7	1473,6	1567,0	1658,6	1541,0	1287,6	1058,2	598,37	420,64
p	-	0,3288	0,5193	0,6818	0,8172	0,9469	1,0405	1,0658	0,9902	0,8550	0,6800	0,3973	0,2703
p_{hor}	-	0,3288	0,5193	0,6818	0,8172	0,9469	1	1	0,9902	0,8550	0,6800	0,3973	0,2703
$Q_{w,sol,out,m,kor}$	kWh	511,71	730,03	1061,0	1230,7	1473,6	1505,9	1556,1	1541,0	1287,6	1058,2	598,37	420,64
$E_{sol,in,m}$	kWh/m ²	70,04	92,19	131,9	153,69	186,41	201,95	211,81	189,46	153,54	124,82	74,86	59,97
$t_{aux,m}$	h	84,864	111,70	159,81	186,21	225,86	244,69	256,63	229,55	186,03	151,23	90,704	72,662
$W_{col,out,m}$	kWh	5,3124	6,9925	10,004	11,657	14,139	15,317	16,065	14,370	11,645	9,4675	5,6780	4,5486

Tablica 18. Proračun potrebine površine solarnih kolektora prema HRN EN 15316-4-3

Potrošna topla voda se zagrijava sa tri podsustava za proizvodnju toplinske energije. To su solarni kolektori, dizalica topline i električni grijач te sva tri podsustava koriste električnu energiju. Solarni sustav pokriva 71 % ukupne toplinske energije za pripremu potrošne tople vode što je višestruko više u odnosu na dizalicu topline i električni grijач, a potroši najmanje električne energije. Usporedba potrošnje električne energije sva tri podsustava dana je u tablici 19.

Veličina	Mj. jedinica	Solarni kolektori	Dizalica topline	El. grijач	Ukupno
Toplina	kWh/a	12975,1	3742,9	1604,1	18322,2
Pokrivenost	-	0,71	0,2	0,09	1
El. energija	kWh/a	125,2	1290,6	1604,1	3019,9
Udio u el. en.	-	0,04	0,43	0,53	1

Tablica 19. Usporedba potrošnje električne energije svih podsustava za pripremu PTV-a

7. DIMENZIONIRANJE I ODABIR KOMPONENTA SUSTAVA

7.1. Odabir međuspremnika

Međuspremnik topline u sustavu grijanja i pripreme potrošne tople vode s dizalicom topline služi za poboljšavanje pogonskih uvjeta, odnosno za smanjivanje učestalosti uključivanja dizalice topline, pokrivanje vršne potrošnje i opskrbu toplinom u vrijeme kada dizalica topline zbog raznih razloga ne radi. Prema uputama proizvođača volumen spremnika treba iznositi 20 - 30 l/kW toplinskog učina dizalice topline [14]. Odabran je međuspremnik „VPS 500“ proizvođača Vaillant. Tehničke karakteristike odabranog međuspremnika dane su u tablici 20.



Slika 19. Međuspremnik „VPS 500“ [13]

Veličina	Mj. jedinica	Vrijednost
Visina	mm	1950
Širina bez izolacije	mm	600
Širina sa izolacijom	mm	780
Dodatni prostor potreban za vrijeme postavljanja	mm	2040
Težina praznog spremnika bez izolacije	kg	61
Težina napunjeno spremnika sa izolacijom	kg	576
Zapremina spremnika	l	500
Dopušteni radni tlak	bar	3
Dopuštena maksimalna temperatura	°C	95
Priključci za grijanje	-	8 x R 11/2"
Odzračivanje	-	1 x R 11/2" gore
Temperaturni osjetnici	-	3 x R 3/4", 1 x R 1/2"

Tablica 20. Tehničke karakteristike međuspremnika „VPS 500“

7.2. Dimenzioniranje cijevnog razvoda primarnog kruga grijanja

Primarni krug se sastoji od cjevovoda koji povezuje dizalicu toline sa spremnikom za potrošnu topalu vodu i međuspremnikom, a kritična dionica je ona koja povezuje dizalicu topline sa spremnikom potrošne tople vode. Ukupni pad tlaka primarnog kruga je 1728,6 Pa. Pupma dizalice topline sa visinom dobave od 31300 Pa može savladati ukupni pad tlaka primarnog kruga. U tablici 21. je prikazan detaljan proračun.

Dionica	L	Q_{inst}	mc_p	q_m	DN	w	R	$R \cdot L$	$\Sigma \zeta$	Z	$R \cdot L + Z$
-	m	W	W/ $^{\circ}$ C	kg/s	mm	m/s	Pa/m	Pa	-	Pa	Pa
1	0,32	16200	3220	0,76	32	0,8	200	64	2,5	800	864
2	1,84	5156,8	1011,3	0,24	25	0,44	100	184	7	677,6	861,6

Tablica 21. Pad tlaka primarnog kruga grijanja

7.3. Dimenzioniranje cijevnog razvoda sekundarnog kruga grijanja

Ukupni pad tlaka kritične dionice je zbroj pada tlaka kritičnog kruga grijanja (krug 6,2pa), pada tlaka na razdjelniku te pada tlaka kroz cjevovod od međuspremnika do kritičnog kruga grijanja.

Dionica	L	Q_{inst}	mc_p	q_m	DN	w	R	$R \cdot L$	$\Sigma \zeta$	Z	$R \cdot L + Z$
-	m	W	W/ $^{\circ}$ C	kg/s	mm	m/s	Pa/m	Pa	-	Pa	Pa
1	17,67	5521,6	1104,3	0,26	25	0,5	120	2120	3	375	2495
2	2,9	3677,5	735,5	0,17	25	0,32	55	159,5	2	102	261,5
3	2,85	1833,5	366,7	0,09	20	0,26	50	142,5	1	33,8	176,3

Tablica 22. Pad tlaka kroz cjevovod sekundarnog kruga grijanja

Ukupni pad tlaka sekundarnog kruga grijanja iznosi 20.606,1 Pa. Odabrana je pumpa „ALPHA2 25-60“ proizvođača Grundfos. Odabrane su čelične bešavne cijevi DN 32 ($\Phi 42,4 \times 3,2$), DN 25 ($\Phi 33,7 \times 3,25$) i DN 20 ($\Phi 26,9 \times 2,6$) tvrtke Fabema Metali.



Slika 20. Pumpa „ALPHA2 25-60“ [21]

7.4. Odabir recirkulacijske pumpe PTV-a

Proračun je proveden prema „Grejanje i klimatizacija“ [22]:

Volumenski protok vode recirkulacijske pumpe:

$$V_p = \frac{Q_w}{2,4} = \frac{l_{w,k} \cdot q_{w,k} + l_{w,s} \cdot q_{w,s}}{2,4} = \frac{14,3 \cdot 11 + 29,4 \cdot 7}{2,4} = 151,3 \text{ [l/h]} \quad (36)$$

gdje su:

- $l_{w,k}$ - dužina svih vodova tople vode u podrumu [m]
- $q_{w,k}$ - toplinski gubici vodova tople vode smještenih u podrumu [W/m]
- $l_{w,s}$ - dužina svih vertikalnih vodova tople vode [m]
- $q_{w,s}$ - toplinski gubici vertikalnih vodova tople vode [W/m]
- Q_w - toplinski gubici svih vodova [W]

Odabran je promjer voda za recirkulaciju od 15 mm. Brzina strujanja vode je 0,22 m/s.

Pad tlaka:

$$\Delta p_p = 1,3 \cdot (\sum l \cdot R) + \Delta p_{RV} + \Delta p_{TH} \text{ [Pa]} \quad (37)$$

$$\Delta p_p = 1,3 \cdot (8,94 \cdot 50 + 29,8 \cdot 15) + 600 + 5000 = 6762,2 \text{ [Pa]} \quad (38)$$

gdje su:

- Δp_p - potrebna dobava recirkulacijske pumpe [Pa]
- $\Sigma l \cdot R$ - ukupni linijski pad tlaka cjevovoda [Pa]
- Δp_{RV} - pad tlaka u nepovratnom ventilu [Pa]
- Δp_{TH} - pad tlaka termostatskog ventila [Pa]

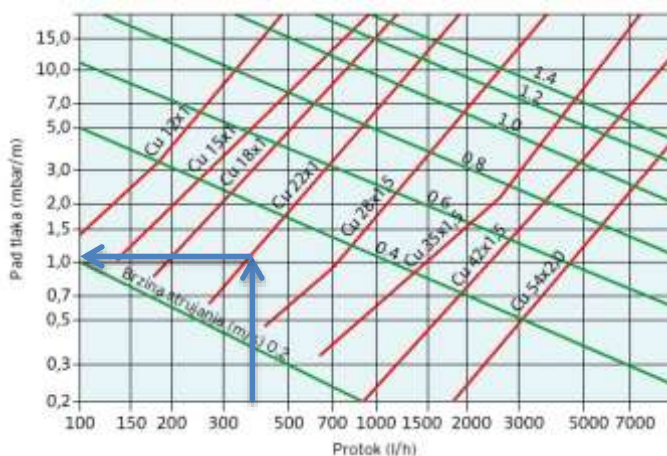
Odabrana je recirkulacijska pumpa sa vremenskim uključivanjem „UP 15-14 B (UT)“ proizvođača Grundfos.



Slika 21. Recirkulacijska pumpa „UP 15-14 B (UT)“ [23]

7.5. Dimenzioniranje cijevnog razvoda solarnog kruga

Kako bi se postigla optimalna predaja topline kolektora njima mora prostrujati minimalni volumenski protok po m^2 kolektorske površine. Ne smije se prekoračiti minimalni volumenski protok od $15 \text{ l/m}^2\text{h}$ kolektorske površine što se naziva low-flow načinom rada [13]. Pridržavajući se navedenog ograničenja za 8 pločastih kolektora ukupne površine $18,8 \text{ m}^2$ proizlazi ukupni protok od 400 l/h odnosno 50 l/h po kolektoru. Pad tlaka u bakrenim cijevima je očitan iz dijagrama na slici 22.



Slika 22. Pad tlaka u bakrenoj cijevi 60 % voda, 40 % glikol [13]

U dijagramu na slici 22 prikazan je primjer očitanja linijskog pada tlaka u bakrenoj cijevi Cu Φ22 x 1 koji iznosi $1,1 \text{ mbar/m}$.

Ostali podaci za proračun:

- ukupna duljina cjevovoda od spremnika do kolektora i nazad do spremnika ($L_{sk} = 51,5 \text{ m}$)
- brzina strujanja glikolne smjese ($w_{gl,s} = 0,27 \text{ m/s}$)
- faktor povećanja linijskih gubitaka cjevovoda zbog lokalnih gubitaka cjevovoda ($f = 1,5$)
- pad tlaka u jednom kolektoru ($\Delta p_{kol} = 25 \text{ mbar}$)
- pad tlaka u izmjenjivaču topline spremnika PTV-a ($\Delta p_{spr} = 34,3 \text{ mbar}$)

Potreban tlak dobave pumpe solarnog kruga je zbroj pada tlaka u cjevovodu, pada tlaka u kolektoru te pada tlaka u izmjenjivaču topline spremnika PTV-a:

$$\Delta p_{uk} = \Delta p_{cj} + \Delta p_{kol} + \Delta p_{spr} = 67,19 + 25 + 34,3 = 126,49 \text{ [mbar]} \quad (39)$$

Odabrana je dvocijevna solarna pumpna stanica „S2 Solar 3“ proizvođača Regulus.



Slika 23. Dvocijevna solarna pumpna stanica „S2 Solar 3“ [24]

Solarna stanica sadrži:

- cirkulacijsku pumpu Wilo ST 25/6 2-12 l/min, 3/4“ M
- manometar
- 2 termometra na polaznom i povratnom vodu
- ventile za punjenje i pražnjenje
- sigurnosni solarni ventil, 6 bar
- separator zraka
- zaporni ventil
- solarni nepovratni ventil
- mjerač protoka sa kontrolom protoka
- izlaz za priključak ekspanzijske posude

7.6. Dimenzioniranje ekspanzijske posude za sustav grijanja

Minimalni volumen zatvorene ekspanzijske posude određuje se jednadžbom [18]:

$$V_{n,min} = (V_e + V_V) \cdot \frac{p_e + 1}{p_e - p_0} = (2,05 + 3) \cdot \frac{2,5 + 1}{2,5 - 1,4} = 16,07 \quad [\text{l}] \quad (40)$$

gdje su:

V_e - volumen širenja vode izazvan povišenjem temperature vode od 10 °C do maksimalne temperature polaznog voda [l]

$$V_e = \frac{n \cdot V_A}{100} = \frac{0,72 \cdot 283,8}{100} = 2,05 \quad [\text{l}] \quad (41)$$

n - postotak širenja vode od 10 °C do 40 °C [%]

V_A - volumen vode u instalaciji [l]

V_V - dodatni volumen (zaliha) - oko 5 % volumena vode u instalaciji, min. 3 l [l]

p_e - projektni krajnji tlak (0,5 bar ispod tlaka sigurnosnog ventila) [bar]

p_0 - primarni tlak ekspanzijske posude (prilikom isporuke) [bar]

Odabrana je ekspanzijska posuda „LR 18“ volumena 18 l proizvođača Varem.



Slika 24. Ekspanzijska posuda kruga grijanja „LR 18“ [25]

7.7. Dimenzioniranje ekspanzijske posude za solarni sustav

Minimalni volumen zatvorene ekspanzijske posude određuje se jednadžbom [18]:

$$V_{n,min} = (\Delta V + V_D + V_V) \cdot \frac{p_e + 1}{p_e - p_0} = (5,1 + 14,8 + 2) \cdot \frac{5,5 + 1}{5,5 - 1,4} = 34,72 \text{ [l]} \quad (42)$$

gdje su:

ΔV - promjena volumena posrednog medija s promjenom temperature [l]

$$\Delta V = V_{SUS} \cdot \frac{n}{100} = 59,75 \cdot \frac{8,5}{100} = 5,1 \text{ [l]} \quad (43)$$

V_D - volumen preuzetog sadržaja pare iz kolektora, $V_D = V_{KOL}$ [l]

n - postotak širenja vode [%]

V_{SUS} - volumen posrednog medija u sustavu [l]

V_V - dodatna količina vode uslijed oscilacija tlaka u sustavu [l]

p_e - projektni krajnji tlak (0,5 bar ispod tlaka sigurnosnog ventila) [bar]

p_0 - primarni tlak [bar]

Odabrana je ekspanzijska posuda „LR S 40“ volumena 40 l proizvođača Varem



Slika 25. Ekspanzijska posuda solarnog kruga „LR S 40“ [25]

8. PREGLED ODABRANIH KOMPONENTA SUSTAVA

Podno grijanje, Uponor:

- sustav Tecto
- dimenzije cijevi: PE-Xa $\Phi 14 \times 2$ [mm]
- ukupno krugova: 36
- ukupna instalirana snaga: 10.074,2 [W]

Cijevni kupaonski grijači „MONDO BND“, Očenašek:

- dimenzije: širina x visina, 750x1850 [mm] (3 grijača), 750x1650 [mm] (3 grijača)
- ukupna instalirana snaga: 969 [W]
- elektro grijač „GT 600“ snage 600 [W] (2 elektro grijača)

Dizalica topline „geoTHERM VWS 171/2“, Vaillant:

- ogrijevni učin: 16,1 [kW]
- dovedena električna energija: 5,6 [kW]
- faktor grijanja: 2,9 [-]

Električni grijač „VWZ EA 6“, Vaillant:

- snaga: 6 [kW]

Površinski kolektori „RAUGEO collect PE-Xa“, Rehau:

- promjer cijevi: $\Phi 32 \times 2,9$ [mm]
- duljina cijevi: 720 [m]
- površina zemljišta za polaganje: 527,4 [m^2]
- dubina polaganja: 1,5 [m]

Spremnik za PTV „Omega Plus 750“, Evinox Energy:

- volumen spremnika: 750 [l]
- promjer spremnika: 950 [mm]
- visina spremnika: 2075 [mm]

Pločasti kolektor „auroTHERM VFK 145 V“, Vaillant:

- Površina (bruto/neto): 2,51/2,35 [m²]
- Dimenzije: 2033 x 1233 x 80 [mm], (visina x širina x dubina)

Međuspremnik „VPS 500“, Vaillant:

- volumen spremnika: 500 [l]
- visina: 1850 [mm]
- širina sa izolacijom: 780 [mm]

Cirkulacijska pumpa „ALPHA2 25-60“, Grundfos:

- potrebna električna energija: 45 [W]
- ugradbena duljina: 180 [mm]

Recirkulacijska pumpa „UP 15-14 B (UT)“, Grundfos:

- dimenzije: 80/205 [mm] (duljina/visina)
- potrebna električna energija: 25 [W]

Cirkulacijska pumpa „Wilo ST 25/6“, Wilo:

- dimenzije: 180/100 mm (duljina/visina)
- potrebna električna energija: 40 [W]

Ekspanzijska posuda „LR 18“, Varem:

- volumen posude: 18 [l]
- dimenzije: 270/415 [mm] (širina/visina)

Ekspanzijska posuda „LR S 40“, za solarni sustav, Varem:

- volumen posude: 40 [l]
- dimenzije: 320/580 [mm] (širina/visina)

9. TEHNIČKI OPIS SUSTAVA

9.1. Sustav grijanja

Projekt sustava grijanja za potrebe višestambene zgrade na području grada Supetra na otoku Braču je izведен prema zadanoj arhitektonskoj podlozi. Zgrada sadrži šest stanova i ukupne je tlocrtne površine $671,5 \text{ m}^2$. Ukupna površina grijanog prostora zgrade je $280,5 \text{ m}^2$. Sustav grijanja izведен je kao niskotemperaturni s dizalicom topline tlo-voda i s podnim grijanjem temperaturnog režima $35/30 \text{ }^\circ\text{C}$. Odabrana je dizalica topline „geoTHERM VWS 171/2“ proizvođača Vaillant koja ima ogrijevni učin od $16,1 \text{ kW}$ i faktor grijanja 2,9 pri temperaturi polaza $55 \text{ }^\circ\text{C}$ u primarnom krugu prema spremniku PTV-a i međuspremniku te pri temperaturnoj razlici od $5 \text{ }^\circ\text{C}$ između polaznog i povratnog voda. Dizalica topline sadrži cirkulacijsku pumpu za glikolnu smjesu (smjesa 70 % vode i 30 % propilen glikola) u vodoravnom kolektorskom polju i cirkulacijsku pumpu za vodu u primarnom krugu grijanja. Sadrži također kompenzaciju posudu od 6 litara, sigurnosni ventil, a radna tvar je zeotropska smjesa R407C. Ukupna površina vodoravnog kolektorskog polja iznosi $527,4 \text{ m}^2$ i sastoji se od 8 krugova PE cijevi dimenzija $\Phi 32 \times 2,9$ ukupne duljine 720 m i ukopanih u tlo na dubini 1,5 m. U sustavu grijanja nalazi se još i ekspanzijska posuda „LR 18“ volumena 18 litara proizvođača Varem te međuspremnik topline „VPS 500“ proizvođača Vaillant koji služi za poboljšavanje pogonskih uvjeta, odnosno za smanjivanje učestalosti uključivanja dizalice topline, pokrivanje vršne potrošnje i opskrbu toplinom u vrijeme kada dizalica topline zbog raznih razloga ne radi. Sekundarni krug grijanja se proteže od međuspremnika do krugova podnog grijanja. Podno grijanje je dimenzionirano prema dijagramima proizvođača Uponor i korišten je sustav Tecto. Ukupna instalirana snaga podnog grijanja je $10.074,2 \text{ W}$. U kupaonicama su zbog nedovoljnog toplinskog učina podnog grijanja postavljeni i cijevni kupaonski grijaci „MONDO BND“ proizvođača Očenašek povezani na razdjelниke i sabirnike podnog grijanja. Ukupna instalirana snaga sustava grijanja je stoga $11.043,2 \text{ W}$. Korišten je razdjelno sabirni set „FHF-7F“ proizvođača Danfoss koji ima priključke za sedam krugova grijanja. Smješteni su u zidne ormariće „UHF2“ proizvođača Uponor. Na temelju proračunatog pada tlaka kritične dionice sekundarnog kruga grijanja kao cirkulacijska pumpa sekundarnog kruga grijanja odabrana je pumpa „ALPHA2 25-60“ sa frekventnom regulacijom proizvođača Grundfos. Zbog hidrauličkog uravnoteženja sustava ugrađeni su na

vertikalama i prije svakog razdjelnika regulatori diferencijalnog tlaka „ASV-PV“ proizvođača Danfoss. Kod svakog stana odnosno prije svakog razdjelnika podnog grijanja ugrađena su mjerila toplinske energije odnosno ultrazvučni kalorimetri „SONOMETER 1100 HE“ proizvođača Danfoss. Njihov je zadatak mjerjenje potrošnje toplinske energije što čine mjerjenjem protoka vode i razlike temperaturne polaznog i povratnog voda.

9.2. Zagrijavanje potrošne tople vode

Za pripremu potrošne tople vode koristi se akumulacijski sustav sa bivalentnim spremnikom koji se zagrijava sa solarnim kolektorima, uz podršku dizalice topline i električnog grijачa. Solarni kolektori pokrivaju cijelokupnu potrebu za PTV-om samo tijekom ljetnih mjeseci. Nakon provedenog proračuna preko faktora istovremenosti odabran je akumulacijski bivalentni spremnik potrošne tople vode „Omega Plus 750“ volumena 750 litara proizvođača Evinox Energy. Ima dvije izmjenjivačke površine. Donja izmjenjivačka površina je za solarni sustav. Gornja izmjenjivačka površina je za dogrijavanje primarnim izvorom topline iz sustava grijanja za slučaj kada solarni sustav nije dovoljan za zagrijavanje PTV-a. U spremnik je ugrađen i električni grijач „VWZ EA 6“ proizvođača Vaillant snage 6 kW koji se koristi za dogrijavanje PTV-a na konačnu temperaturu od 60 °C. Kolektorsko polje se sastoji od osam paralelno spojenih pločastih kolektora „auroTHERM VFK 145 V“ proizvođača Vaillant. Kolektori su ukupne površine 18,8 m² te su postavljeni na krov pod nagibom 22° orijentirani prema jugozapadu. Solarni sustav pokriva 71 % ukupne potrebne toplinske energije za pripremu potrošne tople vode. Sustav radi sa prisilnom cirkulacijom preko cirkulacijske pumpe „ST 25/6“ proizvođača Wilo koja se nalazi u dvocijevnoj solarnoj stanici „S2 Solar 3“ proizvođača Regulus. Za solarni krug je odabrana ekspanzijska posuda „LR S 40“ volumena 40 litara proizvođača Varem. Razvodni cjevovod tople vode je stalno ispunjen toplom vodom sve do trošila PTV-a i ako kroz neko vrijeme nema potrošnje vode dolazi do pada temperature. Zbog toga je ugrađen recirkulacijski vod sa recirkulacijskom pumpom „UP 15-14 B (UT)“ proizvođača Grundfos. Na taj način se omogućuje miješanje ohlađene vode u cijevima sa toplom vodom iz spremnika PTV-a te se tako održava stalna temperatura vode na izljevnom mjestu.

9.3. Regulacija sustava

Za regulaciju primarnog kruga grijanja koristi se „Energetski bilancni atmosferski regulator“ proizvođača Vaillant koji je sadržan u opremi koja se isporučuje sa dizalicom topline. Upravlja sa svim komponentama primarnog kruga grijanja, a glavni su mu zadaci regulacija temperature polaznog voda i održavanje potrebne temperature PTV-a. Na regulator su priključene pumpa primarnog kruga grijanja, pumpa sekundarnog kruga grijanja, pumpa vodoravnog kolektorskog polja i recirkulacijska pumpa. Preko troputnog razdjelnog ventila regulator usmjerava vodu prema međuspremniku ili spremniku PTV-a ukoliko osjetnici (osjetnik temperature spremnika PTV-a „SP“, osjetnik temperature međuspremnika „VF 1“ i osjetnik temperature povratnog voda „RF 1“) pokazuju manju temperaturu u odnosu na postavljenu vrijednost. Regulacija temperature polaznog voda se vrši u ovisnosti o vanjskoj temperaturi koju pokazuje osjetnik vanjske temperature smješten izvan zgrade. Ukoliko dolazi do snižavanja vanjske temperature regulator podiže temperaturu polaznog voda prema međuspremniku do maksimalnih 55 °C, a u slučaju porasta vanjske temperature snižava temperaturu polaznog voda. Preko troputnog miješajućeg ventila smještenog iza međuspremnika „VRM“ regulator također regulira i temperaturu polaznog voda prema sekundarnom krugu grijanja. Ta temperatura polaza se prati preko osjetnika temperature polaznog voda „VF 2“. Uz osjetnik temperature polaznog voda smješten je i graničnik maksimalne temperature polaza koji sprječava prekoračenje maksimalne temperature polaza prema razdjelicima od 35 °C.

Kao sustav regulacije sekundarnog kruga grijanja koristi se „Danfoss link“ proizvođača Danfoss te se regulacija vrši promjenom protoka kroz krugove podnog grijanja. Željena temperatura prostorije se podešava na sobnom termostatu „Danfoss link RS“ koji bežično komunicira sa centralnom kontrolnom jedinicom „Danfoss link CC“. U petlje podnog grijanja kod priključka na sabirnik, smješteni su zonski ventilii „RA“ sa elektrotermičkim pogonom „TWA-A/NC“ koji su žično povezani sa regulacijskom jedinicom „Danfoss link HC“ koja također bežično komunicira sa „Danfoss link CC“. Centralna kontrolna jedinica „Danfoss link CC“ bežično šalje signal prema regulacijskoj jedinici „Danfoss link HC“ koja otvara ili zatvara zonske ventile pojedinih krugova za tu prostoriju preko pogona ventila „TWA-A/NC“. Centralne kontrolne jedinice „Danfoss link CC“ su povezane sa dizalicom topline.

Kao sustav regulacije solarnog kruga koristi se solarni regulator „auroMATIC 560“ proizvođača Vaillant. Solarni regulator upravlja pumpom solarnog kruga. Ima osjetnik temperature kolektora, osjetnik temperature spremnika PTV-a i osjetnik temperature polaza prema kolektoru. U ovisnosti o razlici temperature na izlazu iz kolektora i temperature spremnika PTV-a regulator uključuje ili isključuje pumpu solarnog kruga.

10. ZAKLJUČAK

Budući da je u okviru ovoga rada trebalo koristiti niskotemperaturni sustav s dizalicom topline tlo-voda i sa podnim grijanjem temperaturnog režima 35/30 °C, vrijednosti koeficijenata prolaza topline građevnih elemenata su pretpostavljene kako bi omogućile primjenu takvog sustava grijanja. S obzirom da je stambena zgrada smještena na području grada Supetra na otoku Braču koji ima blagu mediteransku klimu, godišnja potrebna toplinska energija za grijanje po jednici korisne površine zgrade iznosi $20,55 \text{ kWh/m}^2\text{a}$ što prema važećem pravilniku o energetskim pregledima građevina i energetskom certificiraju zgradu ovu stambenu zgradu svrstava u energetski razred A. Sustavi grijanja i pripreme potrošne tople vode sa dizalicama topline i solarnim kolektorima (obnovljivi izvori energije) donose mnoge prednosti u odnosu na klasične sustave grijanja i pripreme potrošne tople vode. Neke od prednosti su: veća toplinska ugodnost, smanjena potrošnja energenata, relativno brzi povrat investicije, smanjenje emisije stakleničkih plinova itd. Razlog zašto se ovakvi sustavi zasada toliko često ne koriste su visoki investicijski troškovi.

LITERATURA

- [1] Harreither, <http://www.harreither.com/hr/ugodnost/ugodnost/> - svibanj 2015.
- [2] Skupina autora: Priručnik za grijanje, Energetika marketing, Zagreb, 2005.
- [3] Audax, <http://www.audax.com.au/house-loses-energy/> - svibanj 2015.
- [4] HRN EN 12831
- [5] DIY Explore, <http://www.diyexplore.com/heating/basic-information-for-potential-buyers-of-a-central-heating-system> - lipanj 2015.
- [6] Energetske zadruge, <http://www.energetskezadruge.hr/novost/daljinsko-oblasno-grijanje-u-danskoj/225> - lipanj 2015.
- [7] Herz, http://herzmediaserver.com/data/_www/hrv/katalozi/commotherm_lw-a_deutsch_1seiter_%28d02-2009%29_v1.0.pdf - lipanj 2015.
- [8] Bošnjaković M.: Predavanje - Energija sunčevog zračenja za grijanje i pripremu tople vode, Slavonski Brod
- [9] Soldo V., Novak S.: Algoritam za proračun potrebne energije za grijanje i hlađenje prostora zgrade prema HRN EN ISO 13790, Zagreb
- [10] Uponor, Tehničke smjernice - Grijanje i hlađenje u objektu, 2009.
- [11] Danfoss, Katalog grijanja
- [12] Termometal, <http://www.termometal.hr/proizvodi/kupaonski-radijatori/kupaonski-radijatori-mondo/> - srpanj 2015.
- [13] Vaillant, Projektantske podloge
- [14] Skupina autora : Osnove primjene dizalice topline, Energetika marketing, Zagreb, 2009.
- [15] M. Conde Engineering, <http://www.mrc-eng.com/Downloads/Brine%20Properties.pdf> - kolovoz 2015.
- [16] Rehau, <http://www.rehau.com/download/1044796/raugeo-tehnicka-informacija.pdf> - kolovoz 2015.

- [17] Rehau, [http://www.evinoxenergy.co.uk/Evinox-Central-Plant-Energy-Centers/Indirect-Calorifiers-and-Storage-Tanks/Omega-Twin-Coil-Tanks](http://www.rehau.com/hr-hr/gradnja/obnovljivi-izvori-energije/geotermija - srpanj, 2015.</p><p>[18] Balen I.: kolegij „Grijanje“ - predavanja i vježbe, Fakultet strojarstva i brodogradnje, Zagreb</p><p>[19] Evinox Energy, <a href=) - svibanj 2015.
- [20] Dović D., Soldo V., Švaić S.: Algoritam za određivanje energijskih zahtjeva i učinkovitosti termotehničkih sustava u zgradama - Sustavi grijanja prostora i pripreme potrošne tople vode, Zagreb
- [21] Grundfos, <http://hr.grundfos.com/products/find-product.html> - kolovoz 2015.
- [22] Rechnagel, Sprenger, Schramek, Čeperković: Grejanje i klimatizacija, Interklima, 2012.
- [23] Termometal, <http://www.termometal.hr/proizvodi/centralno-grijanje/grundfos-pumpe-za-centralno-grijanje/grundfos-cirkulacijska-pumpa-za-sanitarnu-vodu-bu-15-14/1663/> - kolovoz 2015.
- [24] Regulus, [http://www.tehno-dom.hr/solarni-pribor-i-oprema/vmj_hunk/156-s2-dvocijevna-solarna-pumpna-stanica?sef=hcfp](http://www.tehno-dom.hr/solarni-pribor-i-oprema/detail/31-solarni-pribor-i-oprema/vmj_hunk/156-s2-dvocijevna-solarna-pumpna-stanica?sef=hcfp) - kolovoz 2015.
- [25] Varem, <http://www.varem.com//pg.asp?cd=999&mnpa=0/745/768&lk=745&titolo= - kolovoz 2015.>

PRILOZI

Prilog 1 - Proračun toplinskih gubitaka prema HRN EN 12831

Prilog 2 - Crteži

Prilog 3 - CD-R disc

Prilog 1 - Proračun toplinskih gubitaka prema HRN EN 12831

Prizemlje/Stan 1								
Prostorija: ulazni prostor					$\vartheta_{int,i} = 20 \text{ } ^\circ\text{C}$		$\vartheta_e = -4 \text{ } ^\circ\text{C}$	
Transmisijski gubici prema vanjskom okolišu								
Oznaka	građe. element	str. sv.	dužina	šir./vi.	A_k	U_k	e_k	$A_k \cdot U_k \cdot e_k$
-	-	-	m	m	m^2	$\text{W}/\text{m}^2\text{K}$	-	W/K
-	-	-	-	-	-	-	-	-
-	-	-	-	-	-	-	-	-
-	-	-	-	-	-	-	-	-
-	-	-	-	-	-	-	-	-
-	-	-	-	-	-	-	-	-
-	-	-	-	-	-	-	-	-
Suma svih elemenata		$\sum A_k \cdot U_k \cdot e_k$				W/K	-	
Oznaka	toplinski most prema vanj. okolišu			str. sv.	duž. l_k	Ψ_k	e_k	$l_k \cdot \Psi_k \cdot e_k$
-	-			-	m	W/mK	-	W/K
-	-			-	-	-	-	-
-	-			-	-	-	-	-
-	-			-	-	-	-	-
-	-			-	-	-	-	-
-	-			-	-	-	-	-
-	-			-	-	-	-	-
-	-			-	-	-	-	-
Suma toplinskih mostova		$\sum l_k \cdot \Psi_k \cdot e_k$				W/K	-	
Ukupni koef. gubitaka prema vanj. okolišu				$H_{T,ie} = \sum A_k \cdot U_k \cdot e_k + \sum l_k \cdot \Psi_k \cdot e_k$				-
Transmisijski gubici kroz negrijane prostore prema vanjskom okolišu								
Oznaka	građe. element	str. sv.	dužina	šir./vi.	A_k	U_k	b_u	$A_k \cdot U_k \cdot b_u$
-	-	-	m	m	m^2	$\text{W}/\text{m}^2\text{K}$	-	W/K
ZS	zid prema stub.	JI	1,5	2,9	4,35	0,35	0,4	0,609
ZS	zid prema stub.	SI	2,75	2,9	5,875	0,35	0,4	0,8225
MK	međukonstruk.	HOR.	5,91	1	5,91	0,25	0,8	1,182
VV	vanjska vrata	SI	1	2,1	2,1	1	0,4	0,84
-	-	-	-	-	-	-	-	-
-	-	-	-	-	-	-	-	-
Suma svih elemenata		$\sum A_k \cdot U_k \cdot b_u$				W/K	3,4535	
Oznaka	toplinski most prema vanj. okolišu			str. sv.	duž. l_k	Ψ_k	b_u	$l_k \cdot \Psi_k \cdot b_u$
-	-			-	m	W/mK	-	W/K
-	-			-	-	-	-	-
-	-			-	-	-	-	-
-	-			-	-	-	-	-
Suma toplinskih mostova		$\sum l_k \cdot \Psi_k \cdot b_u$				W/K	0	
Uk. koef. gub. kroz negrij. pro. prema v. ok.				$H_{T,iue} = \sum A_k \cdot U_k \cdot b_u + \sum l_k \cdot \Psi_k \cdot b_u$				3,4535

Transmisijski gubici kroz prostore grijane na različitu temperaturu											
Oznaka	građe. element	str. sv.	dužina	šir./vi.	A_k	U_k	f_{ij}	$A_k \cdot U_k \cdot f_{ij}$			
-	-	-	m	m	m^2	$W/m^2 K$	-	W/K			
UZT	unut. tanki zid	JZ	1,85	2,9	3,895	1	-0,166	-0,6492			
UV	unutarnja vrata	JZ	0,7	2,1	1,47	1,2	-0,166	-0,294			
-	-	-	-	-	-	-	-	-			
-	-	-	-	-	-	-	-	-			
-	-	-	-	-	-	-	-	-			
Ukupni koef. gubitaka kroz prostore grijane na različitu tem.							$H_{T,ij} = \sum A_k \cdot U_k \cdot f_{ij}$	-0,9432			
UKUPNI TRANSMISIJSKI GUBICI TOPLINE							$\Phi_{T,i} = (H_{T,ie} + H_{T,iue} + H_{T,ij}) \cdot (\vartheta_{int,i} - \vartheta_e)$	W			
								60,248 W			
Ventilacijski toplinski gubici											
Bez ventilacijskog sustava											
Minimalni higijenski protok zraka							$V_{min,i} = V_{int} \cdot n_{min}$	m^3/h			
V_{int} , m ³	n_{min} , h ⁻¹	$V_{min,i}$, m ³ /h									
16	0,5	8									
Maks. protok zraka u prostoriju uslijed infiltracije kroz zazore		$V_{inf,i} = 2 \cdot V_{int} \cdot n_{50} \cdot e_i \cdot \varepsilon_i$									
V_{int} , m ³	n_{50} , h ⁻¹	e_i		ε_i		$V_{inf,i}$, m ³ /h					
16	3	0,03		1		2,88					
$V_i = \max(V_{inf,i}, V_{min,i})$											
V_i , m ³ /s	ρ_{zr} , kg/m ³	$c_{p,zr}$, J/kgK	$H_{V,i}$, W/K								
0,00222	1,2	1010	2,69331								
UKUPNI VENTILACIJSKI TOPLINSKI GUBICI		$\Phi_{V,i} = H_{V,i} \cdot (\vartheta_{int,i} - \vartheta_e)$									
								64,6394 W			
TOPLINA ZA ZAGRIJAVANJE ZBOG PREKIDA GRIJANJA		$\Phi_{RH,i} = A_i \cdot f_{RH}$									
A_i , m ²	f_{RH} , W/m ²	$\Phi_{RH,i}$, W									
7,15	6	42,9 W									
TOPLINSKO OPTEREĆENJE PROSTORIJE		$\Phi_{HL,i} = \Phi_{T,i} + \Phi_{V,i} + \Phi_{RH,i}$									
								167,787 W			

Prizemlje/Stan 1													
Prostorija: dnevni boravak i kuhinja					$\vartheta_{int,i} = 20 \text{ } ^\circ\text{C}$		$\vartheta_e = -4 \text{ } ^\circ\text{C}$						
Transmisijski gubici prema vanjskom okolišu													
Oznaka	građe. element	str. sv.	dužina	šir./vi.	A_k	U_k	e_k	$A_k \cdot U_k \cdot e_k$					
-	-	-	m	m	m^2	$\text{W}/\text{m}^2\text{K}$	-	W/K					
VZ	vanjski zid	JZ	2	2,9	4,84	0,25	1	1,21					
VZ	vanjski zid	SZ	1,025	2,9	2,972	0,25	1	0,743					
VZ	vanjski zid	JZ	2,675	2,9	7,757	0,25	1	1,93925					
VZ	vanjski zid	SZ	4,5	2,9	10,11	0,25	1	2,5275					
VBV	velika balk. vr.	SZ	1,4	2,1	2,94	0,9	1	2,646					
PR	prozor	JZ	0,8	1,2	0,96	0,9	1	0,864					
Suma svih elemenata					$\sum A_k \cdot U_k \cdot e_k$	W/K	9,92975						
Oznaka	toplinski most prema vanj. okolišu			str. sv.	duž. l_k	Ψ_k	e_k	$l_k \cdot \Psi_k \cdot e_k$					
-	-			-	m	W/mK	-	W/K					
-	-			-	-	-	-	-					
-	-			-	-	-	-	-					
-	-			-	-	-	-	-					
-	-			-	-	-	-	-					
-	-			-	-	-	-	-					
-	-			-	-	-	-	-					
-	-			-	-	-	-	-					
Suma toplinskih mostova					$\sum l_k \cdot \Psi_k \cdot e_k$	W/K	0						
Ukupni koef. gubitaka prema vanj. okolišu					$H_{T,ie} = \sum A_k \cdot U_k \cdot e_k + \sum l_k \cdot \Psi_k \cdot e_k$	9,92975							
Transmisijski gubici kroz negrijane prostore prema vanjskom okolišu													
Oznaka	građe. element	str. sv.	dužina	šir./vi.	A_k	U_k	b_u	$A_k \cdot U_k \cdot b_u$					
-	-	-	m	m	m^2	$\text{W}/\text{m}^2\text{K}$	-	W/K					
MK	međukonstruk.	HOR.	18,54	1	18,54	0,25	0,8	3,708					
-	-	-	-	-	-	-	-	-					
-	-	-	-	-	-	-	-	-					
-	-	-	-	-	-	-	-	-					
-	-	-	-	-	-	-	-	-					
-	-	-	-	-	-	-	-	-					
Suma svih elemenata					$\sum A_k \cdot U_k \cdot b_u$	W/K	3,708						
Oznaka	toplinski most prema vanj. okolišu			str. sv.	duž. l_k	Ψ_k	b_u	$l_k \cdot \Psi_k \cdot b_u$					
-	-			-	m	W/mK	-	W/K					
-	-			-	-	-	-	-					
-	-			-	-	-	-	-					
-	-			-	-	-	-	-					
Suma toplinskih mostova					$\sum l_k \cdot \Psi_k \cdot b_u$	W/K	0						
Uk. koef. gub. kroz negrij. pro. prema v. ok.					$H_{T,iue} = \sum A_k \cdot U_k \cdot b_u + \sum l_k \cdot \Psi_k \cdot b_u$	3,708							

Transmisijski gubici kroz prostore grijane na različitu temperaturu							f_{ij}	$A_k \cdot U_k \cdot f_{ij}$
Oznaka	građe. element	str. sv.	dužina	šir./vi.	A_k	U_k		
-	-	-	m	m	m^2	$W/m^2 K$	-	W/K
UZD	unut. zid debeli	JI	2,55	2,9	7,395	0,7	-0,166	-0,8628
-	-	-	-	-	-	-	-	-
-	-	-	-	-	-	-	-	-
-	-	-	-	-	-	-	-	-
-	-	-	-	-	-	-	-	-
Ukupni koef. gubitaka kroz prostore grijane na različitu tem.							$H_{T,ij} = \sum A_k \cdot U_k \cdot f_{ij}$	-0,8628
UKUPNI TRANSMISIJSKI GUBICI TOPLINE							$\Phi_{T,i} = (H_{T,ie} + H_{T,iue} + H_{T,ij}) \cdot (\vartheta_{int,i} - \vartheta_e)$	W
								306,6 W
Ventilacijski toplinski gubici								
Bez ventilacijskog sustava								
Minimalni higijenski protok zraka					$V_{min,i} = V_{int} \cdot n_{min}$	m^3/h		
V_{int} , m ³	n_{min} , h ⁻¹	$V_{min,i}$, m ³ /h						
50,43	0,68	34,2924						
Maks. protok zraka u prostoriju uslijed infiltracije kroz zazore					$V_{inf,i} = 2 \cdot V_{int} \cdot n_{50} \cdot e_i \cdot \varepsilon_i$			
V_{int} , m ³	n_{50} , h ⁻¹	e_i	ε_i				$V_{inf,i}$, m ³ /h	
50,43	3	0,03	1				9,0774	
$V_i = \max(V_{inf,i}, V_{min,i})$								
V_i , m ³ /s	ρ_{zr} , kg/m ³	$c_{p,zr}$, J/kgK	$H_{V,i}$, W/K					
0,0095	1,2	1010	11,514					
UKUPNI VENTILACIJSKI TOPLINSKI GUBICI					$\Phi_{v,i} = H_{V,i} \cdot (\vartheta_{int,i} - \vartheta_e)$	W		
								276,336 W
TOPLINA ZA ZAGRIJAVANJE ZBOG PREKIDA GRIJANJA					$\Phi_{RH,i} = A_i \cdot f_{RH}$	W		
A_i , m ²	f_{RH} , W/m ²	$\Phi_{RH,i}$, W						
20,85	6	125,1 W						
TOPLINSKO OPTEREĆENJE PROSTORIJE					$\Phi_{HL,i} = \Phi_{T,i} + \Phi_{V,i} + \Phi_{RH,i}$	W		
								708,036 W

Prizemlje/Stan 1												
Prostorija: kupaonica					$\vartheta_{int,i} = 24 \text{ } ^\circ\text{C}$	$\vartheta_e = -4 \text{ } ^\circ\text{C}$						
Transmisijski gubici prema vanjskom okolišu												
Oznaka	građe. element	str. sv.	dužina	šir./vi.	A_k	U_k	e_k	$A_k \cdot U_k \cdot e_k$				
-	-	-	m	m	m^2	$\text{W}/\text{m}^2\text{K}$	-	W/K				
VZ	vanjski zid	JZ	1,9	2,9	4,71	0,25	1	1,1775				
PR	prozor	JZ	0,8	1	0,8	0,9	1	0,72				
-	-	-	-	-	-	-	-	-				
-	-	-	-	-	-	-	-	-				
-	-	-	-	-	-	-	-	-				
-	-	-	-	-	-	-	-	-				
Suma svih elemenata		$\sum A_k \cdot U_k \cdot e_k$				W/K	1,8975					
Oznaka	toplinski most prema vanj. okolišu			str. sv.	duž. l_k	Ψ_k	e_k	$l_k \cdot \Psi_k \cdot e_k$				
-	-			-	m	W/mK	-	W/K				
-	-			-	-	-	-	-				
-	-			-	-	-	-	-				
-	-			-	-	-	-	-				
-	-			-	-	-	-	-				
-	-			-	-	-	-	-				
-	-			-	-	-	-	-				
-	-			-	-	-	-	-				
Suma toplinskih mostova		$\sum l_k \cdot \Psi_k \cdot e_k$				W/K	0					
Ukupni koef. gubitaka prema vanj. okolišu				$H_{T,ie} = \sum A_k \cdot U_k \cdot e_k + \sum l_k \cdot \Psi_k \cdot e_k$				1,8975				
Transmisijski gubici kroz negrijane prostore prema vanjskom okolišu												
Oznaka	građe. element	str. sv.	dužina	šir./vi.	A_k	U_k	b_u	$A_k \cdot U_k \cdot b_u$				
-	-	-	m	m	m^2	$\text{W}/\text{m}^2\text{K}$	-	W/K				
MK	međukonstruk.	HOR.	4,5	1	4,5	0,25	0,8	0,9				
-	-	-	-	-	-	-	-	-				
-	-	-	-	-	-	-	-	-				
-	-	-	-	-	-	-	-	-				
-	-	-	-	-	-	-	-	-				
-	-	-	-	-	-	-	-	-				
Suma svih elemenata		$\sum A_k \cdot U_k \cdot b_u$				W/K	0,9					
Oznaka	toplinski most prema vanj. okolišu			str. sv.	duž. l_k	Ψ_k	b_u	$l_k \cdot \Psi_k \cdot b_u$				
-	-			-	m	W/mK	-	W/K				
-	-			-	-	-	-	-				
-	-			-	-	-	-	-				
-	-			-	-	-	-	-				
Suma toplinskih mostova		$\sum l_k \cdot \Psi_k \cdot b_u$				W/K	0					
Uk. koef. gub. kroz negrij. pro. prema v. ok.				$H_{T,iue} = \sum A_k \cdot U_k \cdot b_u + \sum l_k \cdot \Psi_k \cdot b_u$				0,9				

Transmisijski gubici kroz prostore grijane na različitu temperaturu											
Oznaka	građe. element	str. sv.	dužina	šir./vi.	A_k	U_k	f_{ij}	$A_k \cdot U_k \cdot f_{ij}$			
-	-	-	m	m	m^2	$W/m^2 K$	-	W/K			
UZD	unut. zid debeli	SZ	2,55	2,9	7,395	0,7	0,1428	0,7395			
UZT	unut. zid tanki	SI	1,85	2,9	3,895	1	0,1428	0,55643			
UZT	unut. zid tanki	JI	2,55	2,9	7,395	1	0,1428	1,05643			
UV	unutarnja vrata	SI	0,7	2,1	1,47	1,2	0,1428	0,252			
-	-	-	-	-	-	-	-	-			
Ukupni koef. gubitaka kroz prostore grijane na različitu tem.							$H_{T,ij} = \sum A_k \cdot U_k \cdot f_{ij}$	2,60436			
UKUPNI TRANSMISIJSKI GUBICI TOPLINE							$\Phi_{T,i} = (H_{T,ie} + H_{T,iue} + H_{T,ij}) \cdot (\vartheta_{int,i} - \vartheta_e)$	W			
								151,252 W			
Ventilacijski toplinski gubici											
Bez ventilacijskog sustava											
Minimalni higijenski protok zraka							$V_{min,i} = V_{int} \cdot n_{min}$	m^3/h			
V_{int} , m ³	n_{min} , h ⁻¹	$V_{min,i}$, m ³ /h									
12,24	0,5	6,12									
Maks. protok zraka u prostoriju uslijed infiltracije kroz zazore		$V_{inf,i} = 2 \cdot V_{int} \cdot n_{50} \cdot e_i \cdot \varepsilon_i$									
V_{int} , m ³	n_{50} , h ⁻¹	e_i		ε_i		$V_{inf,i}$, m ³ /h					
12,24	3	0,03		1		2,2034					
$V_i = \max(V_{inf,i}, V_{min,i})$											
V_i , m ³ /s	ρ_{zr} , kg/m ³	$c_{p,zr}$, J/kgK	$H_{V,i}$, W/K								
0,0017	1,2	1010	2,0604								
UKUPNI VENTILACIJSKI TOPLINSKI GUBICI		$\Phi_{v,i} = H_{V,i} \cdot (\vartheta_{int,i} - \vartheta_e)$									
								57,6912 W			
TOPLINA ZA ZAGRIJAVANJE ZBOG PREKIDA GRIJANJA		$\Phi_{RH,i} = A_i \cdot f_{RH}$									
A_i , m ²	f_{RH} , W/m ²	$\Phi_{RH,i}$, W									
5,28	6	31,68 W									
TOPLINSKO OPTEREĆENJE PROSTORIJE		$\Phi_{HL,i} = \Phi_{T,i} + \Phi_{V,i} + \Phi_{RH,i}$									
								240,623 W			

Prizemlje/Stan 1										
Prostorija: spavaća soba 1					$\vartheta_{int,i} = 20 \text{ } ^\circ\text{C}$		$\vartheta_e = -4 \text{ } ^\circ\text{C}$			
Transmisijski gubici prema vanjskom okolišu										
Oznaka	građe. element	str. sv.	dužina	šir./vi.	A_k	U_k	e_k	$A_k \cdot U_k \cdot e_k$		
-	-	-	m	m	m^2	$\text{W}/\text{m}^2\text{K}$	-	W/K		
VZ	vanjski zid	SZ	1,625	2,9	4,71	0,25	1	1,1775		
VZ	vanjski zid	JZ	2,8	2,9	7,16	0,25	1	1,79		
VZ	vanjski zid	JI	1,625	2,9	4,71	0,25	1	1,1775		
PR	prozor	JZ	0,8	1,2	0,96	0,9	1	0,864		
-	-	-	-	-	-	-	-	-		
-	-	-	-	-	-	-	-	-		
Suma svih elemenata		$\sum A_k \cdot U_k \cdot e_k$				W/K		5,009		
Oznaka	toplinski most prema vanj. okolišu			str. sv.	duž. l_k	Ψ_k	e_k	$l_k \cdot \Psi_k \cdot e_k$		
-	-			-	m	W/mK	-	W/K		
-	-			-	-	-	-	-		
-	-			-	-	-	-	-		
-	-			-	-	-	-	-		
-	-			-	-	-	-	-		
-	-			-	-	-	-	-		
-	-			-	-	-	-	-		
-	-			-	-	-	-	-		
Suma toplinskih mostova		$\sum l_k \cdot \Psi_k \cdot e_k$				W/K		0		
Ukupni koef. gubitaka prema vanj. okolišu				$H_{T,ie} = \sum A_k \cdot U_k \cdot e_k + \sum l_k \cdot \Psi_k \cdot e_k$				5,009		
Transmisijski gubici kroz negrijane prostore prema vanjskom okolišu										
Oznaka	građe. element	str. sv.	dužina	šir./vi.	A_k	U_k	b_u	$A_k \cdot U_k \cdot b_u$		
-	-	-	m	m	m^2	$\text{W}/\text{m}^2\text{K}$	-	W/K		
MK	međukonstruk.	HOR.	8,44	1	8,44	0,25	0,8	1,688		
-	-	-	-	-	-	-	-	-		
-	-	-	-	-	-	-	-	-		
-	-	-	-	-	-	-	-	-		
-	-	-	-	-	-	-	-	-		
-	-	-	-	-	-	-	-	-		
Suma svih elemenata		$\sum A_k \cdot U_k \cdot b_u$				W/K		1,688		
Oznaka	toplinski most prema vanj. okolišu			str. sv.	duž. l_k	Ψ_k	b_u	$l_k \cdot \Psi_k \cdot b_u$		
-	-			-	m	W/mK	-	W/K		
-	-			-	-	-	-	-		
-	-			-	-	-	-	-		
-	-			-	-	-	-	-		
Suma toplinskih mostova		$\sum l_k \cdot \Psi_k \cdot b_u$				W/K		0		
Uk. koef. gub. kroz negrij. pro. prema v. ok.				$H_{T,iue} = \sum A_k \cdot U_k \cdot b_u + \sum l_k \cdot \Psi_k \cdot b_u$				1,688		

Transmisijski gubici kroz prostore grijane na različitu temperaturu								
Oznaka	građe. element	str. sv.	dužina	šir./vi.	A_k	U_k	f_{ij}	$A_k \cdot U_k \cdot f_{ij}$
-	-	-	m	m	m^2	$W/m^2 K$	-	W/K
UZT	unut. zid tanki	SZ	2,55	2,9	7,395	1	-0,166	-1,2325
-	-	-	-	-	-	-	-	-
-	-	-	-	-	-	-	-	-
-	-	-	-	-	-	-	-	-
-	-	-	-	-	-	-	-	-
Ukupni koef. gubitaka kroz prostore grijane na različitu tem.							$H_{T,ij} = \sum A_k \cdot U_k \cdot f_{ij}$	-1,2325
UKUPNI TRANSMISIJSKI GUBICI TOPLINE							$\Phi_{T,i} = (H_{T,ie} + H_{T,iue} + H_{T,ij}) \cdot (\vartheta_{int,i} - \vartheta_e)$	W
								131,148 W
Ventilacijski toplinski gubici								
Bez ventilacijskog sustava								
Minimalni higijenski protok zraka						$V_{min,i} = V_{int} \cdot n_{min}$		m^3/h
V_{int} , m ³	n_{min} , h ⁻¹		$V_{min,i}$, m ³ /h					
22,95	0,5		11,475					
Maks. protok zraka u prostoriju uslijed infiltracije kroz zazore						$V_{inf,i} = 2 \cdot V_{int} \cdot n_{50} \cdot e_i \cdot \varepsilon_i$		
V_{int} , m ³	n_{50} , h ⁻¹		e_i			ε_i		$V_{inf,i}$, m ³ /h
22,95	3		0,03			1		4,131
$V_i = \max(V_{inf,i}, V_{min,i})$								
V_i , m ³ /s	ρ_{zr} , kg/m ³		$c_{p,zr}$, J/kgK			$H_{V,i}$, W/K		
0,00318	1,2		1010			3,85416		
UKUPNI VENTILACIJSKI TOPLINSKI GUBICI							$\Phi_{v,i} = H_{V,i} \cdot (\vartheta_{int,i} - \vartheta_e)$	W
								92,4998 W
TOPLINA ZA ZAGRIJAVANJE ZBOG PREKIDA GRIJANJA							$\Phi_{RH,i} = A_i \cdot f_{RH}$	W
A_i , m ²	f_{RH} , W/m ²		$\Phi_{RH,i}$, W					
9,61	6		57,66 W					
TOPLINSKO OPTEREĆENJE PROSTORIJE							$\Phi_{HL,i} = \Phi_{T,i} + \Phi_{V,i} + \Phi_{RH,i}$	W
								281,308 W

Prizemlje/Stan 1										
Prostorija: spavaća soba 2					$\vartheta_{int,i} = 20 \text{ } ^\circ\text{C}$		$\vartheta_e = -4 \text{ } ^\circ\text{C}$			
Transmisijski gubici prema vanjskom okolišu										
Oznaka	građe. element	str. sv.	dužina	šir./vi.	A_k	U_k	e_k	$A_k \cdot U_k \cdot e_k$		
-	-	-	m	m	m^2	$\text{W}/\text{m}^2\text{K}$	-	W/K		
VZ	vanjski zid	JI	4,575	2,9	12,3	0,25	1	3,075		
VZ	vanjski zid	JZ	2,525	2,9	5,56	0,25	1	1,39		
PR	prozor	JI	0,8	1,2	0,96	0,9	1	0,864		
MBV	mala balk. vrata	JZ	0,8	2,2	1,76	0,9	1	1,584		
-	-	-	-	-	-	-	-	-		
-	-	-	-	-	-	-	-	-		
Suma svih elemenata		$\sum A_k \cdot U_k \cdot e_k$				W/K		6,913		
Oznaka	toplinski most prema vanj. okolišu			str. sv.	duž. l_k	Ψ_k	e_k	$l_k \cdot \Psi_k \cdot e_k$		
-	-			-	m	W/mK	-	W/K		
-	-			-	-	-	-	-		
-	-			-	-	-	-	-		
-	-			-	-	-	-	-		
-	-			-	-	-	-	-		
-	-			-	-	-	-	-		
-	-			-	-	-	-	-		
-	-			-	-	-	-	-		
Suma toplinskih mostova		$\sum l_k \cdot \Psi_k \cdot e_k$				W/K		0		
Ukupni koef. gubitaka prema vanj. okolišu				$H_{T,ie} = \sum A_k \cdot U_k \cdot e_k + \sum l_k \cdot \Psi_k \cdot e_k$				6,913		
Transmisijski gubici kroz negrijane prostore prema vanjskom okolišu										
Oznaka	građe. element	str. sv.	dužina	šir./vi.	A_k	U_k	b_u	$A_k \cdot U_k \cdot b_u$		
-	-	-	m	m	m^2	$\text{W}/\text{m}^2\text{K}$	-	W/K		
ZS	zid prema stub.	SI	2,375	2,9	6,887	0,35	0,4	0,96418		
MK	međukonstruk.	HOR.	9,36	1	9,36	0,25	0,8	1,872		
-	-	-	-	-	-	-	-	-		
-	-	-	-	-	-	-	-	-		
-	-	-	-	-	-	-	-	-		
-	-	-	-	-	-	-	-	-		
Suma svih elemenata		$\sum A_k \cdot U_k \cdot b_u$				W/K		2,83618		
Oznaka	toplinski most prema vanj. okolišu			str. sv.	duž. l_k	Ψ_k	b_u	$l_k \cdot \Psi_k \cdot b_u$		
-	-			-	m	W/mK	-	W/K		
-	-			-	-	-	-	-		
-	-			-	-	-	-	-		
-	-			-	-	-	-	-		
Suma toplinskih mostova		$\sum l_k \cdot \Psi_k \cdot b_u$				W/K		0		
Uk. koef. gub. kroz negrij. pro. prema v. ok.				$H_{T,iue} = \sum A_k \cdot U_k \cdot b_u + \sum l_k \cdot \Psi_k \cdot b_u$				2,83618		

Transmisijski gubici kroz prostore grijane na različitu temperaturu							f_{ij}	$A_k \cdot U_k \cdot f_{ij}$
Oznaka	građe. element	str. sv.	dužina	šir./vi.	A_k	U_k		
-	-	-	m	m	m^2	W/m ² K	-	W/K
-	-	-	-	-	-	-	-	-
-	-	-	-	-	-	-	-	-
-	-	-	-	-	-	-	-	-
-	-	-	-	-	-	-	-	-
-	-	-	-	-	-	-	-	-
Ukupni koef. gubitaka kroz prostore grijane na različitu tem.							$H_{T,ij} = \sum A_k \cdot U_k \cdot f_{ij}$	0
UKUPNI TRANSMISIJSKI GUBICI TOPLINE							$\Phi_{T,i} = (H_{T,ie} + H_{T,iue} + H_{T,ij}) \cdot (\vartheta_{int,i} - \vartheta_e)$	W
								233,98 W
Ventilacijski toplinski gubici								
Bez ventilacijskog sustava								
Minimalni higijenski protok zraka					$V_{min,i} = V_{int} \cdot n_{min}$	m ³ /h		
V_{int} , m ³	n_{min} , h ⁻¹	$V_{min,i}$, m ³ /h						
25,46	0,5	12,73						
Maks. protok zraka u prostoriju uslijed infiltracije kroz zazore					$V_{inf,i} = 2 \cdot V_{int} \cdot n_{50} \cdot e_i \cdot \varepsilon_i$			
V_{int} , m ³	n_{50} , h ⁻¹	e_i	ε_i				$V_{inf,i}$, m ³ /h	
25,46	3	0,03	1				4,5828	
$V_i = \max(V_{inf,i}, V_{min,i})$								
V_i , m ³ /s	ρ_{zr} , kg/m ³	$c_{p,zr}$, J/kgK	$H_{V,i}$, W/K					
0,00353	1,2	1010	4,27836					
UKUPNI VENTILACIJSKI TOPLINSKI GUBICI					$\Phi_{v,i} = H_{V,i} \cdot (\vartheta_{int,i} - \vartheta_e)$	W		
								102,681 W
TOPLINA ZA ZAGRIJAVANJE ZBOG PREKIDA GRIJANJA					$\Phi_{RH,i} = A_i \cdot f_{RH}$	W		
A_i , m ²	f_{RH} , W/m ²	$\Phi_{RH,i}$, W						
10,74	6	64,44 W						
TOPLINSKO OPTEREĆENJE PROSTORIJE					$\Phi_{HL,i} = \Phi_{T,i} + \Phi_{V,i} + \Phi_{RH,i}$	W		
								401,101 W

Prizemlje/Stan 2											
Prostorija: ulazni prostor					$\vartheta_{int,i} = 20 \text{ } ^\circ\text{C}$		$\vartheta_e = -4 \text{ } ^\circ\text{C}$				
Transmisijski gubici prema vanjskom okolišu											
Oznaka	građe. element	str. sv.	dužina	šir./vi.	A_k	U_k	e_k	$A_k \cdot U_k \cdot e_k$			
-	-	-	m	m	m^2	$\text{W}/\text{m}^2\text{K}$	-	W/K			
-	-	-	-	-	-	-	-	-			
-	-	-	-	-	-	-	-	-			
-	-	-	-	-	-	-	-	-			
-	-	-	-	-	-	-	-	-			
-	-	-	-	-	-	-	-	-			
-	-	-	-	-	-	-	-	-			
Suma svih elemenata					$\sum A_k \cdot U_k \cdot e_k$	W/K		-			
Oznaka	toplinski most prema vanj. okolišu			str. sv.	duž. l_k	Ψ_k	e_k	$l_k \cdot \Psi_k \cdot e_k$			
-	-			-	m	W/mK	-	W/K			
-	-			-	-	-	-	-			
-	-			-	-	-	-	-			
-	-			-	-	-	-	-			
-	-			-	-	-	-	-			
-	-			-	-	-	-	-			
-	-			-	-	-	-	-			
Suma toplinskih mostova					$\sum l_k \cdot \Psi_k \cdot e_k$	W/K		-			
Ukupni koef. gubitaka prema vanj. okolišu	$H_{T,ie} = \sum A_k \cdot U_k \cdot e_k + \sum l_k \cdot \Psi_k \cdot e_k$							-			
Transmisijski gubici kroz negrijane prostore prema vanjskom okolišu											
Oznaka	građe. element	str. sv.	dužina	šir./vi.	A_k	U_k	b_u	$A_k \cdot U_k \cdot b_u$			
-	-	-	m	m	m^2	$\text{W}/\text{m}^2\text{K}$	-	W/K			
ZS	zid prema stub.	JI	1,5	2,9	4,35	0,35	0,4	0,609			
ZS	zid prema stub.	JZ	2,75	2,9	5,875	0,35	0,4	0,8225			
MK	međukonstruk.	HOR.	5,91	1	5,91	0,25	0,8	1,182			
VV	vanjska vrata	JZ	1	2,1	2,1	1	0,4	0,84			
-	-	-	-	-	-	-	-	-			
-	-	-	-	-	-	-	-	-			
Suma svih elemenata					$\sum A_k \cdot U_k \cdot b_u$	W/K		3,4535			
Oznaka	toplinski most prema vanj. okolišu			str. sv.	duž. l_k	Ψ_k	b_u	$l_k \cdot \Psi_k \cdot b_u$			
-	-			-	m	W/mK	-	W/K			
-	-			-	-	-	-	-			
-	-			-	-	-	-	-			
-	-			-	-	-	-	-			
Suma toplinskih mostova					$\sum l_k \cdot \Psi_k \cdot b_u$	W/K		0			
Uk. koef. gub. kroz negrij. pro. prema v. ok.	$H_{T,iue} = \sum A_k \cdot U_k \cdot b_u + \sum l_k \cdot \Psi_k \cdot b_u$							3,4535			

Transmisijski gubici kroz prostore grijane na različitu temperaturu							f_{ij}	$A_k \cdot U_k \cdot f_{ij}$
Oznaka	građe. element	str. sv.	dužina	šir./vi.	A_k	U_k		
-	-	-	m	m	m^2	$W/m^2 K$	-	W/K
UZT	unut. tanki zid	SI	1,85	2,9	3,895	1	-0,166	-0,6492
UV	unutarnja vrata	SI	0,7	2,1	1,47	1,2	-0,166	-0,294
-	-	-	-	-	-	-	-	-
-	-	-	-	-	-	-	-	-
-	-	-	-	-	-	-	-	-
Ukupni koef. gubitaka kroz prostore grijane na različitu tem.							$H_{T,ij} = \sum A_k \cdot U_k \cdot f_{ij}$	-0,9432
UKUPNI TRANSMISIJSKI GUBICI TOPLINE							$\Phi_{T,i} = (H_{T,ie} + H_{T,iue} + H_{T,ij}) \cdot (\vartheta_{int,i} - \vartheta_e)$	W
								60,248 W
Ventilacijski toplinski gubici								
Bez ventilacijskog sustava								
Minimalni higijenski protok zraka							$V_{min,i} = V_{int} \cdot n_{min}$	m^3/h
V_{int} , m^3	n_{min} , h^{-1}	$V_{min,i}$, m^3/h						
16	0,5	8						
Maks. protok zraka u prostoriju uslijed infiltracije kroz zazore							$V_{inf,i} = 2 \cdot V_{int} \cdot n_{50} \cdot e_i \cdot \varepsilon_i$	
V_{int} , m^3	n_{50} , h^{-1}	e_i		ε_i			$V_{inf,i}$, m^3/h	
16	3	0,03		1			2,88	
$V_i = \max(V_{inf,i}, V_{min,i})$								
V_i , m^3/s	ρ_{zr} , kg/m^3	$c_{p,zr}$, J/kgK	$H_{V,i}$, W/K					
0,00222	1,2	1010	2,69331					
UKUPNI VENTILACIJSKI TOPLINSKI GUBICI							$\Phi_{v,i} = H_{V,i} \cdot (\vartheta_{int,i} - \vartheta_e)$	W
								64,6394 W
TOPLINA ZA ZAGRIJAVANJE ZBOG PREKIDA GRIJANJA							$\Phi_{RH,i} = A_i \cdot f_{RH}$	W
A_i , m^2	f_{RH} , W/m^2	$\Phi_{RH,i}$, W						
7,15	6	42,9 W						
TOPLINSKO OPTEREĆENJE PROSTORIJE							$\Phi_{HL,i} = \Phi_{T,i} + \Phi_{V,i} + \Phi_{RH,i}$	W
								167,787 W

Prizemlje/Stan 2											
Prostorija: dnevni boravak i kuhinja					$\vartheta_{int,i} = 20 \text{ } ^\circ\text{C}$	$\vartheta_e = -4 \text{ } ^\circ\text{C}$					
Transmisijski gubici prema vanjskom okolišu											
Oznaka	građe. element	str. sv.	dužina	šir./vi.	A_k	U_k	e_k	$A_k \cdot U_k \cdot e_k$			
-	-	-	m	m	m^2	$\text{W}/\text{m}^2\text{K}$	-	W/K			
VZ	vanjski zid	SI	2	2,9	4,84	0,25	1	1,21			
VZ	vanjski zid	SZ	1,025	2,9	2,972	0,25	1	0,743			
VZ	vanjski zid	SI	2,675	2,9	7,757	0,25	1	1,93925			
VZ	vanjski zid	SZ	4,5	2,9	10,11	0,25	1	2,5275			
VBV	velika balk. vr.	SZ	1,4	2,1	2,94	0,9	1	2,646			
PR	prozor	SI	0,8	1,2	0,96	0,9	1	0,864			
Suma svih elemenata					$\sum A_k \cdot U_k \cdot e_k$	W/K		9,92975			
Oznaka	toplinski most prema vanj. okolišu			str. sv.	duž. l_k	Ψ_k	e_k	$l_k \cdot \Psi_k \cdot e_k$			
-	-			-	m	W/mK	-	W/K			
-	-			-	-	-	-	-			
-	-			-	-	-	-	-			
-	-			-	-	-	-	-			
-	-			-	-	-	-	-			
-	-			-	-	-	-	-			
-	-			-	-	-	-	-			
-	-			-	-	-	-	-			
Suma toplinskih mostova					$\sum l_k \cdot \Psi_k \cdot e_k$	W/K		0			
Ukupni koef. gubitaka prema vanj. okolišu					$H_{T,ie} = \sum A_k \cdot U_k \cdot e_k + \sum l_k \cdot \Psi_k \cdot e_k$			9,92975			
Transmisijski gubici kroz negrijane prostore prema vanjskom okolišu											
Oznaka	građe. element	str. sv.	dužina	šir./vi.	A_k	U_k	b_u	$A_k \cdot U_k \cdot b_u$			
-	-	-	m	m	m^2	$\text{W}/\text{m}^2\text{K}$	-	W/K			
MK	međukonstruk.	HOR.	18,54	1	18,54	0,25	0,8	3,708			
-	-	-	-	-	-	-	-	-			
-	-	-	-	-	-	-	-	-			
-	-	-	-	-	-	-	-	-			
-	-	-	-	-	-	-	-	-			
-	-	-	-	-	-	-	-	-			
Suma svih elemenata					$\sum A_k \cdot U_k \cdot b_u$	W/K		3,708			
Oznaka	toplinski most prema vanj. okolišu			str. sv.	duž. l_k	Ψ_k	b_u	$l_k \cdot \Psi_k \cdot b_u$			
-	-			-	m	W/mK	-	W/K			
-	-			-	-	-	-	-			
-	-			-	-	-	-	-			
-	-			-	-	-	-	-			
Suma toplinskih mostova					$\sum l_k \cdot \Psi_k \cdot b_u$	W/K		0			
Uk. koef. gub. kroz negrij. pro. prema v. ok.					$H_{T,iue} = \sum A_k \cdot U_k \cdot b_u + \sum l_k \cdot \Psi_k \cdot b_u$			3,708			

Transmisijski gubici kroz prostore grijane na različitu temperaturu								
Oznaka	građe. element	str. sv.	dužina	šir./vi.	A_k	U_k	f_{ij}	$A_k \cdot U_k \cdot f_{ij}$
-	-	-	m	m	m^2	$W/m^2 K$	-	W/K
UZD	unut. zid debeli	JI	2,55	2,9	7,395	0,7	-0,166	-0,8628
-	-	-	-	-	-	-	-	-
-	-	-	-	-	-	-	-	-
-	-	-	-	-	-	-	-	-
-	-	-	-	-	-	-	-	-
Ukupni koef. gubitaka kroz prostore grijane na različitu tem.							$H_{T,ij} = \sum A_k \cdot U_k \cdot f_{ij}$	-0,8628
UKUPNI TRANSMISIJSKI GUBICI TOPLINE							$\Phi_{T,i} = (H_{T,ie} + H_{T,iue} + H_{T,ij}) \cdot (\vartheta_{int,i} - \vartheta_e)$	W
								306,6 W
Ventilacijski toplinski gubici								
Bez ventilacijskog sustava								
Minimalni higijenski protok zraka					$V_{min,i} = V_{int} \cdot n_{min}$	m ³ /h		
V_{int} , m ³	n_{min} , h ⁻¹	$V_{min,i}$, m ³ /h						
50,43	0,68	34,2924						
Maks. protok zraka u prostoriju uslijed infiltracije kroz zazore					$V_{inf,i} = 2 \cdot V_{int} \cdot n_{50} \cdot e_i \cdot \varepsilon_i$			
V_{int} , m ³	n_{50} , h ⁻¹	e_i	ε_i				$V_{inf,i}$, m ³ /h	
50,43	3	0,03	1				9,0774	
$V_i = \max(V_{inf,i}, V_{min,i})$								
V_i , m ³ /s	ρ_{zr} , kg/m ³	$c_{p,zr}$, J/kgK	$H_{V,i}$, W/K					
0,0095	1,2	1010	11,514					
UKUPNI VENTILACIJSKI TOPLINSKI GUBICI					$\Phi_{v,i} = H_{V,i} \cdot (\vartheta_{int,i} - \vartheta_e)$	W		
								276,336 W
TOPLINA ZA ZAGRIJAVANJE ZBOG PREKIDA GRIJANJA					$\Phi_{RH,i} = A_i \cdot f_{RH}$	W		
A_i , m ²	f_{RH} , W/m ²	$\Phi_{RH,i}$, W						
20,85	6	125,1 W						
TOPLINSKO OPTEREĆENJE PROSTORIJE					$\Phi_{HL,i} = \Phi_{T,i} + \Phi_{V,i} + \Phi_{RH,i}$	W		
								708,036 W

Prizemlje/Stan 2										
Prostorija: kupaonica					$\vartheta_{int,i} = 24 \text{ } ^\circ\text{C}$	$\vartheta_e = -4 \text{ } ^\circ\text{C}$				
Transmisijski gubici prema vanjskom okolišu										
Oznaka	građe. element	str. sv.	dužina	šir./vi.	A_k	U_k	e_k	$A_k \cdot U_k \cdot e_k$		
-	-	-	m	m	m^2	$\text{W}/\text{m}^2\text{K}$	-	W/K		
VZ	vanjski zid	SI	1,9	2,9	4,71	0,25	1	1,1775		
PR	prozor	SI	0,8	1	0,8	0,9	1	0,72		
-	-	-	-	-	-	-	-	-		
-	-	-	-	-	-	-	-	-		
-	-	-	-	-	-	-	-	-		
-	-	-	-	-	-	-	-	-		
Suma svih elemenata		$\sum A_k \cdot U_k \cdot e_k$ W/K					1,8975			
Oznaka	toplinski most prema vanj. okolišu			str. sv.	duž. l_k	Ψ_k	e_k	$l_k \cdot \Psi_k \cdot e_k$		
-	-			-	m	W/mK	-	W/K		
-	-			-	-	-	-	-		
-	-			-	-	-	-	-		
-	-			-	-	-	-	-		
-	-			-	-	-	-	-		
-	-			-	-	-	-	-		
-	-			-	-	-	-	-		
-	-			-	-	-	-	-		
Suma toplinskih mostova		$\sum l_k \cdot \Psi_k \cdot e_k$ W/K					0			
Ukupni koef. gubitaka prema vanj. okolišu				$H_{T,ie} = \sum A_k \cdot U_k \cdot e_k + \sum l_k \cdot \Psi_k \cdot e_k$						
Transmisijski gubici kroz negrijane prostore prema vanjskom okolišu										
Oznaka	građe. element	str. sv.	dužina	šir./vi.	A_k	U_k	b_u	$A_k \cdot U_k \cdot b_u$		
-	-	-	m	m	m^2	$\text{W}/\text{m}^2\text{K}$	-	W/K		
MK	međukonstruk.	HOR.	4,5	1	4,5	0,25	0,8	0,9		
-	-	-	-	-	-	-	-	-		
-	-	-	-	-	-	-	-	-		
-	-	-	-	-	-	-	-	-		
-	-	-	-	-	-	-	-	-		
-	-	-	-	-	-	-	-	-		
Suma svih elemenata		$\sum A_k \cdot U_k \cdot b_u$ W/K					0,9			
Oznaka	toplinski most prema vanj. okolišu			str. sv.	duž. l_k	Ψ_k	b_u	$l_k \cdot \Psi_k \cdot b_u$		
-	-			-	m	W/mK	-	W/K		
-	-			-	-	-	-	-		
-	-			-	-	-	-	-		
-	-			-	-	-	-	-		
Suma toplinskih mostova		$\sum l_k \cdot \Psi_k \cdot b_u$ W/K					0			
Uk. koef. gub. kroz negrij. pro. prema v. ok.				$H_{T,iue} = \sum A_k \cdot U_k \cdot b_u + \sum l_k \cdot \Psi_k \cdot b_u$						

Transmisijski gubici kroz prostore grijane na različitu temperaturu										
Oznaka	građe. element	str. sv.	dužina	šir./vi.	A_k	U_k	f_{ij}	$A_k \cdot U_k \cdot f_{ij}$		
-	-	-	m	m	m^2	$W/m^2 K$	-	W/K		
UZD	unut. zid debeli	SZ	2,55	2,9	7,395	0,7	0,1428	0,7395		
UZT	unut. zid tanki	JZ	1,85	2,9	3,895	1	0,1428	0,55643		
UZT	unut. zid tanki	JI	2,55	2,9	7,395	1	0,1428	1,05643		
UV	unutarnja vrata	JZ	0,7	2,1	1,47	1,2	0,1428	0,252		
-	-	-	-	-	-	-	-	-		
Ukupni koef. gubitaka kroz prostore grijane na različitu tem.							$H_{T,ij} = \sum A_k \cdot U_k \cdot f_{ij}$	2,60436		
UKUPNI TRANSMISIJSKI GUBICI TOPLINE							$\Phi_{T,i} = (H_{T,ie} + H_{T,iue} + H_{T,ij}) \cdot (\vartheta_{int,i} - \vartheta_e)$	W		
								151,252 W		
Ventilacijski toplinski gubici										
Bez ventilacijskog sustava										
Minimalni higijenski protok zraka							$V_{min,i} = V_{int} \cdot n_{min}$	m^3/h		
V_{int} , m ³	n_{min} , h ⁻¹	$V_{min,i}$, m ³ /h								
12,24	0,5	6,12								
Maks. protok zraka u prostoriju uslijed infiltracije kroz zazore		$V_{inf,i} = 2 \cdot V_{int} \cdot n_{50} \cdot e_i \cdot \varepsilon_i$								
V_{int} , m ³	n_{50} , h ⁻¹	e_i	ε_i		$V_{inf,i}$, m ³ /h					
12,24	3	0,03	1		2,2034					
$V_i = \max(V_{inf,i}, V_{min,i})$										
V_i , m ³ /s	ρ_{zr} , kg/m ³	$c_{p,zr}$, J/kgK	$H_{V,i}$, W/K							
0,0017	1,2	1010	2,0604							
UKUPNI VENTILACIJSKI TOPLINSKI GUBICI		$\Phi_{v,i} = H_{V,i} \cdot (\vartheta_{int,i} - \vartheta_e)$								
								57,6912 W		
TOPLINA ZA ZAGRIJAVANJE ZBOG PREKIDA GRIJANJA		$\Phi_{RH,i} = A_i \cdot f_{RH}$								
A_i , m ²	f_{RH} , W/m ²	$\Phi_{RH,i}$, W								
5,28	6	31,68 W								
TOPLINSKO OPTEREĆENJE PROSTORIJE		$\Phi_{HL,i} = \Phi_{T,i} + \Phi_{V,i} + \Phi_{RH,i}$								
								240,623 W		

Prizemlje/Stan 2										
Prostorija: spavaća soba 1					$\vartheta_{int,i} = 20 \text{ } ^\circ\text{C}$		$\vartheta_e = -4 \text{ } ^\circ\text{C}$			
Transmisijski gubici prema vanjskom okolišu										
Oznaka	građe. element	str. sv.	dužina	šir./vi.	A_k	U_k	e_k	$A_k \cdot U_k \cdot e_k$		
-	-	-	m	m	m^2	$\text{W}/\text{m}^2\text{K}$	-	W/K		
VZ	vanjski zid	SZ	1,625	2,9	4,71	0,25	1	1,1775		
VZ	vanjski zid	SI	2,8	2,9	7,16	0,25	1	1,79		
VZ	vanjski zid	JI	1,625	2,9	4,71	0,25	1	1,1775		
PR	prozor	SI	0,8	1,2	0,96	0,9	1	0,864		
-	-	-	-	-	-	-	-	-		
-	-	-	-	-	-	-	-	-		
Suma svih elemenata		$\sum A_k \cdot U_k \cdot e_k$				W/K		5,009		
Oznaka	toplinski most prema vanj. okolišu			str. sv.	duž. l_k	Ψ_k	e_k	$l_k \cdot \Psi_k \cdot e_k$		
-	-			-	m	W/mK	-	W/K		
-	-			-	-	-	-	-		
-	-			-	-	-	-	-		
-	-			-	-	-	-	-		
-	-			-	-	-	-	-		
-	-			-	-	-	-	-		
-	-			-	-	-	-	-		
-	-			-	-	-	-	-		
Suma toplinskih mostova		$\sum l_k \cdot \Psi_k \cdot e_k$				W/K		0		
Ukupni koef. gubitaka prema vanj. okolišu				$H_{T,ie} = \sum A_k \cdot U_k \cdot e_k + \sum l_k \cdot \Psi_k \cdot e_k$				5,009		
Transmisijski gubici kroz negrijane prostore prema vanjskom okolišu										
Oznaka	građe. element	str. sv.	dužina	šir./vi.	A_k	U_k	b_u	$A_k \cdot U_k \cdot b_u$		
-	-	-	m	m	m^2	$\text{W}/\text{m}^2\text{K}$	-	W/K		
MK	međukonstruk.	HOR.	8,44	1	8,44	0,25	0,8	1,688		
-	-	-	-	-	-	-	-	-		
-	-	-	-	-	-	-	-	-		
-	-	-	-	-	-	-	-	-		
-	-	-	-	-	-	-	-	-		
-	-	-	-	-	-	-	-	-		
Suma svih elemenata		$\sum A_k \cdot U_k \cdot b_u$				W/K		1,688		
Oznaka	toplinski most prema vanj. okolišu			str. sv.	duž. l_k	Ψ_k	b_u	$l_k \cdot \Psi_k \cdot b_u$		
-	-			-	m	W/mK	-	W/K		
-	-			-	-	-	-	-		
-	-			-	-	-	-	-		
-	-			-	-	-	-	-		
Suma toplinskih mostova		$\sum l_k \cdot \Psi_k \cdot b_u$				W/K		0		
Uk. koef. gub. kroz negrij. pro. prema v. ok.				$H_{T,iue} = \sum A_k \cdot U_k \cdot b_u + \sum l_k \cdot \Psi_k \cdot b_u$				1,688		

Transmisijski gubici kroz prostore grijane na različitu temperaturu								
Oznaka	građe. element	str. sv.	dužina	šir./vi.	A_k	U_k	f_{ij}	$A_k \cdot U_k \cdot f_{ij}$
-	-	-	m	m	m^2	$W/m^2 K$	-	W/K
UZT	unut. zid tanki	SZ	2,55	2,9	7,395	1	-0,166	-1,2325
-	-	-	-	-	-	-	-	-
-	-	-	-	-	-	-	-	-
-	-	-	-	-	-	-	-	-
-	-	-	-	-	-	-	-	-
Ukupni koef. gubitaka kroz prostore grijane na različitu tem.							$H_{T,ij} = \sum A_k \cdot U_k \cdot f_{ij}$	-1,2325
UKUPNI TRANSMISIJSKI GUBICI TOPLINE							$\Phi_{T,i} = (H_{T,ie} + H_{T,iue} + H_{T,ij}) \cdot (\vartheta_{int,i} - \vartheta_e)$	W
								131,148 W
Ventilacijski toplinski gubici								
Bez ventilacijskog sustava								
Minimalni higijenski protok zraka					$V_{min,i} = V_{int} \cdot n_{min}$	m ³ /h		
V_{int} , m ³	n_{min} , h ⁻¹	$V_{min,i}$, m ³ /h						
22,95	0,5	11,475						
Maks. protok zraka u prostoriju uslijed infiltracije kroz zazore					$V_{inf,i} = 2 \cdot V_{int} \cdot n_{50} \cdot e_i \cdot \varepsilon_i$			
V_{int} , m ³	n_{50} , h ⁻¹	e_i	ε_i				$V_{inf,i}$, m ³ /h	
22,95	3	0,03	1				4,131	
$V_i = \max(V_{inf,i}, V_{min,i})$								
V_i , m ³ /s	ρ_{zr} , kg/m ³	$c_{p,zr}$, J/kgK	$H_{V,i}$, W/K					
0,00318	1,2	1010	3,85416					
UKUPNI VENTILACIJSKI TOPLINSKI GUBICI					$\Phi_{v,i} = H_{V,i} \cdot (\vartheta_{int,i} - \vartheta_e)$	W		
								92,4998 W
TOPLINA ZA ZAGRIJAVANJE ZBOG PREKIDA GRIJANJA					$\Phi_{RH,i} = A_i \cdot f_{RH}$	W		
A_i , m ²	f_{RH} , W/m ²	$\Phi_{RH,i}$, W						
9,61	6	57,66 W						
TOPLINSKO OPTEREĆENJE PROSTORIJE					$\Phi_{HL,i} = \Phi_{T,i} + \Phi_{V,i} + \Phi_{RH,i}$	W		
								281,308 W

Prizemlje/Stan 2										
Prostorija: spavaća soba 2					$\vartheta_{int,i} = 20 \text{ } ^\circ\text{C}$		$\vartheta_e = -4 \text{ } ^\circ\text{C}$			
Transmisijski gubici prema vanjskom okolišu										
Oznaka	građe. element	str. sv.	dužina	šir./vi.	A_k	U_k	e_k	$A_k \cdot U_k \cdot e_k$		
-	-	-	m	m	m^2	$\text{W}/\text{m}^2\text{K}$	-	W/K		
VZ	vanjski zid	JI	4,575	2,9	12,3	0,25	1	3,075		
VZ	vanjski zid	SI	2,525	2,9	5,56	0,25	1	1,39		
PR	prozor	JI	0,8	1,2	0,96	0,9	1	0,864		
MBV	mala balk. vrata	SI	0,8	2,2	1,76	0,9	1	1,584		
-	-	-	-	-	-	-	-	-		
-	-	-	-	-	-	-	-	-		
Suma svih elemenata		$\sum A_k \cdot U_k \cdot e_k$				W/K		6,913		
Oznaka	toplinski most prema vanj. okolišu			str. sv.	duž. l_k	Ψ_k	e_k	$l_k \cdot \Psi_k \cdot e_k$		
-	-			-	m	W/mK	-	W/K		
-	-			-	-	-	-	-		
-	-			-	-	-	-	-		
-	-			-	-	-	-	-		
-	-			-	-	-	-	-		
-	-			-	-	-	-	-		
-	-			-	-	-	-	-		
-	-			-	-	-	-	-		
Suma toplinskih mostova		$\sum l_k \cdot \Psi_k \cdot e_k$				W/K		0		
Ukupni koef. gubitaka prema vanj. okolišu				$H_{T,ie} = \sum A_k \cdot U_k \cdot e_k + \sum l_k \cdot \Psi_k \cdot e_k$				6,913		
Transmisijski gubici kroz negrijane prostore prema vanjskom okolišu										
Oznaka	građe. element	str. sv.	dužina	šir./vi.	A_k	U_k	b_u	$A_k \cdot U_k \cdot b_u$		
-	-	-	m	m	m^2	$\text{W}/\text{m}^2\text{K}$	-	W/K		
ZS	zid prema stub.	JZ	2,375	2,9	6,887	0,35	0,4	0,96418		
MK	međukonstruk.	HOR.	9,36	1	9,36	0,25	0,8	1,872		
-	-	-	-	-	-	-	-	-		
-	-	-	-	-	-	-	-	-		
-	-	-	-	-	-	-	-	-		
-	-	-	-	-	-	-	-	-		
Suma svih elemenata		$\sum A_k \cdot U_k \cdot b_u$				W/K		2,83618		
Oznaka	toplinski most prema vanj. okolišu			str. sv.	duž. l_k	Ψ_k	b_u	$l_k \cdot \Psi_k \cdot b_u$		
-	-			-	m	W/mK	-	W/K		
-	-			-	-	-	-	-		
-	-			-	-	-	-	-		
-	-			-	-	-	-	-		
Suma toplinskih mostova		$\sum l_k \cdot \Psi_k \cdot b_u$				W/K		0		
Uk. koef. gub. kroz negrij. pro. prema v. ok.				$H_{T,iue} = \sum A_k \cdot U_k \cdot b_u + \sum l_k \cdot \Psi_k \cdot b_u$				2,83618		

Transmisijski gubici kroz prostore grijane na različitu temperaturu							f_{ij}	$A_k \cdot U_k \cdot f_{ij}$
Oznaka	građe. element	str. sv.	dužina	šir./vi.	A_k	U_k		
-	-	-	m	m	m^2	W/m^2K	-	W/K
-	-	-	-	-	-	-	-	-
-	-	-	-	-	-	-	-	-
-	-	-	-	-	-	-	-	-
-	-	-	-	-	-	-	-	-
-	-	-	-	-	-	-	-	-
Ukupni koef. gubitaka kroz prostore grijane na različitu tem.							$H_{T,ij} = \sum A_k \cdot U_k \cdot f_{ij}$	0
UKUPNI TRANSMISIJSKI GUBICI TOPLINE							$\Phi_{T,i} = (H_{T,ie} + H_{T,iue} + H_{T,ij}) \cdot (\vartheta_{int,i} - \vartheta_e)$	W
								233,98 W
Ventilacijski toplinski gubici								
Bez ventilacijskog sustava								
Minimalni higijenski protok zraka							$V_{min,i} = V_{int} \cdot n_{min}$	m^3/h
V_{int} , m ³	n_{min} , h ⁻¹	$V_{min,i}$, m ³ /h						
25,46	0,5	12,73						
Maks. protok zraka u prostoriju uslijed infiltracije kroz zazore		$V_{inf,i} = 2 \cdot V_{int} \cdot n_{50} \cdot e_i \cdot \varepsilon_i$						
V_{int} , m ³	n_{50} , h ⁻¹	e_i	ε_i	$V_{inf,i}$, m ³ /h				
25,46	3	0,03	1	4,5828				
$V_i = \max(V_{inf,i}, V_{min,i})$								
V_i , m ³ /s	ρ_{zr} , kg/m ³	$c_{p,zr}$, J/kgK	$H_{V,i}$, W/K					
0,00353	1,2	1010	4,27836					
UKUPNI VENTILACIJSKI TOPLINSKI GUBICI		$\Phi_{v,i} = H_{V,i} \cdot (\vartheta_{int,i} - \vartheta_e)$						
								102,681 W
TOPLINA ZA ZAGRIJAVANJE ZBOG PREKIDA GRIJANJA		$\Phi_{RH,i} = A_i \cdot f_{RH}$						
A_i , m ²	f_{RH} , W/m ²	$\Phi_{RH,i}$, W						
10,74	6	64,44 W						
TOPLINSKO OPTEREĆENJE PROSTORIJE		$\Phi_{HL,i} = \Phi_{T,i} + \Phi_{V,i} + \Phi_{RH,i}$						
								401,101 W

Kat 1/Stan 3										
Prostorija: ulazni prostor					$\vartheta_{int,i} = 20 \text{ } ^\circ\text{C}$	$\vartheta_e = -4 \text{ } ^\circ\text{C}$				
Transmisijski gubici prema vanjskom okolišu										
Oznaka	građe. element	str. sv.	dužina	šir./vi.	A_k	U_k	e_k	$A_k \cdot U_k \cdot e_k$		
-	-	-	m	m	m^2	$\text{W}/\text{m}^2\text{K}$	-	W/K		
-	-	-	-	-	-	-	-	-		
-	-	-	-	-	-	-	-	-		
-	-	-	-	-	-	-	-	-		
-	-	-	-	-	-	-	-	-		
-	-	-	-	-	-	-	-	-		
-	-	-	-	-	-	-	-	-		
Suma svih elemenata		$\sum A_k \cdot U_k \cdot e_k \text{ W/K}$					-			
Oznaka	toplinski most prema vanj. okolišu			str. sv.	duž. l_k	Ψ_k	e_k	$l_k \cdot \Psi_k \cdot e_k$		
-	-			-	m	W/mK	-	W/K		
-	-			-	-	-	-	-		
-	-			-	-	-	-	-		
-	-			-	-	-	-	-		
-	-			-	-	-	-	-		
-	-			-	-	-	-	-		
-	-			-	-	-	-	-		
-	-			-	-	-	-	-		
Suma toplinskih mostova		$\sum l_k \cdot \Psi_k \cdot e_k \text{ W/K}$					-			
Ukupni koef. gubitaka prema vanj. okolišu				$H_{T,ie} = \sum A_k \cdot U_k \cdot e_k + \sum l_k \cdot \Psi_k \cdot e_k$						
Transmisijski gubici kroz negrijane prostore prema vanjskom okolišu										
Oznaka	građe. element	str. sv.	dužina	šir./vi.	A_k	U_k	b_u	$A_k \cdot U_k \cdot b_u$		
-	-	-	m	m	m^2	$\text{W}/\text{m}^2\text{K}$	-	W/K		
ZS	zid prema stub.	JI	1,5	2,85	4,275	0,35	0,4	0,5985		
ZS	zid prema stub.	SI	2,75	2,85	5,737	0,35	0,4	0,80318		
-	-	-	-	-	-	-	-	-		
VV	vanjska vrata	SI	1	2,1	2,1	1	0,4	0,84		
-	-	-	-	-	-	-	-	-		
-	-	-	-	-	-	-	-	-		
Suma svih elemenata		$\sum A_k \cdot U_k \cdot b_u \text{ W/K}$					2,24168			
Oznaka	toplinski most prema vanj. okolišu			str. sv.	duž. l_k	Ψ_k	b_u	$l_k \cdot \Psi_k \cdot b_u$		
-	-			-	m	W/mK	-	W/K		
-	-			-	-	-	-	-		
-	-			-	-	-	-	-		
-	-			-	-	-	-	-		
Suma toplinskih mostova		$\sum l_k \cdot \Psi_k \cdot b_u \text{ W/K}$					0			
Uk. koef. gub. kroz negrij. pro. prema v. ok.				$H_{T,iue} = \sum A_k \cdot U_k \cdot b_u + \sum l_k \cdot \Psi_k \cdot b_u$						

Transmisijski gubici kroz prostore grijane na različitu temperaturu							f_{ij}	$A_k \cdot U_k \cdot f_{ij}$
Oznaka	građe. element	str. sv.	dužina	šir./vi.	A_k	U_k		
-	-	-	m	m	m^2	$W/m^2 K$	-	W/K
UZT	unut. tanki zid	JZ	1,85	2,85	3,8	1	-0,166	-0,6333
UV	unutarnja vrata	JZ	0,7	2,1	1,47	1,2	-0,166	-0,294
-	-	-	-	-	-	-	-	-
-	-	-	-	-	-	-	-	-
-	-	-	-	-	-	-	-	-
Ukupni koef. gubitaka kroz prostore grijane na različitu tem.							$H_{T,ij} = \sum A_k \cdot U_k \cdot f_{ij}$	-0,9273
UKUPNI TRANSMISIJSKI GUBICI TOPLINE							$\Phi_{T,i} = (H_{T,ie} + H_{T,iue} + H_{T,ij}) \cdot (\vartheta_{int,i} - \vartheta_e)$	W
								31,5443 W
Ventilacijski toplinski gubici								
Bez ventilacijskog sustava								
Minimalni higijenski protok zraka					$V_{min,i} = V_{int} \cdot n_{min}$	m ³ /h		
V_{int} , m ³	n_{min} , h ⁻¹	$V_{min,i}$, m ³ /h						
15,77	0,5	7,885						
Maks. protok zraka u prostoriju uslijed infiltracije kroz zazore					$V_{inf,i} = 2 \cdot V_{int} \cdot n_{50} \cdot e_i \cdot \varepsilon_i$			
V_{int} , m ³	n_{50} , h ⁻¹	e_i	ε_i				$V_{inf,i}$, m ³ /h	
15,77	3	0,03	1				2,8386	
$V_i = \max(V_{inf,i}, V_{min,i})$								
V_i , m ³ /s	ρ_{zr} , kg/m ³	$c_{p,zr}$, J/kgK	$H_{V,i}$, W/K					
0,00219	1,2	1010	2,65428					
UKUPNI VENTILACIJSKI TOPLINSKI GUBICI					$\Phi_{v,i} = H_{V,i} \cdot (\vartheta_{int,i} - \vartheta_e)$	W		
								63,7027 W
TOPLINA ZA ZAGRIJAVANJE ZBOG PREKIDA GRIJANJA					$\Phi_{RH,i} = A_i \cdot f_{RH}$	W		
A_i , m ²	f_{RH} , W/m ²	$\Phi_{RH,i}$, W						
7,15	6	42,9 W						
TOPLINSKO OPTEREĆENJE PROSTORIJE					$\Phi_{HL,i} = \Phi_{T,i} + \Phi_{V,i} + \Phi_{RH,i}$	W		
								138,147 W

Kat 1/Stan 3											
Prostorija: dnevni boravak i kuhinja					$\vartheta_{int,i} = 20 \text{ } ^\circ\text{C}$	$\vartheta_e = -4 \text{ } ^\circ\text{C}$					
Transmisijski gubici prema vanjskom okolišu											
Oznaka	građe. element	str. sv.	dužina	šir./vi.	A_k	U_k	e_k	$A_k \cdot U_k \cdot e_k$			
-	-	-	m	m	m^2	$\text{W}/\text{m}^2\text{K}$	-	W/K			
VZ	vanjski zid	JZ	2	2,85	4,74	0,25	1	1,185			
VZ	vanjski zid	SZ	1,025	2,85	2,92	0,25	1	0,73			
VZ	vanjski zid	JZ	2,675	2,85	7,62	0,25	1	1,905			
VZ	vanjski zid	SZ	4,5	2,85	9,88	0,25	1	2,47			
VBV	velika balk. vr.	SZ	1,4	2,1	2,94	0,9	1	2,646			
PR	prozor	JZ	0,8	1,2	0,96	0,9	1	0,864			
Suma svih elemenata					$\sum A_k \cdot U_k \cdot e_k$	W/K		9,8			
Oznaka	toplinski most prema vanj. okolišu			str. sv.	duž. l_k	Ψ_k	e_k	$l_k \cdot \Psi_k \cdot e_k$			
-	-			-	m	W/mK	-	W/K			
-	-			-	-	-	-	-			
-	-			-	-	-	-	-			
-	-			-	-	-	-	-			
-	-			-	-	-	-	-			
-	-			-	-	-	-	-			
-	-			-	-	-	-	-			
-	-			-	-	-	-	-			
Suma toplinskih mostova					$\sum l_k \cdot \Psi_k \cdot e_k$	W/K		0			
Ukupni koef. gubitaka prema vanj. okolišu					$H_{T,ie} = \sum A_k \cdot U_k \cdot e_k + \sum l_k \cdot \Psi_k \cdot e_k$			9,8			
Transmisijski gubici kroz negrijane prostore prema vanjskom okolišu											
Oznaka	građe. element	str. sv.	dužina	šir./vi.	A_k	U_k	b_u	$A_k \cdot U_k \cdot b_u$			
-	-	-	m	m	m^2	$\text{W}/\text{m}^2\text{K}$	-	W/K			
-	-	-	-	-	-	-	-	-			
-	-	-	-	-	-	-	-	-			
-	-	-	-	-	-	-	-	-			
-	-	-	-	-	-	-	-	-			
-	-	-	-	-	-	-	-	-			
-	-	-	-	-	-	-	-	-			
Suma svih elemenata					$\sum A_k \cdot U_k \cdot b_u$	W/K		0			
Oznaka	toplinski most prema vanj. okolišu			str. sv.	duž. l_k	Ψ_k	b_u	$l_k \cdot \Psi_k \cdot b_u$			
-	-			-	m	W/mK	-	W/K			
-	-			-	-	-	-	-			
-	-			-	-	-	-	-			
-	-			-	-	-	-	-			
Suma toplinskih mostova					$\sum l_k \cdot \Psi_k \cdot b_u$	W/K		0			
Uk. koef. gub. kroz negrij. pro. prema v. ok.					$H_{T,iue} = \sum A_k \cdot U_k \cdot b_u + \sum l_k \cdot \Psi_k \cdot b_u$			0			

Transmisijski gubici kroz prostore grijane na različitu temperaturu							f_{ij}	$A_k \cdot U_k \cdot f_{ij}$
Oznaka	građe. element	str. sv.	dužina	šir./vi.	A_k	U_k		
-	-	-	m	m	m^2	W/m^2K	-	W/K
UZD	unut. zid debeli	JI	2,55	2,85	7,267	0,7	-0,166	-0,8478
-	-	-	-	-	-	-	-	-
-	-	-	-	-	-	-	-	-
-	-	-	-	-	-	-	-	-
-	-	-	-	-	-	-	-	-
Ukupni koef. gubitaka kroz prostore grijane na različitu tem.						$H_{T,ij} = \sum A_k \cdot U_k \cdot f_{ij}$	-0,8478	
UKUPNI TRANSMISIJSKI GUBICI TOPLINE					$\Phi_{T,i} = (H_{T,ie} + H_{T,iue} + H_{T,ij}) \cdot (\vartheta_{int,i} - \vartheta_e)$	W	214,852 W	
Ventilacijski toplinski gubici								
Bez ventilacijskog sustava								
Minimalni higijenski protok zraka					$V_{min,i} = V_{int} \cdot n_{min}$	m^3/h		
V_{int} , m^3	n_{min} , h^{-1}	$V_{min,i}$, m^3/h						
49,5	0,68	33,66						
Maks. protok zraka u prostoriju uslijed infiltracije kroz zazore					$V_{inf,i} = 2 \cdot V_{int} \cdot n_{50} \cdot e_i \cdot \varepsilon_i$	W		
V_{int} , m^3	n_{50} , h^{-1}	e_i			$V_{inf,i}$, m^3/h			
49,5	3	0,03			1			8,91
$V_i = \max(V_{inf,i}, V_{min,i})$								
V_i , m^3/s	ρ_{zr} , kg/m^3	$c_{p,zr}$, J/kgK	$H_{V,i}$, W/K					
0,00935	1,2	1010	11,3322					
UKUPNI VENTILACIJSKI TOPLINSKI GUBICI					$\Phi_{v,i} = H_{V,i} \cdot (\vartheta_{int,i} - \vartheta_e)$	W	271,973 W	
TOPLINA ZA ZAGRIJAVANJE ZBOG PREKIDA GRIJANJA					$\Phi_{RH,i} = A_i \cdot f_{RH}$	W		
A_i , m^2	f_{RH} , W/m^2	$\Phi_{RH,i}$, W						
20,85	6	125,1 W						
TOPLINSKO OPTEREĆENJE PROSTORIJE					$\Phi_{HL,i} = \Phi_{T,i} + \Phi_{V,i} + \Phi_{RH,i}$	W	611,925 W	

Kat 1/Stan 3													
Prostorija: kupaonica					$\vartheta_{int,i} = 24 \text{ } ^\circ\text{C}$		$\vartheta_e = -4 \text{ } ^\circ\text{C}$						
Transmisijski gubici prema vanjskom okolišu													
Oznaka	građe. element	str. sv.	dužina	šir./vi.	A_k	U_k	e_k	$A_k \cdot U_k \cdot e_k$					
-	-	-	m	m	m^2	$\text{W}/\text{m}^2\text{K}$	-	W/K					
VZ	vanjski zid	JZ	1,9	2,85	4,62	0,25	1	1,155					
PR	prozor	JZ	0,8	1	0,8	0,9	1	0,72					
-	-	-	-	-	-	-	-	-					
-	-	-	-	-	-	-	-	-					
-	-	-	-	-	-	-	-	-					
-	-	-	-	-	-	-	-	-					
Suma svih elemenata					$\sum A_k \cdot U_k \cdot e_k$	W/K	1,875						
Oznaka	toplinski most prema vanj. okolišu			str. sv.	duž. l_k	Ψ_k	e_k	$l_k \cdot \Psi_k \cdot e_k$					
-	-			-	m	W/mK	-	W/K					
-	-			-	-	-	-	-					
-	-			-	-	-	-	-					
-	-			-	-	-	-	-					
-	-			-	-	-	-	-					
-	-			-	-	-	-	-					
-	-			-	-	-	-	-					
-	-			-	-	-	-	-					
Suma toplinskih mostova					$\sum l_k \cdot \Psi_k \cdot e_k$	W/K	0						
Ukupni koef. gubitaka prema vanj. okolišu					$H_{T,ie} = \sum A_k \cdot U_k \cdot e_k + \sum l_k \cdot \Psi_k \cdot e_k$	1,875							
Transmisijski gubici kroz negrijane prostore prema vanjskom okolišu													
Oznaka	građe. element	str. sv.	dužina	šir./vi.	A_k	U_k	b_u	$A_k \cdot U_k \cdot b_u$					
-	-	-	m	m	m^2	$\text{W}/\text{m}^2\text{K}$	-	W/K					
-	-	-	-	-	-	-	-	-					
-	-	-	-	-	-	-	-	-					
-	-	-	-	-	-	-	-	-					
-	-	-	-	-	-	-	-	-					
-	-	-	-	-	-	-	-	-					
-	-	-	-	-	-	-	-	-					
Suma svih elemenata					$\sum A_k \cdot U_k \cdot b_u$	W/K	0						
Oznaka	toplinski most prema vanj. okolišu			str. sv.	duž. l_k	Ψ_k	b_u	$l_k \cdot \Psi_k \cdot b_u$					
-	-			-	m	W/mK	-	W/K					
-	-			-	-	-	-	-					
-	-			-	-	-	-	-					
-	-			-	-	-	-	-					
Suma toplinskih mostova					$\sum l_k \cdot \Psi_k \cdot b_u$	W/K	0						
Uk. koef. gub. kroz negrij. pro. prema v. ok.					$H_{T,iue} = \sum A_k \cdot U_k \cdot b_u + \sum l_k \cdot \Psi_k \cdot b_u$	0							

Transmisijski gubici kroz prostore grijane na različitu temperaturu							f_{ij}	$A_k \cdot U_k \cdot f_{ij}$			
Oznaka	građe. element	str. sv.	dužina	šir./vi.	A_k	U_k					
-	-	-	m	m	m^2	W/m^2K	-	W/K			
UZD	unut. zid debeli	SZ	2,55	2,85	7,267	0,7	0,1428	0,7267			
UZT	unut. zid tanki	SI	1,85	2,85	3,8	1	0,1428	0,54286			
UZT	unut. zid tanki	JI	2,55	2,85	7,267	1	0,1428	1,03814			
UV	unutarnja vrata	SI	0,7	2,1	1,47	1,2	0,1428	0,252			
-	-	-	-	-	-	-	-	-			
Ukupni koef. gubitaka kroz prostore grijane na različitu tem.							$H_{T,ij} = \sum A_k \cdot U_k \cdot f_{ij}$	2,5597			
UKUPNI TRANSMISIJSKI GUBICI TOPLINE							$\Phi_{T,i} = (H_{T,ie} + H_{T,iue} + H_{T,ij}) \cdot (\vartheta_{int,i} - \vartheta_e)$	W			
								124,172 W			
Ventilacijski toplinski gubici											
Bez ventilacijskog sustava											
Minimalni higijenski protok zraka							$V_{min,i} = V_{int} \cdot n_{min}$	m^3/h			
V_{int} , m ³	n_{min} , h ⁻¹	$V_{min,i}$, m ³ /h									
12	0,5	6									
Maks. protok zraka u prostoriju uslijed infiltracije kroz zazore		$V_{inf,i} = 2 \cdot V_{int} \cdot n_{50} \cdot e_i \cdot \varepsilon_i$									
V_{int} , m ³	n_{50} , h ⁻¹	e_i		ε_i		$V_{inf,i}$, m ³ /h					
12	3	0,03		1		2,16					
$V_i = \max(V_{inf,i}, V_{min,i})$											
V_i , m ³ /s	ρ_{zr} , kg/m ³	$c_{p,zr}$, J/kgK	$H_{V,i}$, W/K								
0,00167	1,2	1010	2,02404								
UKUPNI VENTILACIJSKI TOPLINSKI GUBICI		$\Phi_{v,i} = H_{V,i} \cdot (\vartheta_{int,i} - \vartheta_e)$									
								56,6731 W			
TOPLINA ZA ZAGRIJAVANJE ZBOG PREKIDA GRIJANJA		$\Phi_{RH,i} = A_i \cdot f_{RH}$									
A_i , m ²	f_{RH} , W/m ²	$\Phi_{RH,i}$, W									
5,28	6	31,68 W									
TOPLINSKO OPTEREĆENJE PROSTORIJE		$\Phi_{HL,i} = \Phi_{T,i} + \Phi_{V,i} + \Phi_{RH,i}$									
								212,525 W			

Kat 1/Stan 3								
Prostorija: spavaća soba 1					$\vartheta_{int,i} = 20 \text{ } ^\circ\text{C}$	$\vartheta_e = -4 \text{ } ^\circ\text{C}$		
Transmisijski gubici prema vanjskom okolišu								
Oznaka	građe. element	str. sv.	dužina	šir./vi.	A_k	U_k	e_k	$A_k \cdot U_k \cdot e_k$
-	-	-	m	m	m^2	$\text{W}/\text{m}^2\text{K}$	-	W/K
VZ	vanjski zid	SZ	1,625	2,85	4,71	0,25	1	1,1575
VZ	vanjski zid	JZ	2,8	2,85	7,16	0,25	1	1,755
VZ	vanjski zid	JI	1,625	2,85	4,71	0,25	1	1,1575
PR	prozor	JZ	0,8	1,2	0,96	0,9	1	0,864
-	-	-	-	-	-	-	-	-
-	-	-	-	-	-	-	-	-
Suma svih elemenata		$\sum A_k \cdot U_k \cdot e_k$					W/K	4,934
Oznaka	toplinski most prema vanj. okolišu			str. sv.	duž. l_k	Ψ_k	e_k	$l_k \cdot \Psi_k \cdot e_k$
-	-			-	m	W/mK	-	W/K
-	-			-	-	-	-	-
-	-			-	-	-	-	-
-	-			-	-	-	-	-
-	-			-	-	-	-	-
-	-			-	-	-	-	-
-	-			-	-	-	-	-
-	-			-	-	-	-	-
Suma toplinskih mostova		$\sum l_k \cdot \Psi_k \cdot e_k$					W/K	0
Ukupni koef. gubitaka prema vanj. okolišu				$H_{T,ie} = \sum A_k \cdot U_k \cdot e_k + \sum l_k \cdot \Psi_k \cdot e_k$				
Transmisijski gubici kroz negrijane prostore prema vanjskom okolišu								
Oznaka	građe. element	str. sv.	dužina	šir./vi.	A_k	U_k	b_u	$A_k \cdot U_k \cdot b_u$
-	-	-	m	m	m^2	$\text{W}/\text{m}^2\text{K}$	-	W/K
-	-	-	-	-	-	-	-	-
-	-	-	-	-	-	-	-	-
-	-	-	-	-	-	-	-	-
-	-	-	-	-	-	-	-	-
-	-	-	-	-	-	-	-	-
-	-	-	-	-	-	-	-	-
Suma svih elemenata		$\sum A_k \cdot U_k \cdot b_u$					W/K	0
Oznaka	toplinski most prema vanj. okolišu			str. sv.	duž. l_k	Ψ_k	b_u	$l_k \cdot \Psi_k \cdot b_u$
-	-			-	m	W/mK	-	W/K
-	-			-	-	-	-	-
-	-			-	-	-	-	-
-	-			-	-	-	-	-
Suma toplinskih mostova		$\sum l_k \cdot \Psi_k \cdot b_u$					W/K	0
Uk. koef. gub. kroz negrij. pro. prema v. ok.				$H_{T,iue} = \sum A_k \cdot U_k \cdot b_u + \sum l_k \cdot \Psi_k \cdot b_u$				

Transmisijski gubici kroz prostore grijane na različitu temperaturu								
Oznaka	građe. element	str. sv.	dužina	šir./vi.	A_k	U_k	f_{ij}	$A_k \cdot U_k \cdot f_{ij}$
-	-	-	m	m	m^2	$W/m^2 K$	-	W/K
UZT	unut. zid tanki	SZ	2,55	2,85	7,267	1	-0,166	-1,2112
-	-	-	-	-	-	-	-	-
-	-	-	-	-	-	-	-	-
-	-	-	-	-	-	-	-	-
-	-	-	-	-	-	-	-	-
Ukupni koef. gubitaka kroz prostore grijane na različitu tem.							$H_{T,ij} = \sum A_k \cdot U_k \cdot f_{ij}$	-1,2112
UKUPNI TRANSMISIJSKI GUBICI TOPLINE							$\Phi_{T,i} = (H_{T,ie} + H_{T,iue} + H_{T,ij}) \cdot (\vartheta_{int,i} - \vartheta_e)$	W
								89,348 W
Ventilacijski toplinski gubici								
Bez ventilacijskog sustava								
Minimalni higijenski protok zraka							$V_{min,i} = V_{int} \cdot n_{min}$	m^3/h
V_{int} , m ³	n_{min} , h ⁻¹	$V_{min,i}$, m ³ /h						
22,53	0,5	11,265						
Maks. protok zraka u prostoriju uslijed infiltracije kroz zazore		$V_{inf,i} = 2 \cdot V_{int} \cdot n_{50} \cdot e_i \cdot \varepsilon_i$						
V_{int} , m ³	n_{50} , h ⁻¹	e_i	ε_i	$V_{inf,i}$, m ³ /h				
22,53	3	0,03	1					
$V_i = \max(V_{inf,i}, V_{min,i})$								
V_i , m ³ /s	ρ_{zr} , kg/m ³	$c_{p,zr}$, J/kgK	$H_{V,i}$, W/K					
0,00312	1,2	1010	3,78144					
UKUPNI VENTILACIJSKI TOPLINSKI GUBICI		$\Phi_{v,i} = H_{V,i} \cdot (\vartheta_{int,i} - \vartheta_e)$						
								90,7546 W
TOPLINA ZA ZAGRIJAVANJE ZBOG PREKIDA GRIJANJA		$\Phi_{RH,i} = A_i \cdot f_{RH}$						
A_i , m ²	f_{RH} , W/m ²	$\Phi_{RH,i}$, W						
9,61	6	57,66 W						
TOPLINSKO OPTEREĆENJE PROSTORIJE		$\Phi_{HL,i} = \Phi_{T,i} + \Phi_{V,i} + \Phi_{RH,i}$						
								237,763 W

Kat 1/Stan 3								
Prostorija: spavaća soba 2					$\vartheta_{int,i} = 20 \text{ } ^\circ\text{C}$	$\vartheta_e = -4 \text{ } ^\circ\text{C}$		
Transmisijski gubici prema vanjskom okolišu								
Oznaka	građe. element	str. sv.	dužina	šir./vi.	A_k	U_k	e_k	$A_k \cdot U_k \cdot e_k$
-	-	-	m	m	m^2	$\text{W}/\text{m}^2\text{K}$	-	W/K
VZ	vanjski zid	JI	4,575	2,85	12,08	0,25	1	3,02
VZ	vanjski zid	JZ	2,525	2,85	5,43	0,25	1	1,3575
PR	prozor	JI	0,8	1,2	0,96	0,9	1	0,864
MBV	mala balk. vrata	JZ	0,8	2,2	1,76	0,9	1	1,584
-	-	-	-	-	-	-	-	-
-	-	-	-	-	-	-	-	-
Suma svih elemenata		$\sum A_k \cdot U_k \cdot e_k$					W/K	6,8255
Oznaka	toplinski most prema vanj. okolišu			str. sv.	duž. l_k	Ψ_k	e_k	$l_k \cdot \Psi_k \cdot e_k$
-	-			-	m	W/mK	-	W/K
-	-			-	-	-	-	-
-	-			-	-	-	-	-
-	-			-	-	-	-	-
-	-			-	-	-	-	-
-	-			-	-	-	-	-
-	-			-	-	-	-	-
-	-			-	-	-	-	-
Suma toplinskih mostova		$\sum l_k \cdot \Psi_k \cdot e_k$					W/K	0
Ukupni koef. gubitaka prema vanj. okolišu				$H_{T,ie} = \sum A_k \cdot U_k \cdot e_k + \sum l_k \cdot \Psi_k \cdot e_k$				
Transmisijski gubici kroz negrijane prostore prema vanjskom okolišu								
Oznaka	građe. element	str. sv.	dužina	šir./vi.	A_k	U_k	b_u	$A_k \cdot U_k \cdot b_u$
-	-	-	m	m	m^2	$\text{W}/\text{m}^2\text{K}$	-	W/K
ZS	zid prema stub.	SI	2,375	2,85	6,768	0,35	0,4	0,94752
-	-	-	-	-	-	-	-	-
-	-	-	-	-	-	-	-	-
-	-	-	-	-	-	-	-	-
-	-	-	-	-	-	-	-	-
-	-	-	-	-	-	-	-	-
Suma svih elemenata		$\sum A_k \cdot U_k \cdot b_u$					W/K	0,94752
Oznaka	toplinski most prema vanj. okolišu			str. sv.	duž. l_k	Ψ_k	b_u	$l_k \cdot \Psi_k \cdot b_u$
-	-			-	m	W/mK	-	W/K
-	-			-	-	-	-	-
-	-			-	-	-	-	-
-	-			-	-	-	-	-
Suma toplinskih mostova		$\sum l_k \cdot \Psi_k \cdot b_u$					W/K	0
Uk. koef. gub. kroz negrij. pro. prema v. ok.				$H_{T,iue} = \sum A_k \cdot U_k \cdot b_u + \sum l_k \cdot \Psi_k \cdot b_u$				

Transmisijski gubici kroz prostore grijane na različitu temperaturu							f_{ij}	$A_k \cdot U_k \cdot f_{ij}$
Oznaka	građe. element	str. sv.	dužina	šir./vi.	A_k	U_k		
-	-	-	m	m	m^2	W/m ² K	-	W/K
-	-	-	-	-	-	-	-	-
-	-	-	-	-	-	-	-	-
-	-	-	-	-	-	-	-	-
-	-	-	-	-	-	-	-	-
-	-	-	-	-	-	-	-	-
Ukupni koef. gubitaka kroz prostore grijane na različitu tem.							$H_{T,ij} = \sum A_k \cdot U_k \cdot f_{ij}$	0
UKUPNI TRANSMISIJSKI GUBICI TOPLINE							$\Phi_{T,i} = (H_{T,ie} + H_{T,iue} + H_{T,ij}) \cdot (\vartheta_{int,i} - \vartheta_e)$	W
								186,552 W
Ventilacijski toplinski gubici								
Bez ventilacijskog sustava								
Minimalni higijenski protok zraka							$V_{min,i} = V_{int} \cdot n_{min}$	m ³ /h
V_{int} , m ³	n_{min} , h ⁻¹		$V_{min,i}$, m ³ /h					
24,99	0,5		12,495					
Maks. protok zraka u prostoriju uslijed infiltracije kroz zazore							$V_{inf,i} = 2 \cdot V_{int} \cdot n_{50} \cdot e_i \cdot \varepsilon_i$	
V_{int} , m ³	n_{50} , h ⁻¹		e_i		ε_i		$V_{inf,i}$, m ³ /h	
24,99	3		0,03		1		4,4982	
$V_i = \max(V_{inf,i}, V_{min,i})$								
V_i , m ³ /s	ρ_{zr} , kg/m ³		$c_{p,zr}$, J/kgK		$H_{V,i}$, W/K			
0,00347	1,2		1010		4,20564			
UKUPNI VENTILACIJSKI TOPLINSKI GUBICI							$\Phi_{v,i} = H_{V,i} \cdot (\vartheta_{int,i} - \vartheta_e)$	W
								100,935 W
TOPLINA ZA ZAGRIJAVANJE ZBOG PREKIDA GRIJANJA							$\Phi_{RH,i} = A_i \cdot f_{RH}$	W
A_i , m ²	f_{RH} , W/m ²		$\Phi_{RH,i}$, W					
10,74	6		64,44 W					
TOPLINSKO OPTEREĆENJE PROSTORIJE							$\Phi_{HL,i} = \Phi_{T,i} + \Phi_{V,i} + \Phi_{RH,i}$	W
								351,928 W

Kat 1/Stan 4										
Prostorija: ulazni prostor					$\vartheta_{int,i} = 20 \text{ } ^\circ\text{C}$	$\vartheta_e = -4 \text{ } ^\circ\text{C}$				
Transmisijski gubici prema vanjskom okolišu										
Oznaka	građe. element	str. sv.	dužina	šir./vi.	A_k	U_k	e_k	$A_k \cdot U_k \cdot e_k$		
-	-	-	m	m	m^2	$\text{W}/\text{m}^2\text{K}$	-	W/K		
-	-	-	-	-	-	-	-	-		
-	-	-	-	-	-	-	-	-		
-	-	-	-	-	-	-	-	-		
-	-	-	-	-	-	-	-	-		
-	-	-	-	-	-	-	-	-		
-	-	-	-	-	-	-	-	-		
Suma svih elemenata		$\sum A_k \cdot U_k \cdot e_k \text{ W/K}$					-			
Oznaka	toplinski most prema vanj. okolišu			str. sv.	duž. l_k	Ψ_k	e_k	$l_k \cdot \Psi_k \cdot e_k$		
-	-			-	m	W/mK	-	W/K		
-	-			-	-	-	-	-		
-	-			-	-	-	-	-		
-	-			-	-	-	-	-		
-	-			-	-	-	-	-		
-	-			-	-	-	-	-		
-	-			-	-	-	-	-		
-	-			-	-	-	-	-		
Suma toplinskih mostova		$\sum l_k \cdot \Psi_k \cdot e_k \text{ W/K}$					-			
Ukupni koef. gubitaka prema vanj. okolišu				$H_{T,ie} = \sum A_k \cdot U_k \cdot e_k + \sum l_k \cdot \Psi_k \cdot e_k$						
Transmisijski gubici kroz negrijane prostore prema vanjskom okolišu										
Oznaka	građe. element	str. sv.	dužina	šir./vi.	A_k	U_k	b_u	$A_k \cdot U_k \cdot b_u$		
-	-	-	m	m	m^2	$\text{W}/\text{m}^2\text{K}$	-	W/K		
ZS	zid prema stub.	JI	1,5	2,85	4,275	0,35	0,4	0,5985		
ZS	zid prema stub.	JZ	2,75	2,85	5,737	0,35	0,4	0,80318		
-	-	-	-	-	-	-	-	-		
VV	vanjska vrata	JZ	1	2,1	2,1	1	0,4	0,84		
-	-	-	-	-	-	-	-	-		
-	-	-	-	-	-	-	-	-		
Suma svih elemenata		$\sum A_k \cdot U_k \cdot b_u \text{ W/K}$					2,24168			
Oznaka	toplinski most prema vanj. okolišu			str. sv.	duž. l_k	Ψ_k	b_u	$l_k \cdot \Psi_k \cdot b_u$		
-	-			-	m	W/mK	-	W/K		
-	-			-	-	-	-	-		
-	-			-	-	-	-	-		
-	-			-	-	-	-	-		
Suma toplinskih mostova		$\sum l_k \cdot \Psi_k \cdot b_u \text{ W/K}$					0			
Uk. koef. gub. kroz negrij. pro. prema v. ok.				$H_{T,iue} = \sum A_k \cdot U_k \cdot b_u + \sum l_k \cdot \Psi_k \cdot b_u$						

Transmisijski gubici kroz prostore grijane na različitu temperaturu							f_{ij}	$A_k \cdot U_k \cdot f_{ij}$	
Oznaka	građe. element	str. sv.	dužina	šir./vi.	A_k	U_k			
-	-	-	m	m	m^2	$W/m^2 K$	-	W/K	
UZT	unut. tanki zid	SI	1,85	2,85	3,8	1	-0,166	-0,6333	
UV	unutarnja vrata	SI	0,7	2,1	1,47	1,2	-0,166	-0,294	
-	-	-	-	-	-	-	-	-	
-	-	-	-	-	-	-	-	-	
-	-	-	-	-	-	-	-	-	
Ukupni koef. gubitaka kroz prostore grijane na različitu tem.							$H_{T,ij} = \sum A_k \cdot U_k \cdot f_{ij}$	-0,9273	
UKUPNI TRANSMISIJSKI GUBICI TOPLINE							$\Phi_{T,i} = (H_{T,ie} + H_{T,iue} + H_{T,ij}) \cdot (\vartheta_{int,i} - \vartheta_e)$	W	
								31,5443 W	
Ventilacijski toplinski gubici									
Bez ventilacijskog sustava									
Minimalni higijenski protok zraka							$V_{min,i} = V_{int} \cdot n_{min}$	m^3/h	
V_{int} , m ³	n_{min} , h ⁻¹	$V_{min,i}$, m ³ /h							
15,77	0,5	7,885							
Maks. protok zraka u prostoriju uslijed infiltracije kroz zazore		$V_{inf,i} = 2 \cdot V_{int} \cdot n_{50} \cdot e_i \cdot \varepsilon_i$							
V_{int} , m ³	n_{50} , h ⁻¹	e_i	ε_i	$V_{inf,i}$, m ³ /h					
15,77	3	0,03	1						
$V_i = \max(V_{inf,i}, V_{min,i})$									
V_i , m ³ /s	ρ_{zr} , kg/m ³	$c_{p,zr}$, J/kgK	$H_{V,i}$, W/K						
0,00219	1,2	1010	2,65428						
UKUPNI VENTILACIJSKI TOPLINSKI GUBICI		$\Phi_{v,i} = H_{V,i} \cdot (\vartheta_{int,i} - \vartheta_e)$							
								63,7027 W	
TOPLINA ZA ZAGRIJAVANJE ZBOG PREKIDA GRIJANJA		$\Phi_{RH,i} = A_i \cdot f_{RH}$							
A_i , m ²	f_{RH} , W/m ²	$\Phi_{RH,i}$, W							
7,15	6	42,9 W							
TOPLINSKO OPTEREĆENJE PROSTORIJE		$\Phi_{HL,i} = \Phi_{T,i} + \Phi_{V,i} + \Phi_{RH,i}$							
								138,147 W	

Kat 1/Stan 4											
Prostorija: dnevni boravak i kuhinja					$\vartheta_{int,i} = 20 \text{ } ^\circ\text{C}$	$\vartheta_e = -4 \text{ } ^\circ\text{C}$					
Transmisijski gubici prema vanjskom okolišu											
Oznaka	građe. element	str. sv.	dužina	šir./vi.	A_k	U_k	e_k	$A_k \cdot U_k \cdot e_k$			
-	-	-	m	m	m^2	$\text{W}/\text{m}^2\text{K}$	-	W/K			
VZ	vanjski zid	SI	2	2,85	4,74	0,25	1	1,185			
VZ	vanjski zid	SZ	1,025	2,85	2,92	0,25	1	0,73			
VZ	vanjski zid	SI	2,675	2,85	7,62	0,25	1	1,905			
VZ	vanjski zid	SZ	4,5	2,85	9,88	0,25	1	2,47			
VBV	velika balk. vr.	SZ	1,4	2,1	2,94	0,9	1	2,646			
PR	prozor	SI	0,8	1,2	0,96	0,9	1	0,864			
Suma svih elemenata					$\sum A_k \cdot U_k \cdot e_k$	W/K		9,8			
Oznaka	toplinski most prema vanj. okolišu			str. sv.	duž. l_k	Ψ_k	e_k	$l_k \cdot \Psi_k \cdot e_k$			
-	-			-	m	W/mK	-	W/K			
-	-			-	-	-	-	-			
-	-			-	-	-	-	-			
-	-			-	-	-	-	-			
-	-			-	-	-	-	-			
-	-			-	-	-	-	-			
-	-			-	-	-	-	-			
-	-			-	-	-	-	-			
Suma toplinskih mostova					$\sum l_k \cdot \Psi_k \cdot e_k$	W/K		0			
Ukupni koef. gubitaka prema vanj. okolišu					$H_{T,ie} = \sum A_k \cdot U_k \cdot e_k + \sum l_k \cdot \Psi_k \cdot e_k$			9,8			
Transmisijski gubici kroz negrijane prostore prema vanjskom okolišu											
Oznaka	građe. element	str. sv.	dužina	šir./vi.	A_k	U_k	b_u	$A_k \cdot U_k \cdot b_u$			
-	-	-	m	m	m^2	$\text{W}/\text{m}^2\text{K}$	-	W/K			
-	-	-	-	-	-	-	-	-			
-	-	-	-	-	-	-	-	-			
-	-	-	-	-	-	-	-	-			
-	-	-	-	-	-	-	-	-			
-	-	-	-	-	-	-	-	-			
-	-	-	-	-	-	-	-	-			
Suma svih elemenata					$\sum A_k \cdot U_k \cdot b_u$	W/K		0			
Oznaka	toplinski most prema vanj. okolišu			str. sv.	duž. l_k	Ψ_k	b_u	$l_k \cdot \Psi_k \cdot b_u$			
-	-			-	m	W/mK	-	W/K			
-	-			-	-	-	-	-			
-	-			-	-	-	-	-			
-	-			-	-	-	-	-			
Suma toplinskih mostova					$\sum l_k \cdot \Psi_k \cdot b_u$	W/K		0			
Uk. koef. gub. kroz negrij. pro. prema v. ok.					$H_{T,iue} = \sum A_k \cdot U_k \cdot b_u + \sum l_k \cdot \Psi_k \cdot b_u$			0			

Transmisijski gubici kroz prostore grijane na različitu temperaturu							f_{ij}	$A_k \cdot U_k \cdot f_{ij}$
Oznaka	građe. element	str. sv.	dužina	šir./vi.	A_k	U_k		
-	-	-	m	m	m^2	W/m^2K	-	W/K
UZD	unut. zid debeli	JI	2,55	2,85	7,267	0,7	-0,166	-0,8478
-	-	-	-	-	-	-	-	-
-	-	-	-	-	-	-	-	-
-	-	-	-	-	-	-	-	-
-	-	-	-	-	-	-	-	-
Ukupni koef. gubitaka kroz prostore grijane na različitu tem.						$H_{T,ij} = \sum A_k \cdot U_k \cdot f_{ij}$	-0,8478	
UKUPNI TRANSMISIJSKI GUBICI TOPLINE					$\Phi_{T,i} = (H_{T,ie} + H_{T,iue} + H_{T,ij}) \cdot (\vartheta_{int,i} - \vartheta_e)$	W	214,852 W	
Ventilacijski toplinski gubici								
Bez ventilacijskog sustava								
Minimalni higijenski protok zraka					$V_{min,i} = V_{int} \cdot n_{min}$	m^3/h		
V_{int} , m^3	n_{min} , h^{-1}	$V_{min,i}$, m^3/h						
49,5	0,68	33,66						
Maks. protok zraka u prostoriju uslijed infiltracije kroz zazore					$V_{inf,i} = 2 \cdot V_{int} \cdot n_{50} \cdot e_i \cdot \varepsilon_i$	W		
V_{int} , m^3	n_{50} , h^{-1}	e_i			$V_{inf,i}$, m^3/h			
49,5	3	0,03			1			8,91
$V_i = \max(V_{inf,i}, V_{min,i})$								
V_i , m^3/s	ρ_{zr} , kg/m^3	$c_{p,zr}$, J/kgK	$H_{V,i}$, W/K					
0,00935	1,2	1010	11,3322					
UKUPNI VENTILACIJSKI TOPLINSKI GUBICI					$\Phi_{v,i} = H_{V,i} \cdot (\vartheta_{int,i} - \vartheta_e)$	W	271,973 W	
TOPLINA ZA ZAGRIJAVANJE ZBOG PREKIDA GRIJANJA					$\Phi_{RH,i} = A_i \cdot f_{RH}$	W		
A_i , m^2	f_{RH} , W/m^2	$\Phi_{RH,i}$, W						
20,85	6	125,1 W						
TOPLINSKO OPTEREĆENJE PROSTORIJE					$\Phi_{HL,i} = \Phi_{T,i} + \Phi_{V,i} + \Phi_{RH,i}$	W	611,925 W	

Kat 1/Stan 4													
Prostorija: kupaonica					$\vartheta_{int,i} = 24 \text{ } ^\circ\text{C}$		$\vartheta_e = -4 \text{ } ^\circ\text{C}$						
Transmisijski gubici prema vanjskom okolišu													
Oznaka	građe. element	str. sv.	dužina	šir./vi.	A_k	U_k	e_k	$A_k \cdot U_k \cdot e_k$					
-	-	-	m	m	m^2	$\text{W}/\text{m}^2\text{K}$	-	W/K					
VZ	vanjski zid	SI	1,9	2,85	4,62	0,25	1	1,155					
PR	prozor	SI	0,8	1	0,8	0,9	1	0,72					
-	-	-	-	-	-	-	-	-					
-	-	-	-	-	-	-	-	-					
-	-	-	-	-	-	-	-	-					
-	-	-	-	-	-	-	-	-					
Suma svih elemenata					$\sum A_k \cdot U_k \cdot e_k$	W/K	1,875						
Oznaka	toplinski most prema vanj. okolišu			str. sv.	duž. l_k	Ψ_k	e_k	$l_k \cdot \Psi_k \cdot e_k$					
-	-			-	m	W/mK	-	W/K					
-	-			-	-	-	-	-					
-	-			-	-	-	-	-					
-	-			-	-	-	-	-					
-	-			-	-	-	-	-					
-	-			-	-	-	-	-					
-	-			-	-	-	-	-					
-	-			-	-	-	-	-					
Suma toplinskih mostova					$\sum l_k \cdot \Psi_k \cdot e_k$	W/K	0						
Ukupni koef. gubitaka prema vanj. okolišu					$H_{T,ie} = \sum A_k \cdot U_k \cdot e_k + \sum l_k \cdot \Psi_k \cdot e_k$	1,875							
Transmisijski gubici kroz negrijane prostore prema vanjskom okolišu													
Oznaka	građe. element	str. sv.	dužina	šir./vi.	A_k	U_k	b_u	$A_k \cdot U_k \cdot b_u$					
-	-	-	m	m	m^2	$\text{W}/\text{m}^2\text{K}$	-	W/K					
-	-	-	-	-	-	-	-	-					
-	-	-	-	-	-	-	-	-					
-	-	-	-	-	-	-	-	-					
-	-	-	-	-	-	-	-	-					
-	-	-	-	-	-	-	-	-					
-	-	-	-	-	-	-	-	-					
Suma svih elemenata					$\sum A_k \cdot U_k \cdot b_u$	W/K	0						
Oznaka	toplinski most prema vanj. okolišu			str. sv.	duž. l_k	Ψ_k	b_u	$l_k \cdot \Psi_k \cdot b_u$					
-	-			-	m	W/mK	-	W/K					
-	-			-	-	-	-	-					
-	-			-	-	-	-	-					
-	-			-	-	-	-	-					
Suma toplinskih mostova					$\sum l_k \cdot \Psi_k \cdot b_u$	W/K	0						
Uk. koef. gub. kroz negrij. pro. prema v. ok.					$H_{T,iue} = \sum A_k \cdot U_k \cdot b_u + \sum l_k \cdot \Psi_k \cdot b_u$	0							

Transmisijski gubici kroz prostore grijane na različitu temperaturu							f_{ij}	$A_k \cdot U_k \cdot f_{ij}$
Oznaka	građe. element	str. sv.	dužina	šir./vi.	A_k	U_k		
-	-	-	m	m	m^2	W/m^2K	-	W/K
UZD	unut. zid debeli	SZ	2,55	2,85	7,267	0,7	0,1428	0,7267
UZT	unut. zid tanki	JZ	1,85	2,85	3,8	1	0,1428	0,54286
UZT	unut. zid tanki	JI	2,55	2,85	7,267	1	0,1428	1,03814
UV	unutarnja vrata	JZ	0,7	2,1	1,47	1,2	0,1428	0,252
-	-	-	-	-	-	-	-	-
Ukupni koef. gubitaka kroz prostore grijane na različitu tem.							$H_{T,ij} = \sum A_k \cdot U_k \cdot f_{ij}$	2,5597
UKUPNI TRANSMISIJSKI GUBICI TOPLINE							$\Phi_{T,i} = (H_{T,ie} + H_{T,iue} + H_{T,ij}) \cdot (\vartheta_{int,i} - \vartheta_e)$	W
								124,172 W
Ventilacijski toplinski gubici								
Bez ventilacijskog sustava								
Minimalni higijenski protok zraka							$V_{min,i} = V_{int} \cdot n_{min}$	m^3/h
V_{int} , m ³	n_{min} , h ⁻¹	$V_{min,i}$, m ³ /h						
12	0,5	6						
Maks. protok zraka u prostoriju uslijed infiltracije kroz zazore							$V_{inf,i} = 2 \cdot V_{int} \cdot n_{50} \cdot e_i \cdot \varepsilon_i$	
V_{int} , m ³	n_{50} , h ⁻¹	e_i	ε_i				$V_{inf,i}$, m ³ /h	
12	3	0,03	1				2,16	
$V_i = \max(V_{inf,i}, V_{min,i})$								
V_i , m ³ /s	ρ_{zr} , kg/m ³	$c_{p,zr}$, J/kgK	$H_{V,i}$, W/K					
0,00167	1,2	1010	2,02404					
UKUPNI VENTILACIJSKI TOPLINSKI GUBICI						$\Phi_{v,i} = H_{V,i} \cdot (\vartheta_{int,i} - \vartheta_e)$	W	
								56,6731 W
TOPLINA ZA ZAGRIJAVANJE ZBOG PREKIDA GRIJANJA							$\Phi_{RH,i} = A_i \cdot f_{RH}$	W
A_i , m ²	f_{RH} , W/m ²	$\Phi_{RH,i}$, W						
5,28	6	31,68 W						
TOPLINSKO OPTEREĆENJE PROSTORIJE						$\Phi_{HL,i} = \Phi_{T,i} + \Phi_{V,i} + \Phi_{RH,i}$	W	
								212,525 W

Kat 1/Stan 4								
Prostorija: spavaća soba 1					$\vartheta_{int,i} = 20 \text{ } ^\circ\text{C}$	$\vartheta_e = -4 \text{ } ^\circ\text{C}$		
Transmisijski gubici prema vanjskom okolišu								
Oznaka	građe. element	str. sv.	dužina	šir./vi.	A_k	U_k	e_k	$A_k \cdot U_k \cdot e_k$
-	-	-	m	m	m^2	$\text{W}/\text{m}^2\text{K}$	-	W/K
VZ	vanjski zid	SZ	1,625	2,85	4,71	0,25	1	1,1575
VZ	vanjski zid	SI	2,8	2,85	7,16	0,25	1	1,755
VZ	vanjski zid	JI	1,625	2,85	4,71	0,25	1	1,1575
PR	prozor	SI	0,8	1,2	0,96	0,9	1	0,864
-	-	-	-	-	-	-	-	-
-	-	-	-	-	-	-	-	-
Suma svih elemenata		$\sum A_k \cdot U_k \cdot e_k$					W/K	4,934
Oznaka	toplinski most prema vanj. okolišu			str. sv.	duž. l_k	Ψ_k	e_k	$l_k \cdot \Psi_k \cdot e_k$
-	-			-	m	W/mK	-	W/K
-	-			-	-	-	-	-
-	-			-	-	-	-	-
-	-			-	-	-	-	-
-	-			-	-	-	-	-
-	-			-	-	-	-	-
-	-			-	-	-	-	-
-	-			-	-	-	-	-
Suma toplinskih mostova		$\sum l_k \cdot \Psi_k \cdot e_k$					W/K	0
Ukupni koef. gubitaka prema vanj. okolišu				$H_{T,ie} = \sum A_k \cdot U_k \cdot e_k + \sum l_k \cdot \Psi_k \cdot e_k$				
Transmisijski gubici kroz negrijane prostore prema vanjskom okolišu								
Oznaka	građe. element	str. sv.	dužina	šir./vi.	A_k	U_k	b_u	$A_k \cdot U_k \cdot b_u$
-	-	-	m	m	m^2	$\text{W}/\text{m}^2\text{K}$	-	W/K
-	-	-	-	-	-	-	-	-
-	-	-	-	-	-	-	-	-
-	-	-	-	-	-	-	-	-
-	-	-	-	-	-	-	-	-
-	-	-	-	-	-	-	-	-
-	-	-	-	-	-	-	-	-
Suma svih elemenata		$\sum A_k \cdot U_k \cdot b_u$					W/K	0
Oznaka	toplinski most prema vanj. okolišu			str. sv.	duž. l_k	Ψ_k	b_u	$l_k \cdot \Psi_k \cdot b_u$
-	-			-	m	W/mK	-	W/K
-	-			-	-	-	-	-
-	-			-	-	-	-	-
-	-			-	-	-	-	-
Suma toplinskih mostova		$\sum l_k \cdot \Psi_k \cdot b_u$					W/K	0
Uk. koef. gub. kroz negrij. pro. prema v. ok.				$H_{T,iue} = \sum A_k \cdot U_k \cdot b_u + \sum l_k \cdot \Psi_k \cdot b_u$				

Transmisijski gubici kroz prostore grijane na različitu temperaturu							f_{ij}	$A_k \cdot U_k \cdot f_{ij}$
Oznaka	građe. element	str. sv.	dužina	šir./vi.	A_k	U_k		
-	-	-	m	m	m^2	$W/m^2 K$	-	W/K
UZT	unut. zid tanki	SZ	2,55	2,85	7,267	1	-0,166	-1,2112
-	-	-	-	-	-	-	-	-
-	-	-	-	-	-	-	-	-
-	-	-	-	-	-	-	-	-
-	-	-	-	-	-	-	-	-
Ukupni koef. gubitaka kroz prostore grijane na različitu tem.						$H_{T,ij} = \sum A_k \cdot U_k \cdot f_{ij}$	-1,2112	
UKUPNI TRANSMISIJSKI GUBICI TOPLINE					$\Phi_{T,i} = (H_{T,ie} + H_{T,iue} + H_{T,ij}) \cdot (\vartheta_{int,i} - \vartheta_e)$	W	89,348 W	
Ventilacijski toplinski gubici								
Bez ventilacijskog sustava								
Minimalni higijenski protok zraka					$V_{min,i} = V_{int} \cdot n_{min}$	m^3/h		
V_{int} , m^3	n_{min} , h^{-1}	$V_{min,i}$, m^3/h						
22,53	0,5	11,265						
Maks. protok zraka u prostoriju uslijed infiltracije kroz zazore					$V_{inf,i} = 2 \cdot V_{int} \cdot n_{50} \cdot e_i \cdot \varepsilon_i$	W		
V_{int} , m^3	n_{50} , h^{-1}	e_i			ε_i	$V_{inf,i}$, m^3/h		
22,53	3	0,03			1	4,0554		
$V_i = \max(V_{inf,i}, V_{min,i})$								
V_i , m^3/s	ρ_{zr} , kg/m^3	$c_{p,zr}$, J/kgK	$H_{V,i}$, W/K					
0,00312	1,2	1010	3,78144					
UKUPNI VENTILACIJSKI TOPLINSKI GUBICI					$\Phi_{v,i} = H_{V,i} \cdot (\vartheta_{int,i} - \vartheta_e)$	W	90,7546 W	
TOPLINA ZA ZAGRIJAVANJE ZBOG PREKIDA GRIJANJA					$\Phi_{RH,i} = A_i \cdot f_{RH}$	W		
A_i , m^2	f_{RH} , W/m^2	$\Phi_{RH,i}$, W						
9,61	6	57,66 W						
TOPLINSKO OPTEREĆENJE PROSTORIJE					$\Phi_{HL,i} = \Phi_{T,i} + \Phi_{V,i} + \Phi_{RH,i}$	W	237,763 W	

Kat 1/Stan 4								
Prostorija: spavaća soba 2					$\vartheta_{int,i} = 20 \text{ } ^\circ\text{C}$	$\vartheta_e = -4 \text{ } ^\circ\text{C}$		
Transmisijski gubici prema vanjskom okolišu								
Oznaka	građe. element	str. sv.	dužina	šir./vi.	A_k	U_k	e_k	$A_k \cdot U_k \cdot e_k$
-	-	-	m	m	m^2	$\text{W}/\text{m}^2\text{K}$	-	W/K
VZ	vanjski zid	JI	4,575	2,85	12,08	0,25	1	3,02
VZ	vanjski zid	SI	2,525	2,85	5,43	0,25	1	1,3575
PR	prozor	JI	0,8	1,2	0,96	0,9	1	0,864
MBV	mala balk. vrata	SI	0,8	2,2	1,76	0,9	1	1,584
-	-	-	-	-	-	-	-	-
-	-	-	-	-	-	-	-	-
Suma svih elemenata		$\sum A_k \cdot U_k \cdot e_k$					W/K	6,8255
Oznaka	toplinski most prema vanj. okolišu			str. sv.	duž. l_k	Ψ_k	e_k	$l_k \cdot \Psi_k \cdot e_k$
-	-			-	m	W/mK	-	W/K
-	-			-	-	-	-	-
-	-			-	-	-	-	-
-	-			-	-	-	-	-
-	-			-	-	-	-	-
-	-			-	-	-	-	-
-	-			-	-	-	-	-
-	-			-	-	-	-	-
Suma toplinskih mostova		$\sum l_k \cdot \Psi_k \cdot e_k$					W/K	0
Ukupni koef. gubitaka prema vanj. okolišu				$H_{T,ie} = \sum A_k \cdot U_k \cdot e_k + \sum l_k \cdot \Psi_k \cdot e_k$				
Transmisijski gubici kroz negrijane prostore prema vanjskom okolišu								
Oznaka	građe. element	str. sv.	dužina	šir./vi.	A_k	U_k	b_u	$A_k \cdot U_k \cdot b_u$
-	-	-	m	m	m^2	$\text{W}/\text{m}^2\text{K}$	-	W/K
ZS	zid prema stub.	JZ	2,375	2,85	6,768	0,35	0,4	0,94752
-	-	-	-	-	-	-	-	-
-	-	-	-	-	-	-	-	-
-	-	-	-	-	-	-	-	-
-	-	-	-	-	-	-	-	-
-	-	-	-	-	-	-	-	-
Suma svih elemenata		$\sum A_k \cdot U_k \cdot b_u$					W/K	0,94752
Oznaka	toplinski most prema vanj. okolišu			str. sv.	duž. l_k	Ψ_k	b_u	$l_k \cdot \Psi_k \cdot b_u$
-	-			-	m	W/mK	-	W/K
-	-			-	-	-	-	-
-	-			-	-	-	-	-
-	-			-	-	-	-	-
Suma toplinskih mostova		$\sum l_k \cdot \Psi_k \cdot b_u$					W/K	0
Uk. koef. gub. kroz negrij. pro. prema v. ok.				$H_{T,iue} = \sum A_k \cdot U_k \cdot b_u + \sum l_k \cdot \Psi_k \cdot b_u$				

Transmisijski gubici kroz prostore grijane na različitu temperaturu							f_{ij}	$A_k \cdot U_k \cdot f_{ij}$
Oznaka	građe. element	str. sv.	dužina	šir./vi.	A_k	U_k		
-	-	-	m	m	m^2	W/m ² K	-	W/K
-	-	-	-	-	-	-	-	-
-	-	-	-	-	-	-	-	-
-	-	-	-	-	-	-	-	-
-	-	-	-	-	-	-	-	-
-	-	-	-	-	-	-	-	-
Ukupni koef. gubitaka kroz prostore grijane na različitu tem.							$H_{T,ij} = \sum A_k \cdot U_k \cdot f_{ij}$	0
UKUPNI TRANSMISIJSKI GUBICI TOPLINE							$\Phi_{T,i} = (H_{T,ie} + H_{T,iue} + H_{T,ij}) \cdot (\vartheta_{int,i} - \vartheta_e)$	W
								186,552 W
Ventilacijski toplinski gubici								
Bez ventilacijskog sustava								
Minimalni higijenski protok zraka							$V_{min,i} = V_{int} \cdot n_{min}$	m ³ /h
V_{int} , m ³	n_{min} , h ⁻¹		$V_{min,i}$, m ³ /h					
24,99	0,5		12,495					
Maks. protok zraka u prostoriju uslijed infiltracije kroz zazore							$V_{inf,i} = 2 \cdot V_{int} \cdot n_{50} \cdot e_i \cdot \varepsilon_i$	
V_{int} , m ³	n_{50} , h ⁻¹		e_i		ε_i		$V_{inf,i}$, m ³ /h	
24,99	3		0,03		1		4,4982	
$V_i = \max(V_{inf,i}, V_{min,i})$								
V_i , m ³ /s	ρ_{zr} , kg/m ³		$c_{p,zr}$, J/kgK		$H_{V,i}$, W/K			
0,00347	1,2		1010		4,20564			
UKUPNI VENTILACIJSKI TOPLINSKI GUBICI							$\Phi_{v,i} = H_{V,i} \cdot (\vartheta_{int,i} - \vartheta_e)$	W
								100,935 W
TOPLINA ZA ZAGRIJAVANJE ZBOG PREKIDA GRIJANJA							$\Phi_{RH,i} = A_i \cdot f_{RH}$	W
A_i , m ²	f_{RH} , W/m ²		$\Phi_{RH,i}$, W					
10,74	6		64,44 W					
TOPLINSKO OPTEREĆENJE PROSTORIJE							$\Phi_{HL,i} = \Phi_{T,i} + \Phi_{V,i} + \Phi_{RH,i}$	W
								351,928 W

Kat 2/Stan 5								
Prostorija: ulazni prostor					$\vartheta_{int,i} = 20 \text{ } ^\circ\text{C}$		$\vartheta_e = -4 \text{ } ^\circ\text{C}$	
Transmisijski gubici prema vanjskom okolišu								
Oznaka	građe. element	str. sv.	dužina	šir./vi.	A_k	U_k	e_k	$A_k \cdot U_k \cdot e_k$
-	-	-	m	m	m^2	$\text{W}/\text{m}^2\text{K}$	-	W/K
-	-	-	-	-	-	-	-	-
-	-	-	-	-	-	-	-	-
-	-	-	-	-	-	-	-	-
-	-	-	-	-	-	-	-	-
-	-	-	-	-	-	-	-	-
-	-	-	-	-	-	-	-	-
-	-	-	-	-	-	-	-	-
Suma svih elemenata		$\Sigma A_k \cdot U_k \cdot e_k$				W/K	-	
Oznaka	toplinski most prema vanj. okolišu			str. sv.	duž. l_k	Ψ_k	e_k	$l_k \cdot \Psi_k \cdot e_k$
-	-			-	m	W/mK	-	W/K
-	-			-	-	-	-	-
-	-			-	-	-	-	-
-	-			-	-	-	-	-
-	-			-	-	-	-	-
-	-			-	-	-	-	-
-	-			-	-	-	-	-
-	-			-	-	-	-	-
-	-			-	-	-	-	-
Suma toplinskih mostova		$\Sigma l_k \cdot \Psi_k \cdot e_k$				W/K	-	
Ukupni koef. gubitaka prema vanj. okolišu				$H_{T,ie} = \Sigma A_k \cdot U_k \cdot e_k + \Sigma l_k \cdot \Psi_k \cdot e_k$				-
Transmisijski gubici kroz negrijane prostore prema vanjskom okolišu								
Oznaka	građe. element	str. sv.	dužina	šir./vi.	A_k	U_k	b_u	$A_k \cdot U_k \cdot b_u$
-	-	-	m	m	m^2	$\text{W}/\text{m}^2\text{K}$	-	W/K
ZS	zid prema stub.	JI	1,5	2,85	4,275	0,35	0,4	0,5985
ZS	zid prema stub.	SI	2,75	2,85	5,737	0,35	0,4	0,80318
MK	međukonstruk.	HOR.	5,91	1	5,91	0,25	0,7	1,03425
VV	vanjska vrata	SI	1	2,1	2,1	1	0,4	0,84
-	-	-	-	-	-	-	-	-
-	-	-	-	-	-	-	-	-
Suma svih elemenata		$\Sigma A_k \cdot U_k \cdot b_u$				W/K	3,27593	
Oznaka	toplinski most prema vanj. okolišu			str. sv.	duž. l_k	Ψ_k	b_u	$l_k \cdot \Psi_k \cdot b_u$
-	-			-	m	W/mK	-	W/K
-	-			-	-	-	-	-
-	-			-	-	-	-	-
-	-			-	-	-	-	-
Suma toplinskih mostova		$\Sigma l_k \cdot \Psi_k \cdot b_u$				W/K	0	
Uk. koef. gub. kroz negrij. pro. prema v. ok.				$H_{T,iue} = \Sigma A_k \cdot U_k \cdot b_u + \Sigma l_k \cdot \Psi_k \cdot b_u$				3,27593

Transmisijski gubici kroz prostore grijane na različitu temperaturu								
Oznaka	građe. element	str. sv.	dužina	šir./vi.	A_k	U_k	f_{ij}	$A_k \cdot U_k \cdot f_{ij}$
-	-	-	m	m	m^2	$W/m^2 K$	-	W/K
UZT	unut. tanki zid	JZ	1,85	2,85	3,8	1	-0,166	-0,6333
UV	unutarnja vrata	JZ	0,7	2,1	1,47	1,2	-0,166	-0,294
-	-	-	-	-	-	-	-	-
-	-	-	-	-	-	-	-	-
-	-	-	-	-	-	-	-	-
Ukupni koef. gubitaka kroz prostore grijane na različitu tem.							$H_{T,ij} = \sum A_k \cdot U_k \cdot f_{ij}$	-0,9273
UKUPNI TRANSMISIJSKI GUBICI TOPLINE							$\Phi_{T,i} = (H_{T,ie} + H_{T,iue} + H_{T,ij}) \cdot (\vartheta_{int,i} - \vartheta_e)$	W
								56,3663 W
Ventilacijski toplinski gubici								
Bez ventilacijskog sustava								
Minimalni higijenski protok zraka					$V_{min,i} = V_{int} \cdot n_{min}$	m ³ /h		
V_{int} , m ³	n_{min} , h ⁻¹	$V_{min,i}$, m ³ /h						
15,77	0,5	7,885						
Maks. protok zraka u prostoriju uslijed infiltracije kroz zazore					$V_{inf,i} = 2 \cdot V_{int} \cdot n_{50} \cdot e_i \cdot \varepsilon_i$			
V_{int} , m ³	n_{50} , h ⁻¹	e_i	ε_i				$V_{inf,i}$, m ³ /h	
15,77	3	0,03	1				2,8386	
$V_i = \max(V_{inf,i}, V_{min,i})$								
V_i , m ³ /s	ρ_{zr} , kg/m ³	$c_{p,zr}$, J/kgK	$H_{V,i}$, W/K					
0,00219	1,2	1010	2,65428					
UKUPNI VENTILACIJSKI TOPLINSKI GUBICI					$\Phi_{v,i} = H_{V,i} \cdot (\vartheta_{int,i} - \vartheta_e)$	W		
								63,7027 W
TOPLINA ZA ZAGRIJAVANJE ZBOG PREKIDA GRIJANJA					$\Phi_{RH,i} = A_i \cdot f_{RH}$	W		
A_i , m ²	f_{RH} , W/m ²	$\Phi_{RH,i}$, W						
7,15	6	42,9 W						
TOPLINSKO OPTEREĆENJE PROSTORIJE					$\Phi_{HL,i} = \Phi_{T,i} + \Phi_{V,i} + \Phi_{RH,i}$	W		
								162,969 W

Kat 2/Stan 5										
Prostorija: dnevni boravak i kuhinja					$\vartheta_{int,i} = 20 \text{ } ^\circ\text{C}$		$\vartheta_e = -4 \text{ } ^\circ\text{C}$			
Transmisijski gubici prema vanjskom okolišu										
Oznaka	građe. element	str. sv.	dužina	šir./vi.	A_k	U_k	e_k	$A_k \cdot U_k \cdot e_k$		
-	-	-	m	m	m^2	$\text{W}/\text{m}^2\text{K}$	-	W/K		
VZ	vanjski zid	JZ	2	2,85	4,74	0,25	1	1,185		
VZ	vanjski zid	SZ	1,025	2,85	2,92	0,25	1	0,73		
VZ	vanjski zid	JZ	2,675	2,85	7,62	0,25	1	1,905		
VZ	vanjski zid	SZ	4,5	2,85	9,88	0,25	1	2,47		
VBV	velika balk. vr.	SZ	1,4	2,1	2,94	0,9	1	2,646		
PR	prozor	JZ	0,8	1,2	0,96	0,9	1	0,864		
Suma svih elemenata		$\sum A_k \cdot U_k \cdot e_k$				W/K	9,8			
Oznaka	toplinski most prema vanj. okolišu			str. sv.	duž. l_k	Ψ_k	e_k	$l_k \cdot \Psi_k \cdot e_k$		
-	-			-	m	W/mK	-	W/K		
-	-			-	-	-	-	-		
-	-			-	-	-	-	-		
-	-			-	-	-	-	-		
-	-			-	-	-	-	-		
-	-			-	-	-	-	-		
-	-			-	-	-	-	-		
-	-			-	-	-	-	-		
Suma toplinskih mostova		$\sum l_k \cdot \Psi_k \cdot e_k$				W/K	0			
Ukupni koef. gubitaka prema vanj. okolišu					$H_{T,ie} = \sum A_k \cdot U_k \cdot e_k + \sum l_k \cdot \Psi_k \cdot e_k$		9,8			
Transmisijski gubici kroz negrijane prostore prema vanjskom okolišu										
Oznaka	građe. element	str. sv.	dužina	šir./vi.	A_k	U_k	b_u	$A_k \cdot U_k \cdot b_u$		
-	-	-	m	m	m^2	$\text{W}/\text{m}^2\text{K}$	-	W/K		
MK	međukonstruk.	HOR.	18,54	1	18,54	0,25	0,7	3,2445		
-	-	-	-	-	-	-	-	-		
-	-	-	-	-	-	-	-	-		
-	-	-	-	-	-	-	-	-		
-	-	-	-	-	-	-	-	-		
-	-	-	-	-	-	-	-	-		
Suma svih elemenata		$\sum A_k \cdot U_k \cdot b_u$				W/K	3,2445			
Oznaka	toplinski most prema vanj. okolišu			str. sv.	duž. l_k	Ψ_k	b_u	$l_k \cdot \Psi_k \cdot b_u$		
-	-			-	m	W/mK	-	W/K		
-	-			-	-	-	-	-		
-	-			-	-	-	-	-		
-	-			-	-	-	-	-		
Suma toplinskih mostova		$\sum l_k \cdot \Psi_k \cdot b_u$				W/K	0			
Uk. koef. gub. kroz negrij. pro. prema v. ok.					$H_{T,iue} = \sum A_k \cdot U_k \cdot b_u + \sum l_k \cdot \Psi_k \cdot b_u$		3,2445			

Transmisijski gubici kroz prostore grijane na različitu temperaturu							f_{ij}	$A_k \cdot U_k \cdot f_{ij}$
Oznaka	građe. element	str. sv.	dužina	šir./vi.	A_k	U_k		
-	-	-	m	m	m^2	W/m^2K	-	W/K
UZD	unut. zid debeli	JI	2,55	2,85	7,267	0,7	-0,166	-0,8478
-	-	-	-	-	-	-	-	-
-	-	-	-	-	-	-	-	-
-	-	-	-	-	-	-	-	-
-	-	-	-	-	-	-	-	-
Ukupni koef. gubitaka kroz prostore grijane na različitu tem.							$H_{T,ij} = \sum A_k \cdot U_k \cdot f_{ij}$	-0,8478
UKUPNI TRANSMISIJSKI GUBICI TOPLINE							$\Phi_{T,i} = (H_{T,ie} + H_{T,iue} + H_{T,ij}) \cdot (\vartheta_{int,i} - \vartheta_e)$	W
								292,72 W
Ventilacijski toplinski gubici								
Bez ventilacijskog sustava								
Minimalni higijenski protok zraka						$V_{min,i} = V_{int} \cdot n_{min}$		m^3/h
V_{int} , m ³	n_{min} , h ⁻¹		$V_{min,i}$, m ³ /h					
49,5	0,68		33,66					
Maks. protok zraka u prostoriju uslijed infiltracije kroz zazore						$V_{inf,i} = 2 \cdot V_{int} \cdot n_{50} \cdot e_i \cdot \varepsilon_i$		
V_{int} , m ³	n_{50} , h ⁻¹		e_i			ε_i		$V_{inf,i}$, m ³ /h
49,5	3		0,03			1		8,91
$V_i = \max(V_{inf,i}, V_{min,i})$								
V_i , m ³ /s	ρ_{zr} , kg/m ³		$c_{p,zr}$, J/kgK		$H_{V,i}$, W/K			
0,00935	1,2		1010		11,3322			
UKUPNI VENTILACIJSKI TOPLINSKI GUBICI							$\Phi_{v,i} = H_{V,i} \cdot (\vartheta_{int,i} - \vartheta_e)$	W
								271,973 W
TOPLINA ZA ZAGRIJAVANJE ZBOG PREKIDA GRIJANJA							$\Phi_{RH,i} = A_i \cdot f_{RH}$	W
A_i , m ²	f_{RH} , W/m ²		$\Phi_{RH,i}$, W					
20,85	6		125,1 W					
TOPLINSKO OPTEREĆENJE PROSTORIJE							$\Phi_{HL,i} = \Phi_{T,i} + \Phi_{V,i} + \Phi_{RH,i}$	W
								689,793 W

Kat 2/Stan 5											
Prostorija: kupaonica					$\vartheta_{int,i} = 24 \text{ } ^\circ\text{C}$	$\vartheta_e = -4 \text{ } ^\circ\text{C}$					
Transmisijski gubici prema vanjskom okolišu											
Oznaka	građe. element	str. sv.	dužina	šir./vi.	A_k	U_k	e_k	$A_k \cdot U_k \cdot e_k$			
-	-	-	m	m	m^2	$\text{W}/\text{m}^2\text{K}$	-	W/K			
VZ	vanjski zid	JZ	1,9	2,85	4,62	0,25	1	1,155			
PR	prozor	JZ	0,8	1	0,8	0,9	1	0,72			
-	-	-	-	-	-	-	-	-			
-	-	-	-	-	-	-	-	-			
-	-	-	-	-	-	-	-	-			
-	-	-	-	-	-	-	-	-			
Suma svih elemenata					$\sum A_k \cdot U_k \cdot e_k$	W/K		1,875			
Oznaka	toplinski most prema vanj. okolišu			str. sv.	duž. l_k	Ψ_k	e_k	$l_k \cdot \Psi_k \cdot e_k$			
-	-			-	m	W/mK	-	W/K			
-	-			-	-	-	-	-			
-	-			-	-	-	-	-			
-	-			-	-	-	-	-			
-	-			-	-	-	-	-			
-	-			-	-	-	-	-			
-	-			-	-	-	-	-			
-	-			-	-	-	-	-			
Suma toplinskih mostova					$\sum l_k \cdot \Psi_k \cdot e_k$	W/K		0			
Ukupni koef. gubitaka prema vanj. okolišu				$H_{T,ie} = \sum A_k \cdot U_k \cdot e_k + \sum l_k \cdot \Psi_k \cdot e_k$				1,875			
Transmisijski gubici kroz negrijane prostore prema vanjskom okolišu											
Oznaka	građe. element	str. sv.	dužina	šir./vi.	A_k	U_k	b_u	$A_k \cdot U_k \cdot b_u$			
-	-	-	m	m	m^2	$\text{W}/\text{m}^2\text{K}$	-	W/K			
MK	međukonstruk.	HOR.	4,5	1	4,5	0,25	0,7	0,78875			
-	-	-	-	-	-	-	-	-			
-	-	-	-	-	-	-	-	-			
-	-	-	-	-	-	-	-	-			
-	-	-	-	-	-	-	-	-			
-	-	-	-	-	-	-	-	-			
Suma svih elemenata					$\sum A_k \cdot U_k \cdot b_u$	W/K		0,7875			
Oznaka	toplinski most prema vanj. okolišu			str. sv.	duž. l_k	Ψ_k	b_u	$l_k \cdot \Psi_k \cdot b_u$			
-	-			-	m	W/mK	-	W/K			
-	-			-	-	-	-	-			
-	-			-	-	-	-	-			
-	-			-	-	-	-	-			
Suma toplinskih mostova					$\sum l_k \cdot \Psi_k \cdot b_u$	W/K		0			
Uk. koef. gub. kroz negrij. pro. prema v. ok.				$H_{T,iue} = \sum A_k \cdot U_k \cdot b_u + \sum l_k \cdot \Psi_k \cdot b_u$				0,7875			

Transmisijski gubici kroz prostore grijane na različitu temperaturu										
Oznaka	građe. element	str. sv.	dužina	šir./vi.	A_k	U_k	f_{ij}	$A_k \cdot U_k \cdot f_{ij}$		
-	-	-	m	m	m^2	$\text{W}/\text{m}^2\text{K}$	-	W/K		
UZD	unut. zid debeli	SZ	2,55	2,85	7,267	0,7	0,1428	0,7267		
UZT	unut. zid tanki	SI	1,85	2,85	3,8	1	0,1428	0,54286		
UZT	unut. zid tanki	JI	2,55	2,85	7,267	1	0,1428	1,03814		
UV	unutarnja vrata	SI	0,7	2,1	1,47	1,2	0,1428	0,252		
-	-	-	-	-	-	-	-	-		
Ukupni koef. gubitaka kroz prostore grijane na različitu tem.							$H_{T,ij} = \sum A_k \cdot U_k \cdot f_{ij}$	2,5597		
UKUPNI TRANSMISIJSKI GUBICI TOPLINE							$\Phi_{T,i} = (H_{T,ie} + H_{T,iue} + H_{T,ij}) \cdot (\vartheta_{int,i} - \vartheta_e)$	W		
								146,222 W		
Ventilacijski toplinski gubici										
Bez ventilacijskog sustava										
Minimalni higijenski protok zraka							$V_{min,i} = V_{int} \cdot n_{min}$	m^3/h		
V_{int} , m^3	n_{min} , h^{-1}	$V_{min,i}$, m^3/h								
12	0,5	6								
Maks. protok zraka u prostoriju uslijed infiltracije kroz zazore		$V_{inf,i} = 2 \cdot V_{int} \cdot n_{50} \cdot e_i \cdot \varepsilon_i$								
V_{int} , m^3	n_{50} , h^{-1}	e_i		ε_i		$V_{inf,i}$, m^3/h				
12	3	0,03		1		2,16				
$V_i = \max(V_{inf,i}, V_{min,i})$										
V_i , m^3/s	ρ_{zr} , kg/m^3	$c_{p,zr}$, $\text{J}/\text{kg}\text{K}$	$H_{V,i}$, W/K							
0,00167	1,2	1010	2,02404							
UKUPNI VENTILACIJSKI TOPLINSKI GUBICI		$\Phi_{v,i} = H_{V,i} \cdot (\vartheta_{int,i} - \vartheta_e)$								
								56,6731 W		
TOPLINA ZA ZAGRIJAVANJE ZBOG PREKIDA GRIJANJA		$\Phi_{RH,i} = A_i \cdot f_{RH}$								
A_i , m^2	f_{RH} , W/m^2	$\Phi_{RH,i}$, W								
5,28	6	31,68 W								
TOPLINSKO OPTEREĆENJE PROSTORIJE		$\Phi_{HL,i} = \Phi_{T,i} + \Phi_{V,i} + \Phi_{RH,i}$								
								234,575 W		

Kat 2/Stan 5								
Prostorija: spavaća soba 1					$\vartheta_{int,i} = 20 \text{ } ^\circ\text{C}$	$\vartheta_e = -4 \text{ } ^\circ\text{C}$		
Transmisijski gubici prema vanjskom okolišu								
Oznaka	građe. element	str. sv.	dužina	šir./vi.	A_k	U_k	e_k	$A_k \cdot U_k \cdot e_k$
-	-	-	m	m	m^2	$\text{W}/\text{m}^2\text{K}$	-	W/K
VZ	vanjski zid	SZ	1,625	2,85	4,71	0,25	1	1,1575
VZ	vanjski zid	JZ	2,8	2,85	7,16	0,25	1	1,755
VZ	vanjski zid	JI	1,625	2,85	4,71	0,25	1	1,1575
PR	prozor	JZ	0,8	1,2	0,96	0,9	1	0,864
-	-	-	-	-	-	-	-	-
-	-	-	-	-	-	-	-	-
Suma svih elemenata		$\sum A_k \cdot U_k \cdot e_k$					W/K	4,934
Oznaka	toplinski most prema vanj. okolišu			str. sv.	duž. l_k	Ψ_k	e_k	$l_k \cdot \Psi_k \cdot e_k$
-	-			-	m	W/mK	-	W/K
-	-			-	-	-	-	-
-	-			-	-	-	-	-
-	-			-	-	-	-	-
-	-			-	-	-	-	-
-	-			-	-	-	-	-
-	-			-	-	-	-	-
-	-			-	-	-	-	-
Suma toplinskih mostova		$\sum l_k \cdot \Psi_k \cdot e_k$					W/K	0
Ukupni koef. gubitaka prema vanj. okolišu				$H_{T,ie} = \sum A_k \cdot U_k \cdot e_k + \sum l_k \cdot \Psi_k \cdot e_k$				
Transmisijski gubici kroz negrijane prostore prema vanjskom okolišu								
Oznaka	građe. element	str. sv.	dužina	šir./vi.	A_k	U_k	b_u	$A_k \cdot U_k \cdot b_u$
-	-	-	m	m	m^2	$\text{W}/\text{m}^2\text{K}$	-	W/K
MK	međukonstruk.	HOR.	8,44	1	8,44	0,25	0,7	1,477
-	-	-	-	-	-	-	-	-
-	-	-	-	-	-	-	-	-
-	-	-	-	-	-	-	-	-
-	-	-	-	-	-	-	-	-
-	-	-	-	-	-	-	-	-
Suma svih elemenata		$\sum A_k \cdot U_k \cdot b_u$					W/K	1,477
Oznaka	toplinski most prema vanj. okolišu			str. sv.	duž. l_k	Ψ_k	b_u	$l_k \cdot \Psi_k \cdot b_u$
-	-			-	m	W/mK	-	W/K
-	-			-	-	-	-	-
-	-			-	-	-	-	-
-	-			-	-	-	-	-
Suma toplinskih mostova		$\sum l_k \cdot \Psi_k \cdot b_u$					W/K	0
Uk. koef. gub. kroz negrij. pro. prema v. ok.				$H_{T,iue} = \sum A_k \cdot U_k \cdot b_u + \sum l_k \cdot \Psi_k \cdot b_u$				

Transmisijski gubici kroz prostore grijane na različitu temperaturu							f_{ij}	$A_k \cdot U_k \cdot f_{ij}$
Oznaka	građe. element	str. sv.	dužina	šir./vi.	A_k	U_k		
-	-	-	m	m	m^2	$W/m^2 K$	-	W/K
UZT	unut. zid tanki	SZ	2,55	2,85	7,267	1	-0,166	-1,2112
-	-	-	-	-	-	-	-	-
-	-	-	-	-	-	-	-	-
-	-	-	-	-	-	-	-	-
-	-	-	-	-	-	-	-	-
Ukupni koef. gubitaka kroz prostore grijane na različitu tem.							$H_{T,ij} = \sum A_k \cdot U_k \cdot f_{ij}$	-1,2112
UKUPNI TRANSMISIJSKI GUBICI TOPLINE							$\Phi_{T,i} = (H_{T,ie} + H_{T,iue} + H_{T,ij}) \cdot (\vartheta_{int,i} - \vartheta_e)$	W
								124,796 W
Ventilacijski toplinski gubici								
Bez ventilacijskog sustava								
Minimalni higijenski protok zraka					$V_{min,i} = V_{int} \cdot n_{min}$	m^3/h		
V_{int} , m ³	n_{min} , h ⁻¹	$V_{min,i}$, m ³ /h						
22,53	0,5	11,265						
Maks. protok zraka u prostoriju uslijed infiltracije kroz zazore					$V_{inf,i} = 2 \cdot V_{int} \cdot n_{50} \cdot e_i \cdot \varepsilon_i$			
V_{int} , m ³	n_{50} , h ⁻¹	e_i	ε_i				$V_{inf,i}$, m ³ /h	
22,53	3	0,03	1				4,0554	
$V_i = \max(V_{inf,i}, V_{min,i})$								
V_i , m ³ /s	ρ_{zr} , kg/m ³	$c_{p,zr}$, J/kgK	$H_{V,i}$, W/K					
0,00312	1,2	1010	3,78144					
UKUPNI VENTILACIJSKI TOPLINSKI GUBICI					$\Phi_{v,i} = H_{V,i} \cdot (\vartheta_{int,i} - \vartheta_e)$	W		
								90,7546 W
TOPLINA ZA ZAGRIJAVANJE ZBOG PREKIDA GRIJANJA					$\Phi_{RH,i} = A_i \cdot f_{RH}$	W		
A_i , m ²	f_{RH} , W/m ²	$\Phi_{RH,i}$, W						
9,61	6	57,66 W						
TOPLINSKO OPTEREĆENJE PROSTORIJE					$\Phi_{HL,i} = \Phi_{T,i} + \Phi_{V,i} + \Phi_{RH,i}$	W		
								273,211 W

Kat 2/Stan 5										
Prostorija: spavaća soba 2					$\vartheta_{int,i} = 20 \text{ } ^\circ\text{C}$		$\vartheta_e = -4 \text{ } ^\circ\text{C}$			
Transmisijski gubici prema vanjskom okolišu										
Oznaka	građe. element	str. sv.	dužina	šir./vi.	A_k	U_k	e_k	$A_k \cdot U_k \cdot e_k$		
-	-	-	m	m	m^2	$\text{W}/\text{m}^2\text{K}$	-	W/K		
VZ	vanjski zid	JI	4,575	2,85	12,08	0,25	1	3,02		
VZ	vanjski zid	JZ	2,525	2,85	5,43	0,25	1	1,3575		
PR	prozor	JI	0,8	1,2	0,96	0,9	1	0,864		
MBV	mala balk. vrata	JZ	0,8	2,2	1,76	0,9	1	1,584		
-	-	-	-	-	-	-	-	-		
-	-	-	-	-	-	-	-	-		
Suma svih elemenata		$\sum A_k \cdot U_k \cdot e_k$				W/K		6,8255		
Oznaka	toplinski most prema vanj. okolišu			str. sv.	duž. l_k	Ψ_k	e_k	$l_k \cdot \Psi_k \cdot e_k$		
-	-			-	m	W/mK	-	W/K		
-	-			-	-	-	-	-		
-	-			-	-	-	-	-		
-	-			-	-	-	-	-		
-	-			-	-	-	-	-		
-	-			-	-	-	-	-		
-	-			-	-	-	-	-		
-	-			-	-	-	-	-		
Suma toplinskih mostova		$\sum l_k \cdot \Psi_k \cdot e_k$				W/K		0		
Ukupni koef. gubitaka prema vanj. okolišu				$H_{T,ie} = \sum A_k \cdot U_k \cdot e_k + \sum l_k \cdot \Psi_k \cdot e_k$				6,8255		
Transmisijski gubici kroz negrijane prostore prema vanjskom okolišu										
Oznaka	građe. element	str. sv.	dužina	šir./vi.	A_k	U_k	b_u	$A_k \cdot U_k \cdot b_u$		
-	-	-	m	m	m^2	$\text{W}/\text{m}^2\text{K}$	-	W/K		
ZS	zid prema stub.	JZ	2,375	2,85	6,768	0,35	0,4	0,94752		
MK	međukonstruk.	HOR.	9,36	1	9,36	0,25	0,7	1,638		
-	-	-	-	-	-	-	-	-		
-	-	-	-	-	-	-	-	-		
-	-	-	-	-	-	-	-	-		
-	-	-	-	-	-	-	-	-		
Suma svih elemenata		$\sum A_k \cdot U_k \cdot b_u$				W/K		2,58552		
Oznaka	toplinski most prema vanj. okolišu			str. sv.	duž. l_k	Ψ_k	b_u	$l_k \cdot \Psi_k \cdot b_u$		
-	-			-	m	W/mK	-	W/K		
-	-			-	-	-	-	-		
-	-			-	-	-	-	-		
-	-			-	-	-	-	-		
Suma toplinskih mostova		$\sum l_k \cdot \Psi_k \cdot b_u$				W/K		0		
Uk. koef. gub. kroz negrij. pro. prema v. ok.				$H_{T,iue} = \sum A_k \cdot U_k \cdot b_u + \sum l_k \cdot \Psi_k \cdot b_u$				2,58552		

Transmisijski gubici kroz prostore grijane na različitu temperaturu							f_{ij}	$A_k \cdot U_k \cdot f_{ij}$
Oznaka	građe. element	str. sv.	dužina	šir./vi.	A_k	U_k		
-	-	-	m	m	m^2	W/m ² K	-	W/K
-	-	-	-	-	-	-	-	-
-	-	-	-	-	-	-	-	-
-	-	-	-	-	-	-	-	-
-	-	-	-	-	-	-	-	-
-	-	-	-	-	-	-	-	-
Ukupni koef. gubitaka kroz prostore grijane na različitu tem.							$H_{T,ij} = \sum A_k \cdot U_k \cdot f_{ij}$	0
UKUPNI TRANSMISIJSKI GUBICI TOPLINE							$\Phi_{T,i} = (H_{T,ie} + H_{T,iue} + H_{T,ij}) \cdot (\vartheta_{int,i} - \vartheta_e)$ W	225,864 W
Ventilacijski toplinski gubici								
Bez ventilacijskog sustava								
Minimalni higijenski protok zraka						$V_{min,i} = V_{int} \cdot n_{min}$	m^3/h	
V_{int} , m ³	n_{min} , h ⁻¹		$V_{min,i}$, m ³ /h					
24,99	0,5		12,495					
Maks. protok zraka u prostoriju uslijed infiltracije kroz zazore						$V_{inf,i} = 2 \cdot V_{int} \cdot n_{50} \cdot e_i \cdot \varepsilon_i$		
V_{int} , m ³	n_{50} , h ⁻¹		e_i			$V_{inf,i}$, m ³ /h		
24,99	3		0,03			1		4,4982
$V_i = \max(V_{inf,i}, V_{min,i})$								
V_i , m ³ /s	ρ_{zr} , kg/m ³		$c_{p,zr}$, J/kgK		$H_{V,i}$, W/K			
0,00347	1,2		1010		4,20564			
UKUPNI VENTILACIJSKI TOPLINSKI GUBICI							$\Phi_{v,i} = H_{V,i} \cdot (\vartheta_{int,i} - \vartheta_e)$ W	100,935 W
TOPLINA ZA ZAGRIJAVANJE ZBOG PREKIDA GRIJANJA							$\Phi_{RH,i} = A_i \cdot f_{RH}$ W	
A_i , m ²	f_{RH} , W/m ²		$\Phi_{RH,i}$, W					
10,74	6		64,44 W					
TOPLINSKO OPTEREĆENJE PROSTORIJE							$\Phi_{HL,i} = \Phi_{T,i} + \Phi_{V,i} + \Phi_{RH,i}$ W	
							391,24 W	

Kat 2/Stan 6										
Prostorija: ulazni prostor					$\vartheta_{int,i} = 20 \text{ } ^\circ\text{C}$	$\vartheta_e = -4 \text{ } ^\circ\text{C}$				
Transmisijski gubici prema vanjskom okolišu										
Oznaka	građe. element	str. sv.	dužina	šir./vi.	A_k	U_k	e_k	$A_k \cdot U_k \cdot e_k$		
-	-	-	m	m	m^2	$\text{W}/\text{m}^2\text{K}$	-	W/K		
-	-	-	-	-	-	-	-	-		
-	-	-	-	-	-	-	-	-		
-	-	-	-	-	-	-	-	-		
-	-	-	-	-	-	-	-	-		
-	-	-	-	-	-	-	-	-		
-	-	-	-	-	-	-	-	-		
Suma svih elemenata		$\sum A_k \cdot U_k \cdot e_k \text{ W/K}$					-			
Oznaka	toplinski most prema vanj. okolišu			str. sv.	duž. l_k	Ψ_k	e_k	$l_k \cdot \Psi_k \cdot e_k$		
-	-			-	m	W/mK	-	W/K		
-	-			-	-	-	-	-		
-	-			-	-	-	-	-		
-	-			-	-	-	-	-		
-	-			-	-	-	-	-		
-	-			-	-	-	-	-		
-	-			-	-	-	-	-		
-	-			-	-	-	-	-		
Suma toplinskih mostova		$\sum l_k \cdot \Psi_k \cdot e_k \text{ W/K}$					-			
Ukupni koef. gubitaka prema vanj. okolišu				$H_{T,ie} = \sum A_k \cdot U_k \cdot e_k + \sum l_k \cdot \Psi_k \cdot e_k$						
Transmisijski gubici kroz negrijane prostore prema vanjskom okolišu										
Oznaka	građe. element	str. sv.	dužina	šir./vi.	A_k	U_k	b_u	$A_k \cdot U_k \cdot b_u$		
-	-	-	m	m	m^2	$\text{W}/\text{m}^2\text{K}$	-	W/K		
ZS	zid prema stub.	JI	1,5	2,85	4,275	0,35	0,4	0,5985		
ZS	zid prema stub.	JZ	2,75	2,85	5,737	0,35	0,4	0,80318		
MK	međukonstruk.	HOR.	5,91	1	5,91	0,25	0,7	1,03425		
VV	vanjska vrata	JZ	1	2,1	2,1	1	0,4	0,84		
-	-	-	-	-	-	-	-	-		
-	-	-	-	-	-	-	-	-		
Suma svih elemenata		$\sum A_k \cdot U_k \cdot b_u \text{ W/K}$					3,27593			
Oznaka	toplinski most prema vanj. okolišu			str. sv.	duž. l_k	Ψ_k	b_u	$l_k \cdot \Psi_k \cdot b_u$		
-	-			-	m	W/mK	-	W/K		
-	-			-	-	-	-	-		
-	-			-	-	-	-	-		
-	-			-	-	-	-	-		
Suma toplinskih mostova		$\sum l_k \cdot \Psi_k \cdot b_u \text{ W/K}$					0			
Uk. koef. gub. kroz negrij. pro. prema v. ok.				$H_{T,iue} = \sum A_k \cdot U_k \cdot b_u + \sum l_k \cdot \Psi_k \cdot b_u$						

Transmisijski gubici kroz prostore grijane na različitu temperaturu									
Oznaka	građe. element	str. sv.	dužina	šir./vi.	A_k	U_k	f_{ij}	$A_k \cdot U_k \cdot f_{ij}$	
-	-	-	m	m	m^2	$W/m^2 K$	-	W/K	
UZT	unut. tanki zid	SI	1,85	2,85	3,8	1	-0,166	-0,6333	
UV	unutarnja vrata	SI	0,7	2,1	1,47	1,2	-0,166	-0,294	
-	-	-	-	-	-	-	-	-	
-	-	-	-	-	-	-	-	-	
-	-	-	-	-	-	-	-	-	
Ukupni koef. gubitaka kroz prostore grijane na različitu tem.							$H_{T,ij} = \sum A_k \cdot U_k \cdot f_{ij}$	-0,9273	
UKUPNI TRANSMISIJSKI GUBICI TOPLINE							$\Phi_{T,i} = (H_{T,ie} + H_{T,iue} + H_{T,ij}) \cdot (\vartheta_{int,i} - \vartheta_e)$	W	
								56,3663 W	
Ventilacijski toplinski gubici									
Bez ventilacijskog sustava									
Minimalni higijenski protok zraka							$V_{min,i} = V_{int} \cdot n_{min}$	m^3/h	
V_{int} , m ³	n_{min} , h ⁻¹	$V_{min,i}$, m ³ /h							
15,77	0,5	7,885							
Maks. protok zraka u prostoriju uslijed infiltracije kroz zazore		$V_{inf,i} = 2 \cdot V_{int} \cdot n_{50} \cdot e_i \cdot \varepsilon_i$							
V_{int} , m ³	n_{50} , h ⁻¹	e_i	ε_i	$V_{inf,i}$, m ³ /h					
15,77	3	0,03	1						
$V_i = \max(V_{inf,i}, V_{min,i})$									
V_i , m ³ /s	ρ_{zr} , kg/m ³	$c_{p,zr}$, J/kgK	$H_{V,i}$, W/K						
0,00219	1,2	1010	2,65428						
UKUPNI VENTILACIJSKI TOPLINSKI GUBICI		$\Phi_{v,i} = H_{V,i} \cdot (\vartheta_{int,i} - \vartheta_e)$							
								63,7027 W	
TOPLINA ZA ZAGRIJAVANJE ZBOG PREKIDA GRIJANJA		$\Phi_{RH,i} = A_i \cdot f_{RH}$							
A_i , m ²	f_{RH} , W/m ²	$\Phi_{RH,i}$, W							
7,15	6	42,9 W							
TOPLINSKO OPTEREĆENJE PROSTORIJE		$\Phi_{HL,i} = \Phi_{T,i} + \Phi_{V,i} + \Phi_{RH,i}$							
								162,969 W	

Kat 2/Stan 6											
Prostorija: dnevni boravak i kuhinja					$\vartheta_{int,i} = 20 \text{ } ^\circ\text{C}$	$\vartheta_e = -4 \text{ } ^\circ\text{C}$					
Transmisijski gubici prema vanjskom okolišu											
Oznaka	građe. element	str. sv.	dužina	šir./vi.	A_k	U_k	e_k	$A_k \cdot U_k \cdot e_k$			
-	-	-	m	m	m^2	$\text{W}/\text{m}^2\text{K}$	-	W/K			
VZ	vanjski zid	SI	2	2,85	4,74	0,25	1	1,185			
VZ	vanjski zid	SZ	1,025	2,85	2,92	0,25	1	0,73			
VZ	vanjski zid	SI	2,675	2,85	7,62	0,25	1	1,905			
VZ	vanjski zid	SZ	4,5	2,85	9,88	0,25	1	2,47			
VBV	velika balk. vr.	SZ	1,4	2,1	2,94	0,9	1	2,646			
PR	prozor	SI	0,8	1,2	0,96	0,9	1	0,864			
Suma svih elemenata					$\sum A_k \cdot U_k \cdot e_k$	W/K		9,8			
Oznaka	toplinski most prema vanj. okolišu			str. sv.	duž. l_k	Ψ_k	e_k	$l_k \cdot \Psi_k \cdot e_k$			
-	-			-	m	W/mK	-	W/K			
-	-			-	-	-	-	-			
-	-			-	-	-	-	-			
-	-			-	-	-	-	-			
-	-			-	-	-	-	-			
-	-			-	-	-	-	-			
-	-			-	-	-	-	-			
-	-			-	-	-	-	-			
Suma toplinskih mostova					$\sum l_k \cdot \Psi_k \cdot e_k$	W/K		0			
Ukupni koef. gubitaka prema vanj. okolišu					$H_{T,ie} = \sum A_k \cdot U_k \cdot e_k + \sum l_k \cdot \Psi_k \cdot e_k$			9,8			
Transmisijski gubici kroz negrijane prostore prema vanjskom okolišu											
Oznaka	građe. element	str. sv.	dužina	šir./vi.	A_k	U_k	b_u	$A_k \cdot U_k \cdot b_u$			
-	-	-	m	m	m^2	$\text{W}/\text{m}^2\text{K}$	-	W/K			
MK	međukonstruk.	HOR.	18,54	1	18,54	0,25	0,7	3,2445			
-	-	-	-	-	-	-	-	-			
-	-	-	-	-	-	-	-	-			
-	-	-	-	-	-	-	-	-			
-	-	-	-	-	-	-	-	-			
-	-	-	-	-	-	-	-	-			
Suma svih elemenata					$\sum A_k \cdot U_k \cdot b_u$	W/K		3,2445			
Oznaka	toplinski most prema vanj. okolišu			str. sv.	duž. l_k	Ψ_k	b_u	$l_k \cdot \Psi_k \cdot b_u$			
-	-			-	m	W/mK	-	W/K			
-	-			-	-	-	-	-			
-	-			-	-	-	-	-			
-	-			-	-	-	-	-			
Suma toplinskih mostova					$\sum l_k \cdot \Psi_k \cdot b_u$	W/K		0			
Uk. koef. gub. kroz negrij. pro. prema v. ok.					$H_{T,iue} = \sum A_k \cdot U_k \cdot b_u + \sum l_k \cdot \Psi_k \cdot b_u$			3,2445			

Transmisijski gubici kroz prostore grijane na različitu temperaturu							f_{ij}	$A_k \cdot U_k \cdot f_{ij}$
Oznaka	građe. element	str. sv.	dužina	šir./vi.	A_k	U_k		
-	-	-	m	m	m^2	W/m^2K	-	W/K
UZD	unut. zid debeli	JI	2,55	2,85	7,267	0,7	-0,166	-0,8478
-	-	-	-	-	-	-	-	-
-	-	-	-	-	-	-	-	-
-	-	-	-	-	-	-	-	-
-	-	-	-	-	-	-	-	-
Ukupni koef. gubitaka kroz prostore grijane na različitu tem.							$H_{T,ij} = \sum A_k \cdot U_k \cdot f_{ij}$	-0,8478
UKUPNI TRANSMISIJSKI GUBICI TOPLINE							$\Phi_{T,i} = (H_{T,ie} + H_{T,iue} + H_{T,ij}) \cdot (\vartheta_{int,i} - \vartheta_e)$	W
								292,72 W
Ventilacijski toplinski gubici								
Bez ventilacijskog sustava								
Minimalni higijenski protok zraka					$V_{min,i} = V_{int} \cdot n_{min}$	m ³ /h		
V_{int} , m ³	n_{min} , h ⁻¹	$V_{min,i}$, m ³ /h						
49,5	0,68	33,66						
Maks. protok zraka u prostoriju uslijed infiltracije kroz zazore					$V_{inf,i} = 2 \cdot V_{int} \cdot n_{50} \cdot e_i \cdot \varepsilon_i$			
V_{int} , m ³	n_{50} , h ⁻¹	e_i	ε_i				$V_{inf,i}$, m ³ /h	
49,5	3	0,03	1				8,91	
$V_i = \max(V_{inf,i}, V_{min,i})$								
V_i , m ³ /s	ρ_{zr} , kg/m ³	$c_{p,zr}$, J/kgK	$H_{V,i}$, W/K					
0,00935	1,2	1010	11,3322					
UKUPNI VENTILACIJSKI TOPLINSKI GUBICI					$\Phi_{v,i} = H_{V,i} \cdot (\vartheta_{int,i} - \vartheta_e)$	W		
								271,973 W
TOPLINA ZA ZAGRIJAVANJE ZBOG PREKIDA GRIJANJA					$\Phi_{RH,i} = A_i \cdot f_{RH}$	W		
A_i , m ²	f_{RH} , W/m ²	$\Phi_{RH,i}$, W						
20,85	6	125,1 W						
TOPLINSKO OPTEREĆENJE PROSTORIJE					$\Phi_{HL,i} = \Phi_{T,i} + \Phi_{V,i} + \Phi_{RH,i}$	W		
								689,793 W

Kat 2/Stan 6													
Prostorija: kupaonica					$\vartheta_{int,i} = 24 \text{ } ^\circ\text{C}$		$\vartheta_e = -4 \text{ } ^\circ\text{C}$						
Transmisijski gubici prema vanjskom okolišu													
Oznaka	građe. element	str. sv.	dužina	šir./vi.	A_k	U_k	e_k	$A_k \cdot U_k \cdot e_k$					
-	-	-	m	m	m^2	$\text{W}/\text{m}^2\text{K}$	-	W/K					
VZ	vanjski zid	SI	1,9	2,85	4,62	0,25	1	1,155					
PR	prozor	SI	0,8	1	0,8	0,9	1	0,72					
-	-	-	-	-	-	-	-	-					
-	-	-	-	-	-	-	-	-					
-	-	-	-	-	-	-	-	-					
-	-	-	-	-	-	-	-	-					
Suma svih elemenata					$\sum A_k \cdot U_k \cdot e_k$	W/K	1,875						
Oznaka	toplinski most prema vanj. okolišu			str. sv.	duž. l_k	Ψ_k	e_k	$l_k \cdot \Psi_k \cdot e_k$					
-	-			-	m	W/mK	-	W/K					
-	-			-	-	-	-	-					
-	-			-	-	-	-	-					
-	-			-	-	-	-	-					
-	-			-	-	-	-	-					
-	-			-	-	-	-	-					
-	-			-	-	-	-	-					
-	-			-	-	-	-	-					
Suma toplinskih mostova					$\sum l_k \cdot \Psi_k \cdot e_k$	W/K	0						
Ukupni koef. gubitaka prema vanj. okolišu					$H_{T,ie} = \sum A_k \cdot U_k \cdot e_k + \sum l_k \cdot \Psi_k \cdot e_k$	1,875							
Transmisijski gubici kroz negrijane prostore prema vanjskom okolišu													
Oznaka	građe. element	str. sv.	dužina	šir./vi.	A_k	U_k	b_u	$A_k \cdot U_k \cdot b_u$					
-	-	-	m	m	m^2	$\text{W}/\text{m}^2\text{K}$	-	W/K					
MK	međukonstruk.	HOR.	4,5	1	4,5	0,25	0,7	0,78875					
-	-	-	-	-	-	-	-	-					
-	-	-	-	-	-	-	-	-					
-	-	-	-	-	-	-	-	-					
-	-	-	-	-	-	-	-	-					
-	-	-	-	-	-	-	-	-					
Suma svih elemenata					$\sum A_k \cdot U_k \cdot b_u$	W/K	0,7875						
Oznaka	toplinski most prema vanj. okolišu			str. sv.	duž. l_k	Ψ_k	b_u	$l_k \cdot \Psi_k \cdot b_u$					
-	-			-	m	W/mK	-	W/K					
-	-			-	-	-	-	-					
-	-			-	-	-	-	-					
-	-			-	-	-	-	-					
Suma toplinskih mostova					$\sum l_k \cdot \Psi_k \cdot b_u$	W/K	0						
Uk. koef. gub. kroz negrij. pro. prema v. ok.					$H_{T,iue} = \sum A_k \cdot U_k \cdot b_u + \sum l_k \cdot \Psi_k \cdot b_u$	0,7875							

Transmisijski gubici kroz prostore grijane na različitu temperaturu								
Oznaka	građe. element	str. sv.	dužina	šir./vi.	A_k	U_k	f_{ij}	$A_k \cdot U_k \cdot f_{ij}$
-	-	-	m	m	m^2	$\text{W}/\text{m}^2\text{K}$	-	W/K
UZD	unut. zid debeli	SZ	2,55	2,85	7,267	0,7	0,1428	0,7267
UZT	unut. zid tanki	JZ	1,85	2,85	3,8	1	0,1428	0,54286
UZT	unut. zid tanki	JI	2,55	2,85	7,267	1	0,1428	1,03814
UV	unutarnja vrata	JZ	0,7	2,1	1,47	1,2	0,1428	0,252
-	-	-	-	-	-	-	-	-
Ukupni koef. gubitaka kroz prostore grijane na različitu tem.						$H_{T,ij} = \sum A_k \cdot U_k \cdot f_{ij}$	2,5597	
UKUPNI TRANSMISIJSKI GUBICI TOPLINE					$\Phi_{T,i} = (H_{T,ie} + H_{T,iue} + H_{T,ij}) \cdot (\vartheta_{int,i} - \vartheta_e)$	W	146,222 W	
Ventilacijski toplinski gubici								
Bez ventilacijskog sustava								
Minimalni higijenski protok zraka						$V_{min,i} = V_{int} \cdot n_{min}$	m^3/h	
V_{int} , m^3	n_{min} , h^{-1}	$V_{min,i}$, m^3/h						
12	0,5	6						
Maks. protok zraka u prostoriju uslijed infiltracije kroz zazore						$V_{inf,i} = 2 \cdot V_{int} \cdot n_{50} \cdot e_i \cdot \varepsilon_i$		
V_{int} , m^3	n_{50} , h^{-1}	e_i			ε_i	$V_{inf,i}$, m^3/h		
12	3	0,03			1	2,16		
$V_i = \max(V_{inf,i}, V_{min,i})$								
V_i , m^3/s	ρ_{zr} , kg/m^3	$c_{p,zr}$, J/kgK	$H_{V,i}$, W/K					
0,00167	1,2	1010	2,02404					
UKUPNI VENTILACIJSKI TOPLINSKI GUBICI					$\Phi_{v,i} = H_{V,i} \cdot (\vartheta_{int,i} - \vartheta_e)$	W	56,6731 W	
TOPLINA ZA ZAGRIJAVANJE ZBOG PREKIDA GRIJANJA					$\Phi_{RH,i} = A_i \cdot f_{RH}$	W		
A_i , m^2	f_{RH} , W/m^2	$\Phi_{RH,i}$, W						
5,28	6	31,68 W						
TOPLINSKO OPTEREĆENJE PROSTORIJE					$\Phi_{HL,i} = \Phi_{T,i} + \Phi_{V,i} + \Phi_{RH,i}$	W		
							234,575 W	

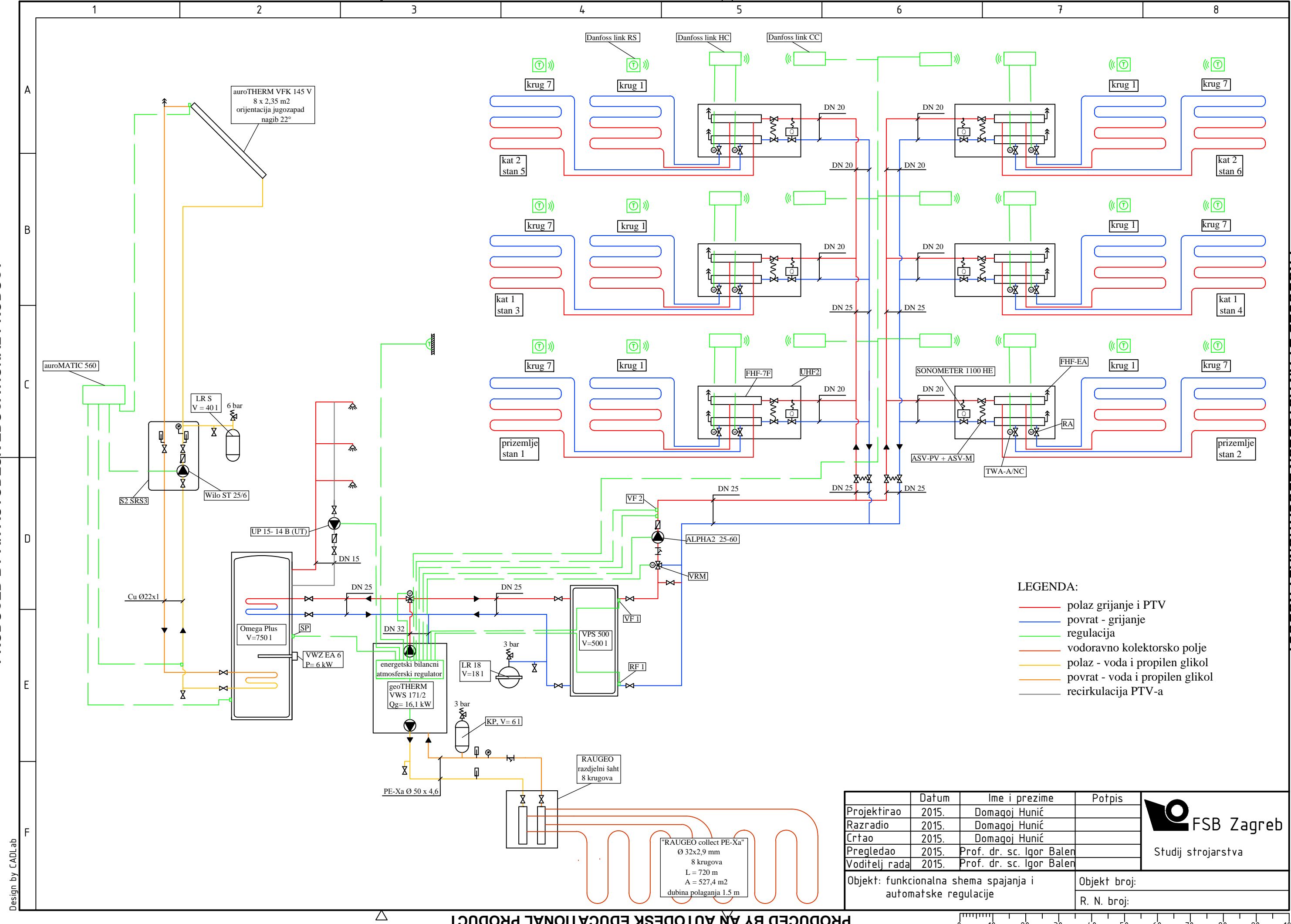
Kat 2/Stan 6								
Prostorija: spavaća soba 1					$\vartheta_{int,i} = 20 \text{ } ^\circ\text{C}$	$\vartheta_e = -4 \text{ } ^\circ\text{C}$		
Transmisijski gubici prema vanjskom okolišu								
Oznaka	građe. element	str. sv.	dužina	šir./vi.	A_k	U_k	e_k	$A_k \cdot U_k \cdot e_k$
-	-	-	m	m	m^2	$\text{W}/\text{m}^2\text{K}$	-	W/K
VZ	vanjski zid	SZ	1,625	2,85	4,71	0,25	1	1,1575
VZ	vanjski zid	SI	2,8	2,85	7,16	0,25	1	1,755
VZ	vanjski zid	JI	1,625	2,85	4,71	0,25	1	1,1575
PR	prozor	SI	0,8	1,2	0,96	0,9	1	0,864
-	-	-	-	-	-	-	-	-
-	-	-	-	-	-	-	-	-
Suma svih elemenata		$\sum A_k \cdot U_k \cdot e_k$					W/K	4,934
Oznaka	toplinski most prema vanj. okolišu			str. sv.	duž. l_k	Ψ_k	e_k	$l_k \cdot \Psi_k \cdot e_k$
-	-			-	m	W/mK	-	W/K
-	-			-	-	-	-	-
-	-			-	-	-	-	-
-	-			-	-	-	-	-
-	-			-	-	-	-	-
-	-			-	-	-	-	-
-	-			-	-	-	-	-
-	-			-	-	-	-	-
Suma toplinskih mostova		$\sum l_k \cdot \Psi_k \cdot e_k$					W/K	0
Ukupni koef. gubitaka prema vanj. okolišu				$H_{T,ie} = \sum A_k \cdot U_k \cdot e_k + \sum l_k \cdot \Psi_k \cdot e_k$				
Transmisijski gubici kroz negrijane prostore prema vanjskom okolišu								
Oznaka	građe. element	str. sv.	dužina	šir./vi.	A_k	U_k	b_u	$A_k \cdot U_k \cdot b_u$
-	-	-	m	m	m^2	$\text{W}/\text{m}^2\text{K}$	-	W/K
MK	međukonstruk.	HOR.	8,44	1	8,44	0,25	0,7	1,477
-	-	-	-	-	-	-	-	-
-	-	-	-	-	-	-	-	-
-	-	-	-	-	-	-	-	-
-	-	-	-	-	-	-	-	-
-	-	-	-	-	-	-	-	-
Suma svih elemenata		$\sum A_k \cdot U_k \cdot b_u$					W/K	1,477
Oznaka	toplinski most prema vanj. okolišu			str. sv.	duž. l_k	Ψ_k	b_u	$l_k \cdot \Psi_k \cdot b_u$
-	-			-	m	W/mK	-	W/K
-	-			-	-	-	-	-
-	-			-	-	-	-	-
-	-			-	-	-	-	-
Suma toplinskih mostova		$\sum l_k \cdot \Psi_k \cdot b_u$					W/K	0
Uk. koef. gub. kroz negrij. pro. prema v. ok.				$H_{T,iue} = \sum A_k \cdot U_k \cdot b_u + \sum l_k \cdot \Psi_k \cdot b_u$				

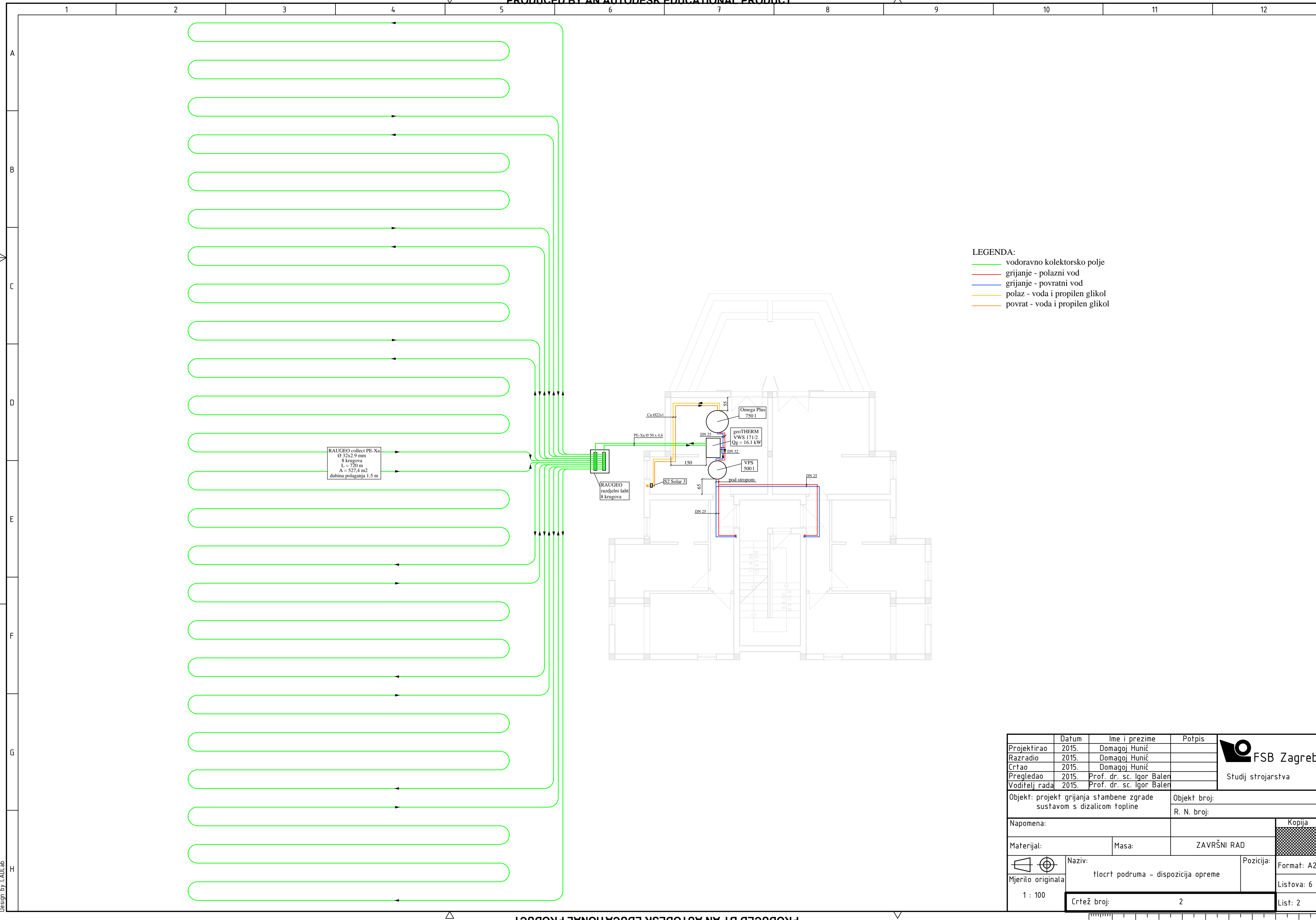
Transmisijski gubici kroz prostore grijane na različitu temperaturu								
Oznaka	građe. element	str. sv.	dužina	šir./vi.	A_k	U_k	f_{ij}	$A_k \cdot U_k \cdot f_{ij}$
-	-	-	m	m	m^2	$W/m^2 K$	-	W/K
UZT	unut. zid tanki	SZ	2,55	2,85	7,267	1	-0,166	-1,2112
-	-	-	-	-	-	-	-	-
-	-	-	-	-	-	-	-	-
-	-	-	-	-	-	-	-	-
-	-	-	-	-	-	-	-	-
Ukupni koef. gubitaka kroz prostore grijane na različitu tem.							$H_{T,ij} = \sum A_k \cdot U_k \cdot f_{ij}$	-1,2112
UKUPNI TRANSMISIJSKI GUBICI TOPLINE							$\Phi_{T,i} = (H_{T,ie} + H_{T,iue} + H_{T,ij}) \cdot (\vartheta_{int,i} - \vartheta_e)$	W
								124,796 W
Ventilacijski toplinski gubici								
Bez ventilacijskog sustava								
Minimalni higijenski protok zraka							$V_{min,i} = V_{int} \cdot n_{min}$	m^3/h
V_{int} , m ³	n_{min} , h ⁻¹	$V_{min,i}$, m ³ /h						
22,53	0,5	11,265						
Maks. protok zraka u prostoriju uslijed infiltracije kroz zazore		$V_{inf,i} = 2 \cdot V_{int} \cdot n_{50} \cdot e_i \cdot \varepsilon_i$						
V_{int} , m ³	n_{50} , h ⁻¹	e_i	ε_i	$V_{inf,i}$, m ³ /h				
22,53	3	0,03	1					
$V_i = \max(V_{inf,i}, V_{min,i})$								
V_i , m ³ /s	ρ_{zr} , kg/m ³	$c_{p,zr}$, J/kgK	$H_{V,i}$, W/K					
0,00312	1,2	1010	3,78144					
UKUPNI VENTILACIJSKI TOPLINSKI GUBICI		$\Phi_{v,i} = H_{V,i} \cdot (\vartheta_{int,i} - \vartheta_e)$						
								90,7546 W
TOPLINA ZA ZAGRIJAVANJE ZBOG PREKIDA GRIJANJA		$\Phi_{RH,i} = A_i \cdot f_{RH}$						
A_i , m ²	f_{RH} , W/m ²	$\Phi_{RH,i}$, W						
9,61	6	57,66 W						
TOPLINSKO OPTEREĆENJE PROSTORIJE		$\Phi_{HL,i} = \Phi_{T,i} + \Phi_{V,i} + \Phi_{RH,i}$						
								273,211 W

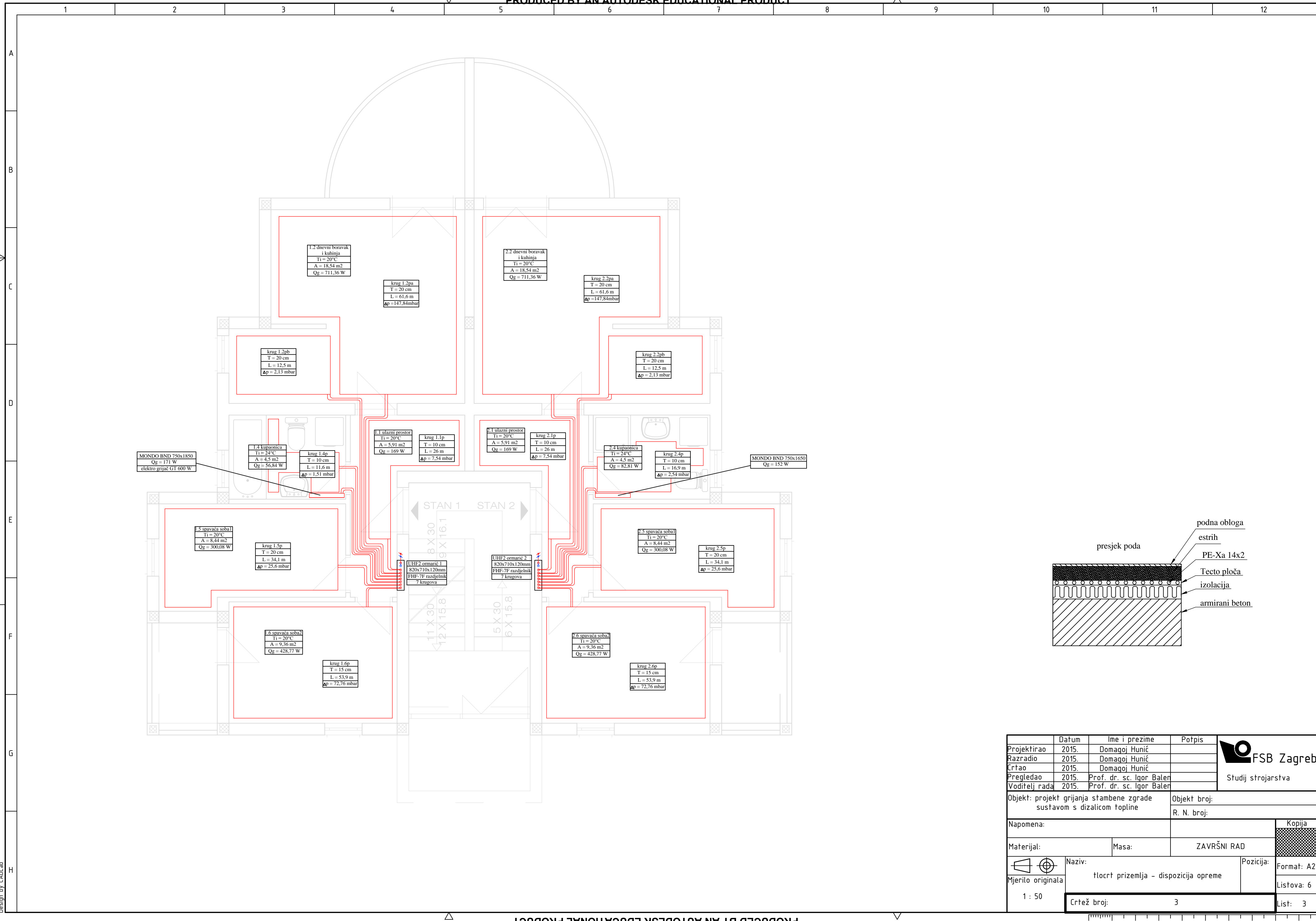
Kat 2/Stan 6													
Prostorija: spavaća soba 2					$\vartheta_{int,i} = 20 \text{ } ^\circ\text{C}$	$\vartheta_e = -4 \text{ } ^\circ\text{C}$							
Transmisijski gubici prema vanjskom okolišu													
Oznaka	građe. element	str. sv.	dužina	šir./vi.	A_k	U_k	e_k	$A_k \cdot U_k \cdot e_k$					
-	-	-	m	m	m^2	$\text{W}/\text{m}^2\text{K}$	-	W/K					
VZ	vanjski zid	JI	4,575	2,85	12,08	0,25	1	3,02					
VZ	vanjski zid	SI	2,525	2,85	5,43	0,25	1	1,3575					
PR	prozor	JI	0,8	1,2	0,96	0,9	1	0,864					
MBV	mala balk. vrata	SI	0,8	2,2	1,76	0,9	1	1,584					
-	-	-	-	-	-	-	-	-					
-	-	-	-	-	-	-	-	-					
Suma svih elemenata		$\sum A_k \cdot U_k \cdot e_k$					W/K	6,8255					
Oznaka	toplinski most prema vanj. okolišu			str. sv.	duž. l_k	Ψ_k	e_k	$l_k \cdot \Psi_k \cdot e_k$					
-	-			-	m	W/mK	-	W/K					
-	-			-	-	-	-	-					
-	-			-	-	-	-	-					
-	-			-	-	-	-	-					
-	-			-	-	-	-	-					
-	-			-	-	-	-	-					
-	-			-	-	-	-	-					
-	-			-	-	-	-	-					
Suma toplinskih mostova		$\sum l_k \cdot \Psi_k \cdot e_k$					W/K	0					
Ukupni koef. gubitaka prema vanj. okolišu		$H_{T,ie} = \sum A_k \cdot U_k \cdot e_k + \sum l_k \cdot \Psi_k \cdot e_k$					W/K	6,8255					
Transmisijski gubici kroz negrijane prostore prema vanjskom okolišu													
Oznaka	građe. element	str. sv.	dužina	šir./vi.	A_k	U_k	b_u	$A_k \cdot U_k \cdot b_u$					
-	-	-	m	m	m^2	$\text{W}/\text{m}^2\text{K}$	-	W/K					
ZS	zid prema stub.	JZ	2,375	2,85	6,768	0,35	0,4	0,94752					
MK	međukonstruk.	HOR.	9,36	1	9,36	0,25	0,7	1,638					
-	-	-	-	-	-	-	-	-					
-	-	-	-	-	-	-	-	-					
-	-	-	-	-	-	-	-	-					
-	-	-	-	-	-	-	-	-					
Suma svih elemenata		$\sum A_k \cdot U_k \cdot b_u$					W/K	2,58552					
Oznaka	toplinski most prema vanj. okolišu			str. sv.	duž. l_k	Ψ_k	b_u	$l_k \cdot \Psi_k \cdot b_u$					
-	-			-	m	W/mK	-	W/K					
-	-			-	-	-	-	-					
-	-			-	-	-	-	-					
-	-			-	-	-	-	-					
Suma toplinskih mostova		$\sum l_k \cdot \Psi_k \cdot b_u$					W/K	0					
Uk. koef. gub. kroz negrij. pro. prema v. ok.		$H_{T,iue} = \sum A_k \cdot U_k \cdot b_u + \sum l_k \cdot \Psi_k \cdot b_u$					W/K	2,58552					

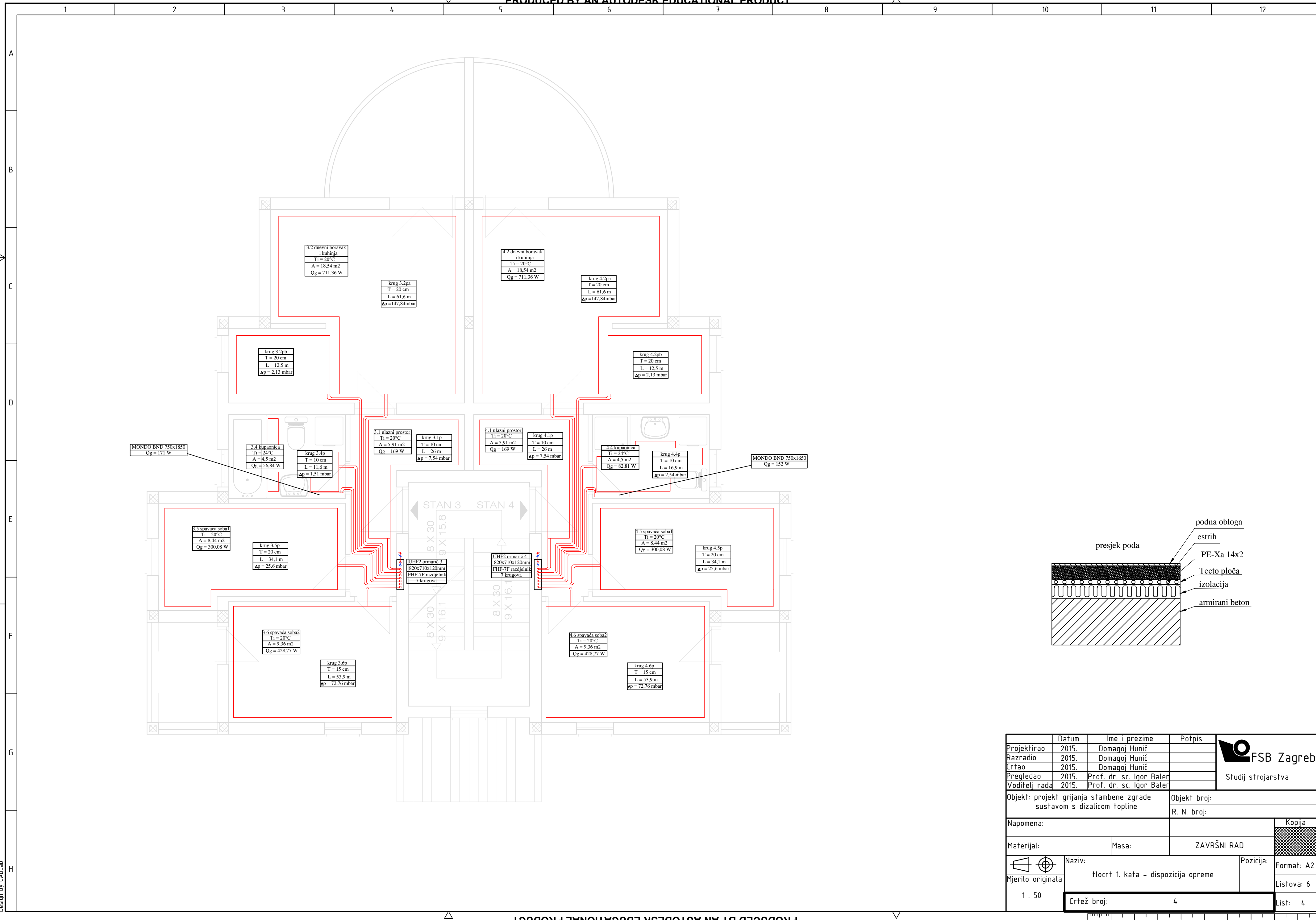
Transmisijski gubici kroz prostore grijane na različitu temperaturu							f_{ij}	$A_k \cdot U_k \cdot f_{ij}$
Oznaka	građe. element	str. sv.	dužina	šir./vi.	A_k	U_k		
-	-	-	m	m	m^2	W/m ² K	-	W/K
-	-	-	-	-	-	-	-	-
-	-	-	-	-	-	-	-	-
-	-	-	-	-	-	-	-	-
-	-	-	-	-	-	-	-	-
-	-	-	-	-	-	-	-	-
Ukupni koef. gubitaka kroz prostore grijane na različitu tem.							$H_{T,ij} = \sum A_k \cdot U_k \cdot f_{ij}$	0
UKUPNI TRANSMISIJSKI GUBICI TOPLINE							$\Phi_{T,i} = (H_{T,ie} + H_{T,iue} + H_{T,ij}) \cdot (\vartheta_{int,i} - \vartheta_e)$	W
								225,864 W
Ventilacijski toplinski gubici								
Bez ventilacijskog sustava								
Minimalni higijenski protok zraka					$V_{min,i} = V_{int} \cdot n_{min}$	m ³ /h		
V_{int} , m ³	n_{min} , h ⁻¹	$V_{min,i}$, m ³ /h						
24,99	0,5	12,495						
Maks. protok zraka u prostoriju uslijed infiltracije kroz zazore					$V_{inf,i} = 2 \cdot V_{int} \cdot n_{50} \cdot e_i \cdot \varepsilon_i$			
V_{int} , m ³	n_{50} , h ⁻¹	e_i	ε_i				$V_{inf,i}$, m ³ /h	
24,99	3	0,03	1				4,4982	
$V_i = \max(V_{inf,i}, V_{min,i})$								
V_i , m ³ /s	ρ_{zr} , kg/m ³	$c_{p,zr}$, J/kgK	$H_{V,i}$, W/K					
0,00347	1,2	1010	4,20564					
UKUPNI VENTILACIJSKI TOPLINSKI GUBICI					$\Phi_{v,i} = H_{V,i} \cdot (\vartheta_{int,i} - \vartheta_e)$	W		
								100,935 W
TOPLINA ZA ZAGRIJAVANJE ZBOG PREKIDA GRIJANJA					$\Phi_{RH,i} = A_i \cdot f_{RH}$	W		
A_i , m ²	f_{RH} , W/m ²	$\Phi_{RH,i}$, W						
10,74	6	64,44 W						
TOPLINSKO OPTEREĆENJE PROSTORIJE					$\Phi_{HL,i} = \Phi_{T,i} + \Phi_{V,i} + \Phi_{RH,i}$	W		
								391,24 W

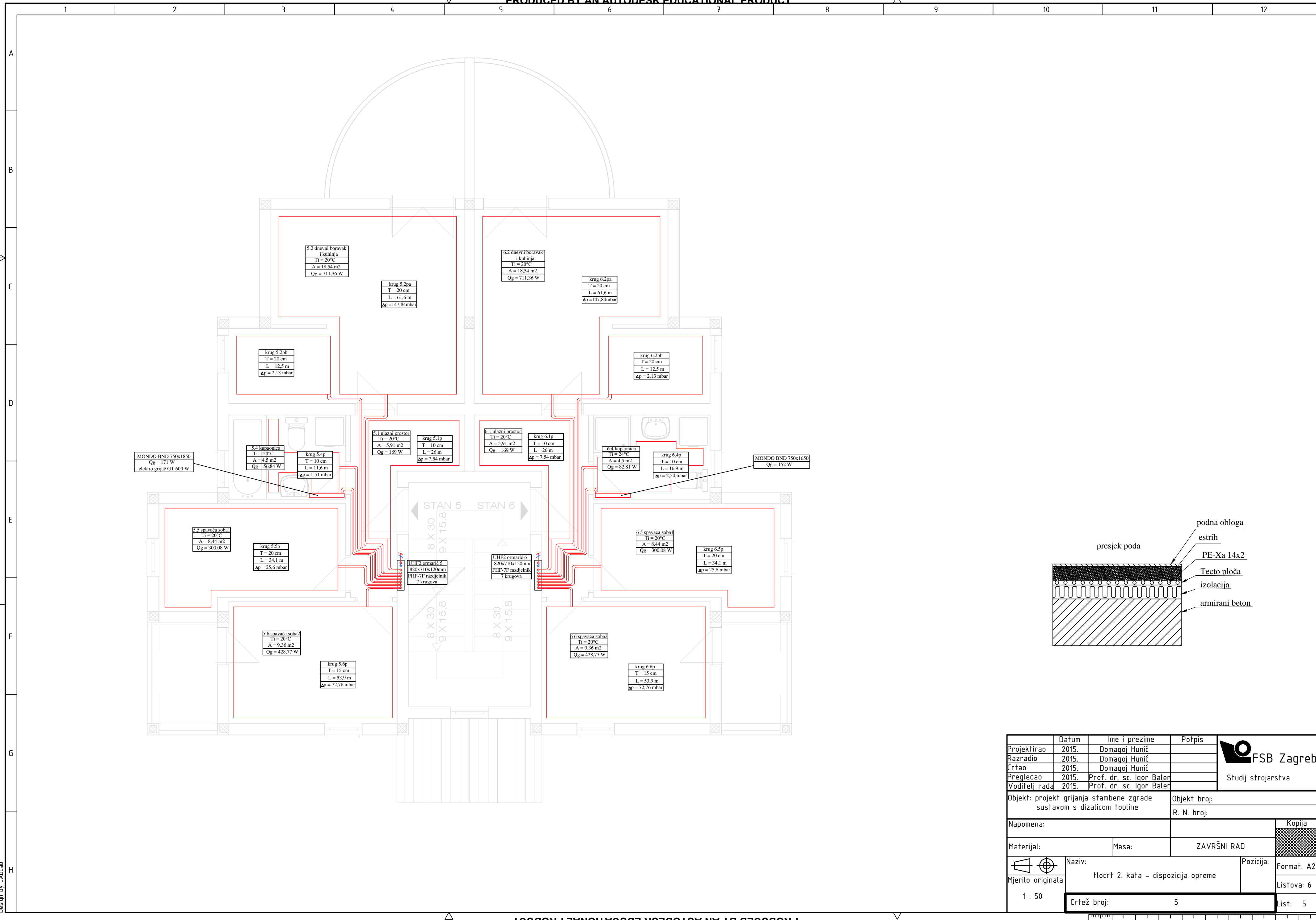
Prilog 2 - Crteži



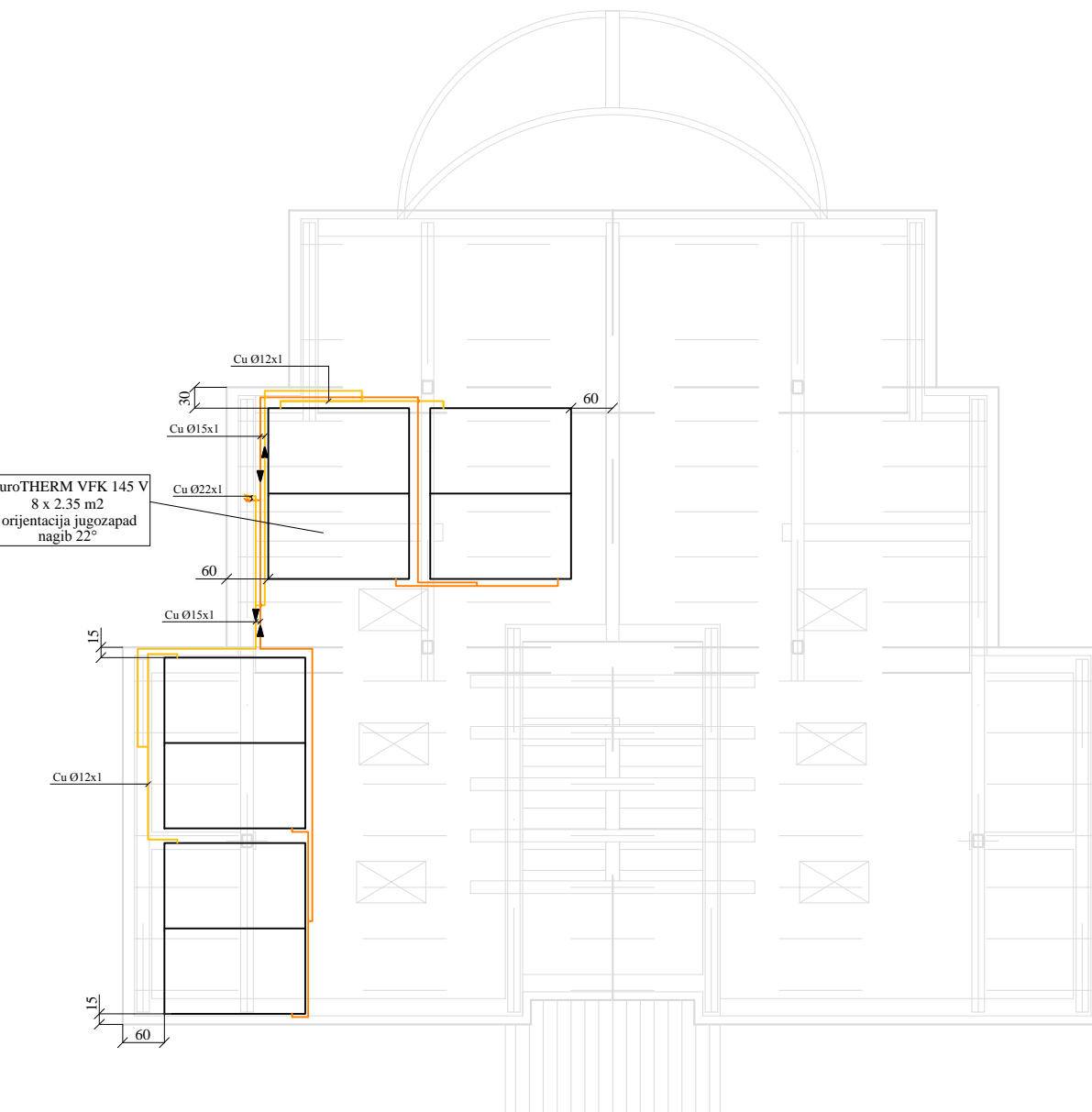








A																																
B																																
C																																
D																																
E	<table border="1" style="width: 100%; border-collapse: collapse; text-align: center;"> <thead> <tr> <th></th> <th>Datum</th> <th>Ime i prezime</th> <th>Potpis</th> </tr> </thead> <tbody> <tr> <td>Projektirao</td> <td>2015.</td> <td>Domagoj Hunić</td> <td></td> </tr> <tr> <td>Razradio</td> <td>2015.</td> <td>Domagoj Hunić</td> <td></td> </tr> <tr> <td>Črtao</td> <td>2015.</td> <td>Domagoj Hunić</td> <td></td> </tr> <tr> <td>Pregledao</td> <td>2015.</td> <td>Prof. dr. sc. Igor Balen</td> <td></td> </tr> <tr> <td>Voditelj rada</td> <td>2015.</td> <td>Prof. dr. sc. Igor Balen</td> <td></td> </tr> </tbody> </table> <p>Objekt: projekt grijanja stambene zgrade sustavom s dizalicom topline</p> <p>Napomena:</p> <p>Materijal: Masa: ZAVRŠNI RAD</p> <p>Mjerilo originala Naziv: tlocrt krovišta - dispozicija opreme Pozicija: Format: A3</p> <p>1 : 100 Crtež broj: 6 Listova: 6 List: 6</p>									Datum	Ime i prezime	Potpis	Projektirao	2015.	Domagoj Hunić		Razradio	2015.	Domagoj Hunić		Črtao	2015.	Domagoj Hunić		Pregledao	2015.	Prof. dr. sc. Igor Balen		Voditelj rada	2015.	Prof. dr. sc. Igor Balen	
	Datum	Ime i prezime	Potpis																													
Projektirao	2015.	Domagoj Hunić																														
Razradio	2015.	Domagoj Hunić																														
Črtao	2015.	Domagoj Hunić																														
Pregledao	2015.	Prof. dr. sc. Igor Balen																														
Voditelj rada	2015.	Prof. dr. sc. Igor Balen																														
F																																



LEGENDA:

- povrat - voda i propilen glikol
- polaz - voda i propilen glikol

 FSB Zagreb

Studij strojarstva